

(19)



Евразийское
патентное
ведомство

(21) 201500826 (13) A1

(12) ОПИСАНИЕ ИЗОБРЕТЕНИЯ К ЕВРАЗИЙСКОЙ ЗАЯВКЕ

(43) Дата публикации заявки
2015.12.30

(51) Int. Cl. A61K 38/50 (2006.01)

(22) Дата подачи заявки
2014.03.06

**(54) СОДЕРЖАЩАЯ АЛЬБУМИНСВЯЗЫВАЮЩУЮ АРГИНИНДЕЗИМИНАЗУ
ФАРМАЦЕВТИЧЕСКАЯ КОМПОЗИЦИЯ ДЛЯ ТАРГЕТНОЙ ТЕРАПИИ РАКА**

(31) 61/773,214; 14/197,236

(57) В заявке описана фармацевтическая композиция, содержащая гибридный белок альбуминсвязывающей аргининдециминазы (AAD), для лечения рака или других аргининзависимых болезней. Гибридный белок AAD, который может быть получен путем очистки растворимых и нерастворимых фракций общих белков, связывает сывороточный альбумин человека, обладает высокой активностью с более длительным периодом полуыведения и эффективно истощает аргинин в раковых клетках. Специфическая активность ADI дикого типа и AAD согласно настоящему изобретению составляет 8,4 и 9,2 единиц/мг (при физиологическом pH 7,4) соответственно. AAD, используемая в настоящем изобретении, может применяться для лечения рака различных типов (например, рака поджелудочной железы, лейкоза, рака головы и шеи, колоректального рака, рака легкого, молочной железы, печени, носоглотки, пищевода, предстательной железы, желудка и мозга) и аргинин зависимых болезней. Композиция может применяться отдельно или в сочетании по меньшей мере с одним химиотерапевтическим средством с целью обеспечения синергетического эффекта лечения рака и/или ингибирования метастазов.

(32) 2013.03.06; 2014.03.05

(33) US

(86) PCT/US2014/020943

(87) WO 2014/138319 2014.09.12

(88) 2014.12.24

(71) Заявитель:

ВИЖН ГЛОБАЛ ХОЛДИНГС ЛТД.
(CN)

(72) Изобретатель:

Вон Бин Lo (US), Вай Норман Фунг
Мань (CA), Гок Суй Цзи, Люн Юнь
Чжун (CN)

(74) Представитель:

Песиков Э.П. (RU)

201500826

A1

A1

201500826

СОДЕРЖАЩАЯ АЛЬБУМИН-СВЯЗЫВАЮЩУЮ АРГИНИНДЕЗИМИНАЗУ ФАРМАЦЕВТИЧЕСКАЯ КОМПОЗИЦИЯ ДЛЯ ТАРГЕТНОЙ ТЕРАПИИ РАКА

Перекрестная ссылка на родственную заявку

Приоритет настоящей заявки испрашивается на основании предварительной патентной заявки US 61/773214, поданной 6 марта 2013 г., и обыкновенной патентной заявки US 14/197236, поданной 5 марта 2014 г., содержание которых во всей полноте в порядке ссылки включено в настоящую заявку.

Область техники, к которой относится изобретение

Настоящее изобретение относится к гибридному белку альбумин-связывающей аргининдезиминазы (AAD), подвергнутому генетической модификации с целью создания вещества, обладающего высокой активностью и длительным периодом полуыведения *in vivo*. Настоящее изобретение дополнительно относится к конструкциям ДНК и белковой инженерии с целью создания различных гибридных белков AAD. Гибридные белки AAD могут быть выделены в очищенном виде из растворимой фракции и нерастворимой фракции (вирусных включений) общих белков. Настоящее изобретение дополнительно относится к содержащим альбумин-связывающую аргининдезиминазу фармацевтическим композициям для таргетной терапии рака и лечения аргинин-зависимых болезней у людей и других животных.

Предпосылки создания изобретения

В мире происходит рост заболеваемости раком поджелудочной железы, толстой кишки, печени, меланомой и цервикальным раком. Срочно необходимо эффективное лечение этих болезней. В случае рака многих типов, включая лейкоз, меланому, рак поджелудочной железы, толстой кишки, почки, легкого, простатальной железы, молочной железы, мозга, цервикальный рак и рак печени, раковые клетки являются ауксотрофными к аргинину, поскольку они не синтезируют аргининосукиннатсинтетазу (ASS), что делает рак этих типов отличными мишениями для терапии методом истощения аргинина.

Аргинин является частично заменимой аминокислотой в организме человека и других млекопитающих. Он может быть синтезирован из цитруллина посредством двухстадийного процесса, катализатором которого являются ферменты орнитинового цикла

аргининосукцинатсингтаза (ASS) и аргининосукцинатлиаза (ASL). В процессе обмена веществ аргиназа может превращать аргинин в орнитин, а в митохондрии орнитинкарбамоилтрансфераза (OTC) может превращать орнитин в цитруллин. Цитруллин может использоваться снова для синтеза аргинина. Нормальным клеткам для роста обычно не требуется экзогенный источник аргинина в силу избыточной каталитической активности ASS и ASL. В отличие от этого, раковые клетки многих типов не синтезируют ASS и, соответственно, являются ауксотрофными к аргинину. Их рост зависит исключительно от аргинина, получаемого из системы кровообращения. Соответственно, использование циркулирующего аргинина в качестве мишени для разрушающих его ферментов является одной из возможных стратегий ингибирования роста ASS-негативных опухолей [Feun и др., Curr. Pharm. Des. 14:1049-1057 (2008); Куо и др., Oncotarget. 1:246-251 (2010)].

Аргинин может разрушать аргиназа, аргининдекарбоксилаза и аргининдезиминаза (ADI). Из них числа, наивысшим средством к аргинину (низким показателем K_m), вероятно, обладает аргининдезиминаза (ADI). ADI преобразует аргинин в цитруллин и аммиак, которые являются метаболитами орнитинового цикла. К сожалению, ADI содержится только в прокариотах, например, *Mycoplasma sp.* Существует ряд сложностей, связанных с выделением ADI в очищенном виде из прокариот. ADI, выделенная из *Pseudomonas pudita*, не обладает эффективностью *in vivo* в силу своей низкой ферментативной активности при нейтральном pH. ADI, выделенная из *Escherichia coli*, не обладает ферментативной активностью и впоследствии должна подвергаться многократной денатурации и ренатурации, что повышает последующую стоимость производства.

Поскольку нативная ADI содержится в микроорганизмах, она является антигенной и быстро выводится из кровообращения пациента. ADI в нативной форме является иммуногенной после введения в кровообращение человека, имеет малый период полувыведения (~4 часа) и активирует нейтрализующие антитела [Ensor и др., Cancer Res. 62:5443-5450 (2002); Izzo и др., J. Clin. Oncol. 22:1815-1822 (2004)]. Эти недостатки могут быть преодолены путем пэгилирования. Было обнаружено, что из различных форм пэгилированной ADI эффективной является ADI, связанная с ПЭГ (с молекулярной массой 20000) посредством сукцинимидисукцинатата (ADI-ПЭГ 20). Тем не менее, активность ADI после пэгилирования значительно снижается приблизительно на 50% [Ensor и др., Cancer

Res. 62:5443-5450 (2002)]. В результате предыдущих попыток создания пэгилированной ADI получали материалы, которые не являются гомогенными (из-за случайного присоединения ПЭГ к лизиновым остаткам на поверхности белка), и которые сложно характеризовать и контролировать их качество в ходе производственного процесса. Кроме того, ПЭГ является очень дорогостоящим, что значительно повышает стоимость изготовления. После внутривенного введения пэгилированной ADI *in vivo* наблюдается просачивание или отделение свободного ПЭГ, а ADI (без ПЭГ) может вызывать проблемы иммуногенности. Соответственно, существует потребность в усовершенствованных композициях для лечения рака, в частности, усовершенствованных композициях для лечения рака, которые обладают повышенной активностью и увеличенным периодом полувыведения *in vivo*.

Краткое изложение сущности изобретения

В настоящем изобретении предложен гибридный белок альбумин-связывающей аргининдезиминазы (AAD) с повышенной активностью и увеличенным периодом полувыведения из плазмы, который эффективно истощает аргинин в раковых клетках. Нативная ADI содержится в микроорганизмах, является антигенной и быстро выводится из кровообращения пациента. В настоящем изобретении предложены конструкции различных гибридных белков AAD из одного или двух альбумин-связывающих белков с целью обеспечения высокой активности и более длительного периода полувыведения *in vivo* (истощение аргинина в течение по меньшей мере 5 суток после одной инъекции). Альбумин-связывающий белок в гибридном белке AAD согласно настоящему изобретению не оказывает влияния на его специфическую ферментативную активность и продлевает период его полувыведения из кровообращения. Специфическая активность гибридного белка ADI и AAD дикого типа согласно настоящему изобретению составляет 8,4 и 9,2 единиц/мг (при физиологическом pH 7,4), соответственно.

В настоящем изобретении в целом предложен гибридный белок альбумин-связывающей аргининдезиминазы, имеющий первый участок, который содержит один или два компонента, выбранных из альбумин-связывающей области, альбумин-связывающего пептида или альбумин-связывающего белка(-ов), и гибридизирован со вторым участком, содержащим аргининдезиминазу, в результате чего образуется гибридный белок альбумин-

связывающей аргининдезиминазы, который сохраняет активность аргининдезиминазы, а также способен связывать сывороточный альбумин.

В настоящем изобретении дополнительно предложена содержащая гибридный белок альбумин-связывающей аргининдезиминазы (AAD) фармацевтическая композиция для таргетной терапии рака у людей и других животных. Согласно первой особенности настоящего изобретения предложена конструкция модифицированного гибридного белка AAD с высокой активностью в отношении раковых клеток. Согласно второй особенности настоящего изобретения предложено получение очищенного гибридного белка AAD с высокой степенью чистоты как из растворимой, так и нерастворимой фракций общих белков. Согласно третьей особенности настоящего изобретения продлен период полувыведения гибридного белка AAD, поскольку он способен эффективно связывать альбумин в системе кровообращения. Согласно четвертой особенности настоящего изобретения предложен способ применения содержащей AAD фармацевтической композиции согласно настоящему изобретению для лечения рака путем ее введения нуждающемуся в этом объекту, страдающему различными опухолями, раком различных типов или болезнями, сопутствующими опухолям или раку, или другими аргинин-зависимыми болезнями.

Гибридный белок AAD согласно настоящему изобретению также модифицирован во избежание диссоциации на альбумин-связывающий белок и ADI, в результате чего он становится более устойчивым и имеет более длительный период полувыведения из кровообращения. ADI гибридизирована с альбумин-связывающей областью/пептидом/белком в гибридном продукте на основе AAD с целью продления периода полувыведения из плазмы и снижения иммуногенности гибридного продукта. Альбумин-связывающей областью (ABD) является пептид, который связывает альбумин в крови. Существуют различные варианты ABD с различным или улучшенным сродством к сывороточному альбумину человека (HSA). Могут быть сконструированы различные варианты ABD, которые могут быть гибридизированы с ADI. В отличие от встречающейся в природе ADI, этот более длительный период полувыведения эффективно способствует истощению аргинина в раковых клетках, раковых стволовых клетках и/или клетках-предшественниках рака.

Фармацевтическая композиция, содержащая гибридный белок AAD, может применяться для внутривенной (в.м.) инъекции (быстroredействующей дозы лекарства) и внутримышечной (в.м.) инъекции (достаточно быстро и длительно действующей дозы лекарства). Гибридный белок AAD согласно настоящему изобретению может применяться для лечения рака различных типов, такого как рак поджелудочной железы, лейкоз, рак головы и шеи, колоректальный рак, рак легкого, молочной железы, предстательной железы, цервикальный рак, рак печени, носоглотки, пищевода и мозга. В настоящем изобретении предложены гибридные белки AAD, способы лечения рака, способы лечения и/или ингибирования метастазов раковой ткани и способы лечения аргинин-зависимых болезней.

Способ согласно настоящему изобретению также включает применение различных химиотерапевтических средств и/или радиотерапии в сочетании с гибридным белком AAD согласно настоящему изобретению с целью обеспечения синергетического эффекта лечения рака.

Краткое описание чертежей

На фиг. 1 показано проектирование различных гибридных белков AAD с одной или двумя альбумин-связывающими областями/пептидами/белками в виде трехмерной конструкции. Одна и/или две альбумин-связывающих области/пептида/белка могут быть гибридизированы с ADI с целью формирования гибридного белка AAD. Альбумин-связывающая область/пептид/белок находится в положении вдали от активного участка ADI. Альбумин-связывающая область/пептид/белок может быть гибридизирована с N-концом и/или С-концом ADI. Показанная структура основана на структуре ADI *Mycoplasma arginini* (банк данных белков: 1LXY), в которой (A) означает нативную ADI; (B) означает гибридный белок AAD с двумя ABD или ABD1; (C) означает гибридный белок AAD с одним ABD или ABD1 на N-конце; (D) означает гибридный белок AAD с одним ABD или ABD1 на С-конце.

На фиг. 2 показана расстановка последовательностей ADI в некоторых видах бактерий, включая *Mycoplasma arginini* (SEQ ID No. 23), *Lactococcus lactis* (SEQ ID No. 24), *Bacillus cereus* (SEQ ID No. 25) и *Bacillus licheniformis* (SEQ ID No. 26).

На фиг. 3 показаны конструкции и аминокислотные последовательности различных гибридных белков AAD, полученных из *Mycoplasma arginini* (A-E) и гибридного белка AAD, полученного из *Bacillus cereus* (F).

На фиг. 4 показано создание гибридного белка AAD согласно двум вариантам осуществления (A) и (B) путем использования интейновых гибридных белков и лигирования синтезированных белков (CBD, связывающей хитин области) согласно следующим схемам; (C) С-концевой гибрид; (D) N-концевой гибрид; (E) опосредованное интейном лигирование белков.

На фиг. 5 показана карта плазмид вектора экспрессии, сконструированного с целью получения гибридного белка AAD.

На фиг. 6 показана (A) генетическая карта, (B) нуклеотидная последовательность (SEQ ID No. 44) и (C) аминокислотная последовательность (SEQ ID No. 40) His-ABD-PolyN-ADI. (ADI: *Mycoplasma arginini* ADI)

На фиг. 7 показана (A) генетическая карта, (B) нуклеотидная последовательность (SEQ ID No. 45) и (C) аминокислотная последовательность (SEQ ID No. 41) His-ABD-PolyN-bcADI. (bcADI, *Bacillus cereus* ADI)

На фиг. 8 показан синтез и очистка гибридного белка AAD: (A) AAD растворима на ~90% в случае синтеза при 20°C (дорожки 2 и 3) и нерастворима на ~90% (вирусные включения) в случае синтеза при 37°C (дорожки 4 и 5); (B) очищенный гибридный белок AAD в полиакриламидном геле для электрофореза в присутствии додецилсульфата натрия (SDS-PAGE): дорожка 1, очищенный гибридный белок AAD (52,8 кДа); дорожка 2, маркер молекулярной массы.

На фиг. 9 показано, что гибридный белок AAD эффективно истощает аргинин и ингибирует рост линий клеток рака различных типов у человека при исследовании *in vitro* культуры тканей, включая меланому человека (A375), карциному толстой кишки человека (HCT116) и рак поджелудочной железы человека (PancI).

На фиг. 10 показаны результаты связывания альбумина гибридным белком AAD: (A) – не денатурирующий нативный полиакриламидный гель (12%), иллюстрирующий увеличение количества комплекса HSA+AAD при увеличении количества добавленного гибридного белка AAD (аминокислотная последовательность SEQ ID NO: 36; фиг. 3А).

Молярные соотношение сывороточного альбумина (HSA) и AAD на дорожках 3-6 составляют 1:1, 1:2, 1:5 и 1:15, соответственно. Дорожки 1 и 2 означают HSA и AAD в концентрации 6 и 30 пикомоль, соответственно; (B) – в другом эксперименте с использованием гибридного белка AAD (SEQ ID NO: 40; фиг. 3Е) соотношения альбумина и AAD, составляющего 1:8, достаточно для связывания всего присутствующего альбумина (дорожка 5).

На фиг. 11 показан график, иллюстрирующий содержание аргинина в плазме у мышей в зависимости от дозы гибридного белка AAD. 100 мкг AAD достаточно для истощения аргинина в плазме в течение по меньшей мере 5 суток.

Определения

Термином "раковая стволовая клетка" обозначается биологически различимая клетка в опухолевом клоне, которая способна инициировать и поддерживать рост опухоли *in vivo* (т.е. инициирующая рак клетка).

Подробное описание изобретения

Аргинин является частично заменимой аминокислотой в организме человека и других млекопитающих. Он может быть синтезирован из цитруллина посредством двухстадийного процесса, катализатором которого являются ферменты орнитинового цикла аргининосукиннатсинтаза (ASS) и аргининосукиннатлиаза (ASL). В процессе обмена веществ аргиназа может превращать аргинин в орнитин, а в митохондрии орнитинкарбамоилтрансфераза (OTC) может превращать орнитин в цитруллин (OTC). Цитруллин может использоваться снова для синтеза аргинина. Нормальным клеткам для роста обычно не требуется экзогенный источник аргинина в силу избыточной каталитической активности ASS и ASL. В отличие от этого, раковые клетки многих типов не синтезируют ASS и, соответственно, являются ауксотрофными к аргинину. Их рост зависит исключительно от аргинина, получаемого из системы кровообращения. Соответственно, использование циркулирующего аргинина в качестве мишени для разрушающих его ферментов является одной из возможных стратегий ингибирования роста ASS-негативных опухолей

Аргинин может разрушать аргининдезиминаза (ADI). ADI преобразует аргинин в цитруллин и аммиак, которые являются метаболитами орнитинового цикла. К сожалению,

ADI содержится только в прокариотах, например, *Mycoplasma sp.* Существует ряд сложностей, связанных с выделением ADI в очищенном виде из прокариот. ADI, выделенная из *Pseudomonas pudita*, не обладает эффективностью *in vivo* в силу своей низкой ферментативной активности при нейтральном рН. ADI, выделенная из *Escherichia coli*, не обладает ферментативной активностью и впоследствии должна подвергаться многократной денатурации и ренатурации, что повышает последующую стоимость производства. ADI в нативной форме имеет малый период полувыведения из плазмы (~4 часа) после введения в кровообращение человека [Ensor и др., Cancer Res. 62:5443-5450 (2002); Izzo и др., J. Clin. Oncol. 22:1815-1822 (2004)]. Эти недостатки могут быть частично преодолены путем пэгилирования. Было обнаружено, что из различных форм пэгилированной ADI эффективной является ADI, связанная с ПЭГ (с молекулярной массой 20000) посредством сукцинимидисукцината (ADI-ПЭГ 20). Тем не менее, активность ADI после пэгилирования значительно снижается (на ~50% [Ensor и др., Cancer Res. 62:5443-5450 (2002)]; Wang и др., Bioconjug. Chem. 17:1447-1459 (2006)]. Кроме того, линкер сукцинимидисукцината и ПЭГ является легко гидролизуемым и может отсоединяться от белка, создавая проблемы иммуногенности через короткое время нахождения в организме. Соответственно, существует потребность в усовершенствованных композициях для лечения рака, в частности, усовершенствованных композициях для лечения рака, которые обладают повышенной активностью.

ADI, выделенная из *Pseudomonas pudita*, не обладает эффективностью *in vivo* в силу своей низкой ферментативной активности при нейтральном рН и быстрого выведения из кровообращения подопытных животных. ADI, выделенная из *Mycoplasma arginini*, описана, например, у Takaku и др., Int. J. Cancer, 51:244-249 (1992) и в патенте US 5474928. Тем не менее, одной из проблем, связанных с применением такого чужеродного белка в целях терапии, является его антигенность. У Takaku и др., Jpn. J. Cancer Res., 84:1195-1200 (1993) описана химическая модификация выделенной из *Mycoplasma arginini* ADI полиэтиленгликолем (ПЭГ) посредством цианурхлоридной линкерной группы. Тем не менее, в результате высвобождения цианида из цианурхлоридной линкерной группы модифицированный белок становился токсичным в процессе метаболизма. В отличие от этого, даже в случае ADI-PEG20, ПЭГ линкер является легко гидролизуемым и может

отсоединяться от белка, создавая проблемы иммуногенности через короткое время нахождения в организме. Соответственно, существует потребность в композициях, которые разрушают заменимые аминокислоты и в которых преодолены недостатки известного уровня техники.

Клетки рака многих типов, включая меланому, рак поджелудочной железы, толстой кишки, лейкоз, рак молочной железы, предстательной железы, почки и печени, являются аукситрофными к аргинину, поскольку они не синтезируют аргининосукиннатсинтетазу (ASS), что делает их отличными мишениями для терапии методом истощения аргинина. В настоящем изобретении предложены гибридные белки альбумин-связывающей аргининдезиминазы (AAD) с высокой активностью и длительным периодом полувыведения для эффективного истощения аргинина в раковых клетках.

Масса мономерной ADI составляет порядка 45 кДа, при этом она существует в форме димера (массой порядка 90 кДа) [Das и др., Structure. 12:657-667 (2004)]. На фиг. 1 показано проектирование гибридного белка AAD. Одна или две альбумин-связывающих области/пептида/белка с линкером(-ами) или без линкера(-ов) (SEQ ID NO: 46-49) гибридизированы с ADI и образуют гибридный белок AAD. Следует отметить, что выбор одной или двух конкретных альбумин-связывающих областей/пептидов/белков может зависеть от типа раковой ткани-мишени, желаемого размера и периода полувыведения получаемого гибридного белка и от того, выбрана ли определенная область или весь белок. Кроме того, выбранное альбумин-связывающее вещество может являться одинаковым или различаться. Иными словами, могут быть гибридизированы белок и пептид, два белка, две области, область и белок и т.д. при условии, что получаемая молекула сохраняет активность ADI и также способна связывать сывороточный альбумин, при этом ни одной из функций одной части гибридного белка не препятствует другая часть гибридного белка. Альбумин-связывающая область/пептид/белок находится в положении вдали от активного участка. Альбумин-связывающая область/пептид/белок может быть гибридизирована с N-концом и/или C-концом ADI. Существуют различные варианты ABD с различным или улучшенным сродством к сывороточному альбумину человека (HSA). Могут быть сконструированы различные варианты ABD, которые могут быть гибридизированы с ADI. Некоторые микроорганизмы, содержащие ADI (например, *Pseudomonas* sp), не могут использоваться

из-за их потенциальной патогенности и пирогенности. Источником ADI могут являться без ограничения различные микроорганизмы, например, *Mycoplasma* (например, *Mycoplasma arginini*, *Mycoplasma arthritidis*, *Mycoplasma hominis*), *Lactococcus* (например, *Lactococcus lactis*), *Pseudomonas* (например, *Pseudomonas plecoglossicida*, *Pseudomonas putida*, *Pseudomonas aeruginosa*), *Streptococcus* (например, *Streptococcus pyogenes*, *Streptococcus pneumoniae*, *Streptococcus pneumoniae*), *Escherichia*, *Mycobacterium* (например, *Mycobacterium tuberculosis*) и *Bacillus* (например, *Bacillus licheniformis*, *Bacillus cereus*). ADI предпочтительно клонируют из *Mycoplasma arginini*, *Lactococcus lactis*, *Bacillus licheniformis*, *Bacillus cereus* или любого их сочетания. Их аминокислотные последовательности (SEQ ID NO: 23-35) и расстановка некоторых из аминокислотных последовательностей, показанная на фиг. 2, описана в настоящем изобретении, а также известна из литературы [Das и др., Structure. 12:657-667 (2004); Wang и др., Bioconjug. Chem. 17:1447-1459 (2006); Ni и др., Appl. Microbiol. Biotechnol. 90:193-201 (2011)].

На фиг. 3 показано конструирование и аминокислотная последовательность (A) нативного белка ADI *Mycoplasma arginini* (SEQ ID NO: 23), (B) различных гибридных белков AAD, выделенных из ADI *Mycoplasma arginini* (SEQ ID NO: 36-40) и (C) гибридного белка AAD, выделенного из ADI *Bacillus cereus* (SEQ ID NO: 41). Успешно сконструированы различные гибридные белки AAD. В этих вариантах осуществления между альбумин-связывающим белком и ADI в гибридном белке AAD помещен линкер.

С другой стороны, также создан новый гибридный белок AAD путем использования интейновых гибридных белков и лигирования синтезированных белков (фиг. 4). Новый гибридный белок AAD может быть сформирован (1) путем введения в реакцию ADI, имеющей N-концевой цистеиновый остаток, с химически активным сложным тиоэфиром на С-конце ABD или (2) путем введения в реакцию ABD, имеющей N-концевой цистеиновый остаток, с химически активным сложным тиоэфиром на С-конце ADI, в результате чего ADI и ABD связываются ковалентной связью. На фиг. 4Д показано, что ADI, имеющая N-концевой цистеиновый остаток, вступает в реакцию с химически активным сложным тиоэфиром на С-конце ABD. Сложный тиоэфир на С-конце ABD и α-цистеин на N-конце ADI необходимы для облегчения лигирования белков. Эти фрагменты получают с использованием вектора pTWIN1 (New England Biolabs) согласно инструкции изготовителя.

В частности, синтезируют ген, кодирующий гибридный белок ABD-интеин-CBD, и клонируют в вектор под контролем промотора T7 с целью экспрессии в *E. coli* (фиг. 4В). Полученный гибридный белок ABD-интеин-CBD связывает хитин в колонке. На фиг. 4А показана аминокислотная последовательность ABD-интеин-CBD (SEQ ID NO: 42). После индуцируемого тиолом расщепления и элюирования из колонки получают ABD с химически активным сложным тиоэфиром на ее С-конце (фиг. 4В). С другой стороны, синтезируют ген, кодирующий гибридный белок CBD-интеин-ADI и клонируют в вектор под контролем промотора T7 с целью экспрессии в *E. coli* (фиг. 4Г). Полученный гибридный белок CBD-интеин-ADI связывает хитин в колонке. На фиг. 4В показана аминокислотная последовательность CBD-интеин-ADI (SEQ ID NO: 43). После расщепления при pH 7 и 25°C и элюирования из колонки получают ADI с α-цистеином на ее N-конце (фиг. 4Г). Наконец, путем реакции лигирования белков получают гибридный белок AAD, как показано на фиг. 4Д.

Важно, что гибридные белки AAD могут быть получены и очищены традиционным способом. Например, как показано на фиг. 8, гибридный белок AAD успешно синтезируют из *E. coli* и выделяют в очищенном виде в форме как растворимой фракции, так нерастворимой фракции. Кроме того, на фиг. 8 показан очищенный гибридный белок AAD, подвергнутый анализу путем электрофореза в полиакриламидном геле в присутствии додецилсульфата натрия (SDS-PAGE). Масса очищенного гибридного белка AAD составляет 52,8 кДа.

Фармацевтическая композиция согласно настоящему изобретению содержит гибридный белок AAD с высокой активностью для истощения аргинина в опухолевых клетках с целью лечения рака. Было обнаружено, что специфическая активность очищенного гибридного белка AAD аналогичная специфической активности ADI дикого типа. IC₅₀ является полумаксимальной ингибирующей концентрацией, то есть отображает концентрацию гибридного белка AAD, которая требуется для 50% ингибирования линии раковых клеток. IC₅₀ является показателем эффективности лекарства. В Таблице 1 приведена IC₅₀ гибридного белка AAD (аминокислотная последовательность SEQ ID NO: 40, фиг. 3Д) для различных линий раковых клеток (меланомы человека, A375 & SK-mel-28; карциномы толстой кишки человека, HCT116; рака поджелудочной железы человека, PancI;

рака печени человека, Sk-hep1; цервикального рака человека, C-33A). На фиг. 9 представлена эффективность *in vitro* гибридного белка AAD в отношении различных линий раковых клеток. Показано, что гибридный белок AAD способен уничтожать линии клеток рака множества типов, включая меланому человека, карциному толстой кишки человека и рак поджелудочной железы.

Таблица 1

Линия раковых клеток	IC ₅₀ AAD (мкг/мл)
A375 (меланома человека)	0,104
SK-mel-28 (меланома человека)	1,92
PancI (рак поджелудочной железы человека)	1
Sk-hep1 (рак печени человека)	10
C-33A (цервикальный рак человека)	0,063
HCT116 (карцинома толстой кишки человека)	1,30

Что касается связывания альбумина, авторами успешно продемонстрировано, что сконструированный гибридный белок AAD способен связывать сывороточный альбумин человека (HSA). На фиг. 10 показано, что гибридный белок AAD (аминокислотная последовательность SEQ ID NO: 40, фиг. 3Д) легко связывает HSA. При молярном соотношении 1:5 или 1:15 образуется комплекс HSA-AAD согласно конструкции, показанной на фиг. 1, с использованием линкерной молекулы. Предполагается, что период полувыведения циркулирующего гибридного белка AAD из кровообращения увеличивается за счет образования нековалентного комплекса HSA-AAD. Соответственно, успешно создана длительно действующая версия гибридного белка AAD.

Ни один из предлагаемых на рынке продуктов не обладает такой же высокой эффективностью, как содержащая гибридный белок AAD фармацевтическая композиция согласно настоящему изобретению. В случае применения при лечении рака содержащая гибридный белок AAD фармацевтическая композиция согласно настоящему изобретению служит противораковым средством для истощения аргинина в опухолевых тканях.

Гибридный белок AAD является соответствующим кандидатом для применения в сочетании с другими молекулярными или цитотоксическими средствами нацеленного действия.

Примеры

Следующие далее примеры приведены в качестве описания конкретных вариантов осуществления настоящего изобретения и не имеют целью ограничить каким-либо образом его объем.

Несколько из приведенных далее примеров относятся к способу получения гибридных белков альбумин-связывающей аргининдезиминазы. Могут применяться различные методы, включая клонирование и опосредованное интегрирование лигирование белков. Термин "клонирование" используется в широком смысле и обозначает конструирование гибридного гена, кодирующего гибридный белок альбумин-связывающей аргининдезиминазы, вставку гибридного гена в вектор, вставку вектора в организм-хозяин и синтез белка, который содержит гибридный белок альбумин-связывающей аргининдезиминазы. Могут применяться многочисленные варианты этого метода, при этом подпадающие под определение клонирования, предусмотренное в настоящем изобретении.

Пример 1

Конструирование гена, кодирующего альбумин-связывающую область/пептид/белок (ABD)

Конструирование гена, кодирующего ABD, происходит посредством двух раундов ПЦР. В первом раунде реакционная смесь ПЦР (общий объем 25 мкл) содержала следующие вещества:

1 x буфер ПЦР iProof (Bio-Rad)

50 мкМ смеси dNTP

0,5 единицы ДНК-полимеразы iProof (Bio-Rad)

10 нМ каждого из следующих олигонуклеотидов:

прямой праймер ABD-F1 (SEQ ID NO: 01):

5'-CATGATGCGAATTCCCTTAGCTGAAGCTAAAGTCTAGCTAACAGAGAACT-3'

обратный праймер ABD-R2 (SEQ ID NO: 02):

5'-TAGTCACTTACTCCATATTTGTCAAGTTCTCTGTTAGCTAAGACTTTAGC-3'

прямой праймер ABD-F3 (SEQ ID NO: 03):

5'-GAACTTGACAAATATGGAGTAAGTGACTIONATTACAAGAACCTAATCAACAA-3'

обратный праймер ABD-R4 (SEQ ID NO: 04):

5'-TACACCTTCAACAGTTGGCATTGTTGATTAGGTTCTTGTAAATAGTCAC-3'

прямой праймер ABD-F5 (SEQ ID NO: 05):

5'-GCCAAAACGTGAAAGGTGTAAAAGCACTGATAGATGAAATTAGCTGC-3'

обратный праймер ABD-R6 (SEQ ID NO: 06):

5'-AGCTACGATAAGCTTAAGGTAATGCAGCTAAAATTCTATCAGTG-3'

Использовали следующую программу ПЦР:

98°C 30 с; 20 циклов {98°C 10 с, 50°C 20 с, 72°C 20 с}

Во втором раунде ПЦР смесь (общий объем 50 мкл) содержала следующие вещества:

1 x буфер ПЦР iProof (Bio-Rad);

50 мкМ смеси dNTP;

1 мкл реагента ПЦР в качестве матричной ДНК из первого раунда;

1 единица ДНК-полимеразы iProof (Bio-Rad);

200 нМ каждого из следующих олигонуклеотидов:

прямой праймер ABD-F7 (SEQ ID NO: 07):

5'-CATGATGCGAATTCCCTAGCTGAAGCTAAAGTCTTAGCTAACAGAGAACT-3'

обратный праймер ABD-R8 (SEQ ID NO: 08):

5'-AGCTACGATAAGCTTAAGGTAATGCAGCTAAAATTCTATCAGTG-3'

Использовали следующую программу ПЦР:

98°C 30 с; 35 циклов {98°C 10 с, 60°C 20 с, 72°C 20 с}; 72°C 5 мин

Получили продукт ПЦР, содержащий последовательность ДНК ABD (из 169 пар оснований), и очистили его с помощью набора реагентов Qiagen для выделения ДНК из гелей в целях клонирования.

Пример 2А

Конструирование гибридного гена, кодирующего гибридный белок AAD

В первой ПЦР смесь (общий объем 50 мкл) содержала следующие вещества:

1 x буфер ПЦР iProof (Bio-Rad);

50 мкМ смеси dNTP;

25 нг геномной ДНК *Mycoplasma arginini*;

1 единица ДНК-полимеразы iProof (Bio-Rad);

200 нМ каждого из следующих олигонуклеотидов:

ADINde-F прямой праймер (SEQ ID NO: 09):

5'-ATCGATCGATGTCTGTATTTGACAGTAAATTAAAGG-3'

ADIhis-R обратный праймер (SEQ ID NO: 10):

5'-AGCTAAGGAATT CGCATCATGATGGTGATGGTGGCTACCCCACTTAAC-3'

Использовали следующую программу ПЦР:

98°C 1 мин; 35 циклов {98°C 10 с, 50°C 20 с, 72°C 40 с}; 72°C 5 мин

Получили продукт ПЦР размером 1280 пар оснований, и очистили его с помощью набора реагентов Qiagen для выделения ДНК из гелей. После этого осуществили вторую ПЦР. Смесь для ПЦР (общий объем 50 мкл) содержала следующие вещества:

1 x буфер ПЦР iProof (Bio-Rad);

50 мкМ смеси dNTP;

10 нг продукта ПЦР размером 1280 пар оснований;

10 нг продукта ПЦР размером 169 пар оснований;

1 единица ДНК-полимеразы iProof (Bio-Rad);

200 нМ каждого из следующих олигонуклеотидов:

прямой праймер ADINde-F (SEQ ID NO: 11):

5'-ATCGATCGATGTCTGTATTTGACAGTAAATTAAAGG-3'

обратный праймер ABD-R10 (SEQ ID NO: 12):

5'-AGCTACGATAAGCTTAAGGTAATGCAGCTAААATTCTATCAGTG-3'

Использовали следующую программу ПЦР:

98°C 1 мин; 35 циклов {98°C 10 с, 50°C 20 с, 72°C 45 с}; 72°C 5 мин

Получили продукт ПЦР размером 1428 пар оснований, и очистили его с помощью набора реагентов Qiagen для выделения ДНК из гелей. Затем ферментировали его с помощью рестриктаз NdeI и HindIII и лигировали с плазмидой pREST A (Invitrogen), предварительно ферментированной с помощью тех же ферментов. Затем преобразовали продукт лигирования в клетки BL21 (DE3) *E. coli*. Подтвердили последовательность сконструированного гибридного гена путем секвенирования ДНК.

Пример 2Б

Клонирование His-ABD-PolyN-ADI

Сконструировали His-ABD-PolyN-ADI (SEQ ID NO: 40, фиг. 3Д) на двух перекрывающих друг друга стадиях ПЦР, и вставили фрагмент, полученный на последней стадии ПЦР, в вектор pET3a между сайтами NdeI и BamHI. На фиг. 6 показана генетическая карта, нуклеотидная последовательность и аминокислотная последовательность His-ABD-PolyN-ADI.

Праймеры, использованные при конструировании His-ABD-PolyN-ADI:

прямой праймер hisABDNde-F (SEQ ID NO: 13):

5'-GGAGATATACTATGCATCATCACCATCACCATGATGAAGCCGTGGATG-3'

обратный праймер ABDnn-R1 (SEQ ID NO: 14):

5'-TTGTTATTATTGTTACTACCCGAAGGTAATGCAGCTAAAATTCATC-3'

обратный праймер ABDn-R2 (SEQ ID NO: 15):

5'-AGAACCGCCGCTACCATTGTTATTATTGTTACTACCCGA-3'

прямой праймер ADln-F (SEQ ID NO: 16):

5'-AATAATAACAATGGTAGCGGCCTCTGTATTGACAGTAAATTAAAGG-3'

обратный праймер ADIBam-R (SEQ ID NO: 17):

5'-TAGATCAATGGATCCTTACCACTAACATCTTACGTGATAAAG-3'

В первом раунде ПЦР использовали две реакционные пробирки с 50 мкл реакционной смеси, содержащей компоненты в известной концентрации. В каждой из пробирок содержалась смесь dNTP, буфера iProof (BIO-RAD), ДНК-полимеразы iProof (BIO-RAD), праймеров и матричной ДНК с добавлением ddH₂O до объема 50 мкл. В качестве

матричной ДНК использовали в реакции вектор pET3a, содержащий ген выделенной из *Mycoplasma arginini* ADI с удаленной сайтовой мутацией внутренней NdeI без изменения белковой последовательности гена ADI.

В двух реакционных пробирках содержалась смесь праймеров (A) из 10 пикомоль *hisABDNde-F* (SEQ ID NO: 13), 0,5 пикомоля *ABDnn-R1* (SEQ ID NO: 14) и 10 пикомоль *ABDn-R2* (SEQ ID NO: 15); и (B) из 10 пикомоль *ADIn-F* (SEQ ID NO: 16) и 10 пикомоль *ADIBam-R* (SEQ ID NO: 17), соответственно.

Задали программу ПЦР согласно стадиям, рекомендованным в руководстве, с температурой (временем) гибридизации и усиления 50°C (20 с) и 72°C (40 с), соответственно. Получили два продукта ПЦР размером 237 и 1278 пар оснований. Экстрагировали продукты и использовали в качестве матрицы в следующем раунде ПЦР.

На второй перекрывающей стадии использовали такую же реакционную смесь, как в первом раунде за исключением того, что в качестве матрицы использовали смесь из 1 пикомоля продукта ПЦР размером 237 пар оснований и 1 пикомоля продукта ПЦР размером 1278 пар оснований, полученных в результате первого раунда ПЦР. В качестве праймеров использовали 10 пикомоль *hisABDNde-F* (SEQ ID NO: 13) и 10 пикомоль *ADIBam-R* (SEQ ID NO: 17).

Температура (время) гибридизации и усиления составляли 50°C (20 с) и 72°C (60 с), соответственно. В результате реакции получили продукт ПЦР размером 1484 пары оснований. Очистили продукт ПЦР, ферментировали его с помощью NdeI и BamHI, а затем лигировали с предварительно ферментированной плазмидой pET3a. Затем преобразовали лигированный продукт в *E. coli* BL21 (DE3) с целью получения рекомбинантного белка.

Пример 2В

Клонирование His-ABD-PolyN-bcADI

Сконструировали **His-ABD-PolyN-bcADI** (SEQ ID NO: 41, фиг. 3Е) на двух перекрывающих друг друга стадиях ПЦР, и вставили фрагмент, полученный на последней стадии ПЦР, в вектор pET3a между сайтами NdeI и BamHI. На фиг. 7 показана генетическая карта, нуклеотидная последовательность и аминокислотная последовательность **His-ABD-PolyN-bcADI**.

Праймеры, использованные при конструировании **His-ABD-PolyN-bcADI**:

прямой праймер hisABDNde-F2 (SEQ ID NO: 18):

5'-GGAGATATACATATGCATCATCACCATCACCATGATGAAGCCGTGGATG-3'

обратный праймер bcABDnn-R1 (SEQ ID NO: 19):

5'-TTGTTATTATTGTTACTACCCGAAGGTAATGCAGCTAAAATTCATC-3'

обратный праймер bcABDn-R2 (SEQ ID NO: 20):

5'-TTTACCGCCGCTACCATTGTTATTATTGTTACTACCCGA-3'

прямой праймер bcADIn-F (SEQ ID NO: 21):

5'-AATAATAACAATGGTAGCGGCGGTAAACATCCGATACATGTTACTTCAGA-3'

обратный праймер bcADIBam-R (SEQ ID NO: 22):

5'-TAGATCAATGGATCCCTAAATATCTTACGAACAATTGGCATAAC-3'

В первом раунде ПЦР использовали две реакционные пробирки с 50 мкл реакционной смеси, содержащей компоненты в известной концентрации. В каждой из пробирок содержалась смесь dNTP, буфера iProof (BIO-RAD), ДНК-полимеразы iProof (BIO-RAD), праймеров и матричной ДНК с добавлением ddH₂O до объема 50 мкл. В качестве матричной ДНК использовали в реакции вектор pET3a, содержащий ген выделенной из *Bacillus cereus* ADI с удаленной сайтовой мутацией внутренней NdeI без изменения белковой последовательности гена ADI.

В двух реакционных пробирках содержалась смесь праймеров (А) из 10 пикомоль *hisABDNde-F2* (SEQ ID NO: 18), 0,5 пикомоля *bcABDnn-R1* (SEQ ID NO: 19) и 10 пикомоль *bcABDn-R2* (SEQ ID NO: 20); и (В) из 10 пикомоль *bcADIn-F* (SEQ ID NO: 21) и 10 пикомоль *bcADIBam-R* (SEQ ID NO: 22), соответственно.

Задали программу ПЦР согласно стадиям, рекомендованным в руководстве, с температурой (временем) гибридизации и усиления 50°C (20 с) и 72°C (40 с), соответственно. Получили два продукта ПЦР размером 237 и 1250 пар оснований. Экстрагировали продукты и использовали в качестве матрицы в следующем раунде ПЦР.

На второй перекрывающей стадии использовали такую же реакционную смесь, как в первом раунде за исключением того, что в качестве матрицы использовали смесь из 1 пикомоля продукта ПЦР размером 237 пар оснований и 1 пикомоля продукта ПЦР размером 1250 пар оснований, полученных в результате первого раунда ПЦР.

В качестве праймеров использовали 10 пикомоль *hisABDNde-F2* (SEQ ID NO: 18) и 10 пикомоль *bcADIBam-R* (SEQ ID NO: 22).

Температура (время) гибридизации и усиления составляли 50°C (20 с) и 72°C (60 с), соответственно. В результате реакции получили продукт ПЦР размером 1512 пар оснований. Очистили продукт ПЦР, ферментировали его с помощью NdeI и BamHI, а затем лигировали с предварительно ферментированной плазмидой pET3a. Затем преобразовали лигированный продукт в *E. coli* BL21 (DE3) с целью получения рекомбинантного белка.

Пример 3

Синтез и очистка гибридного белка AAD

С целью получения посевной культуры в течение ночи культивировали штамм BL21(DE3) *E. Coli*, содержащий плазмиду, кодирующую гибридный белок AAD (фиг. 5), в 5 мл среды 2xTY при 30°C, 250 об/мин. Добавили культивированную в течение ночи посевную культуру (2,5 мл) в 250 мл среды 2xTY при 37°C, 250 об/мин в течение 2,5 ч (до OD₆₀₀ ≈ 0,6-0,7). После достижения OD₆₀₀ добавили в культуру IPTG (до конечной концентрации 0,2 mM). Продолжили выращивание еще в течение 22 часов при 20°C, а затем собрали клетки путем центрифугирования. Повторно суспендировали сгусток клеток в 25 мл 10 mM буфера на основе фосфата натрия с pH 7,4. Подвергли клетки лизису путем разрушения ультразвуком. Собрали растворимую часть после центрифугирования. Затем очистили гибридный белок (содержащий гистидиновую метку) методом никель-аффинной хроматографии. В Таблице 2 показано, что температура культивации является важным фактором, влияющим на растворимость гибридного белка AAD (с аминокислотной последовательностью SEQ ID NO: 40, фиг. 3Д), полученного из экспрессирующего хозяина.

С целью выделения растворимой фракции гибридного белка AAD повторно суспендировали сгусток клеток в 25 мл 10 mM буфера на основе фосфата натрия с pH 7,4. Подвергли клетки лизису путем разрушения ультразвуком. Собрали растворимую часть после центрифугирования. Затем очистили гибридный белок AAD (содержащий гистидиновую метку) методом никель-аффинной хроматографии.

С целью выделения нерастворимой фракции гибридного белка AAD повторно суспендировали сгусток клеток в 25 мл 20 mM буфера Triton X-100 на основе фосфата

натрия с pH 7,4. Подвергли клетки лизису путем разрушения ультразвуком. Собрали нерастворимую часть (вирусные включения) путем центрифугирования. Развернули молекулы белка путем повторного суспендирования в 10 мл 20 mM Tris-HCl с pH 7,4, 6 M гуанидингидрохlorida со встряхиванием до достижения растворимости. Повторно свернули молекулы белка путем добавления по каплям раствора развернутого белка в быстро перемешиваемый раствор 100 мл 20 mM буфера на основе фосфата натрия с pH 7,4. Удалили нерастворимые вещества путем центрифугирования. Осуществили высаливание белка путем добавления твердого порошкового сульфата аммония в надосадочную жидкость до достижения 70% насыщения. Собрали нерастворимую часть путем центрифугирования и повторно суспендировали в 10 мл 20 mM буфера на основе фосфата натрия. Затем очистили гибридный белок AAD (содержащий гистидиновую метку) методом никель-аффинной хроматографии.

Таблица 2

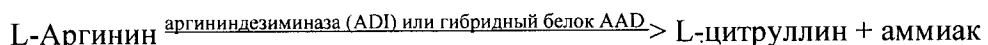
AAD	1	2	3
Температура культивации (°C)	30	20	37
Выход (мг)/ 250 мл культуры	~0,66	~12,0	~7,0
Растворимость	50%	90%	90% вирусных включений
IC ₅₀ (мкг/мл) для клеток А375	0,10	0,68	0,23

Пример 4

Анализ ферментативной активности и ферментативной кинетики гибридного белка AAD

С целью определения ферментативной активности ADI дикого типа и гибридного белка AAD согласно настоящему изобретению использовали реакцию диацетилмоноксима-

тиосемикарбазида (DAM)-(TSC) для обнаружения цитруллина. Эта реакция представлена далее.



С этой целью добавили образец в окрашивающийся реагент, который получили путем смешивания кислого раствора хлорида железа с раствором DAM-TSC. Вкратце, в течение 5 минут инкубировали фермент с 20 мМ аргинина, 10 мМ фосфата натрия с pH 7,4 при 37°C. Нагрели реакционную смесь до 100°C в течение 5 минут, чтобы проявить цвет и осуществить считывание на волне 540 нм (световой путь = 1 см). Построили стандартную кривую с использованием различных концентраций цитруллина. Одна единица нативного фермента ADI соответствует ферментативной активности, при которой 1 мкмоль аргинина преобразуется в 1 мкмоль цитруллина в минуту при 37°C в условиях анализа.

Специфическая активность ADI дикого типа и гибридного белка AAD согласно настоящему изобретению составляла 8,4 и 9,2 единиц/мг (при физиологическом pH 7,4), соответственно. Также определили специфическую активность ADI дикого типа и гибридного белка AAD при различных pH (от 5,5 до 9,5), из которых оптимальным является pH 6,5. Соответственно, полученные результаты показывают, что гибридный белок AAD эффективно истощает аргинин, поскольку гибридизация с альбумин-связывающим белком не сказывается на ферментативной активности ADI.

Константа Михаэлиса K_m равна концентрации субстрата, при которой скорость реакции составляет половину максимальной, и является обратным показателем сродства субстрата к ферменту. Малая величина K_m говорит о высоком сродстве к субстрату, и это означает, что скорость реакции быстрее приближается к максимальной скорости. С целью определения ферментативной кинетики или величины K_m измерили активность ADI дикого типа и гибридного белка AAD при различных концентрациях являющегося субстратом аргинина (2000 мкМ, 1000 мкМ, 500 мкМ, 250 мкМ, 125 мкМ, 62,5 мкМ) и при pH 7,4. Измеренная величина K_m для гибридного белка AAD (SEQ ID NO: 40, белка ADI, полученного из *Mycoplasma arginini*), показанная на фиг. 3Д, и для гибридного белка AAD (SEQ ID NO: 41, белка ADI, полученного из *Bacillus cereus*), показанная на фиг. 3Е, составляют 0,0041 мМ и 0,132 мМ, соответственно. Эти результаты говорят о том, что

гибридизация с АВД не оказывается на способности различных гибридных белков ААД связывать аргинин.

Пример 5

Анализ пролиферации клеток и эффективности *in vitro* гибридного белка ААД в отношении линий раковых клеток

Использовали культуральную среду DMEM для выращивания линий клеток А375 и SK-mel-28 меланомы человека, PancI рака поджелудочной железы человека и С-33А цервикального рака человека. Использовали среду ЕМЕМ для культивирования линий клеток SK-hep 1 рака печени и С-33А цервикального рака. Высеяли раковые клетки ($2-5 \times 10^3$) в 100 мкл культуральной среды на лунки 96-луночных планшетов и инкубировали в течение 24 часов. Заменили культуральную среду средой, содержащей различные концентрации гибридного белка ААД. Инкубировали планшеты еще в течение 3 суток при 37°C в среде из 95% воздуха/5% CO_2 . Осуществили анализ, чтобы оценить число жизнеспособных клеток в культуре согласно инструкциям изготовителя. Приняли количество фермента, которое потребовалось для ингибиования роста клеток на 50%, за IC_{50} .

Как показано в Таблице 1 на фиг. 9, эти результаты говорят о том, что гибридный белок ААД эффективно истощает аргинин и ингибирует рост раковых клеток человека различных линий при исследовании культур тканей *in vitro*. Например, IC_{50} для меланомы человека, карциномы толстой кишки человека, рака поджелудочной железы человека, рака печени человека и цервикального рака человека имела малую величину (смотри Таблицу 1), поскольку гибридный белок ААД легко ингибировал рост клеток рака всех этих типов. Как и предполагалось, гибридный белок ААД ингибирует рост клеток рака всех аргинин-зависимых типов (например, рака ASS-негативного типа).

Пример 6

Определение периода полуыведения *in vivo* гибридного белка ААД

В этом исследовании использовали мышей линии Balb/c (в возрасте 5-7 недель), которых акклиматизировали в течение недели до начала эксперимента. Разделили мышей

(n=3) на четыре группы, и внутрибрюшинно ввели, соответственно, 0, 100, 500 или 1000 мкг гибридного белка AAD (SEQ ID NO: 40, фиг. 3Д) в 100 мкл PBS. Взяли образцы крови каждой мыши в момент 0 часов и в дни с 1 по 7. Получили сыворотку после центрифугирования. Затем освободили сыворотку от белков и подвергли анализу на аргинин с помощью анализатора аминокислот.

Как показано на фиг. 11, даже в наименьшей дозировке 100 мкг гибридный белок AAD (SEQ ID NO: 40, фиг. 3Д) эффективно истощает аргинин в плазме в дни 1, 3 и 5, т.е. AAD способна эффективно истощать аргинин *in vivo* в течение по меньшей мере 5 дней. Содержание аргинина постепенно вернулось к нормальному уровню в день 6 и день 7 во всех лечебных группах.

Пример 7

Эффективность *in vivo* гибридного белка AAD в отношении ксенотрансплантатов раковых клеток

В этом исследовании использовали бестимусных мышей линии balb/c (в возрасте 5-7 недель), которых акклиматизировали в течение недели до начала эксперимента. Подкожно ввели мышам 2×10^6 раковых клеток в 100 мкл свежей культуральной среды. Через десять дней произвольно разделили мышей на контрольную и лечебную группы. Мышам из контрольной группы раз в неделю внутрибрюшинно вводили 100 мкл PBS, а мышам из лечебной группы – 100 мкл гибридного белка AAD. Измерили размер опухолей с помощью калибра, и вычислили объем опухолей согласно формуле: (длина x ширина²)/2. На пятый день после каждого курса брали образцы крови с целью измерения содержания аргинина в плазме.

SEQUENCE LISTING

<110> Vision Global Holdings Ltd.
WONG, Bing Lou

<120> PHARMACEUTICAL COMPOSITION COMPRISING ALBUMIN-BINDING ARGININE
DEMINASE FOR CANCER TARGETING TREATMENT

<130> P6890US01

<140> PCT/US14/020943
<141> 2014-03-06

<150> US 61/773,214
<151> 2013-03-06

<150> US 14/197,236
<151> 2014-03-05

<160> 53

<170> PatentIn version 3.5

<210> 1
<211> 50
<212> DNA
<213> Artificial Sequence

<220>
<223> Primer, synthesized in lab

<400> 1
catgatgcga attccttagc tgaagctaaa gtcttagcta acagagaact

50

<210> 2
<211> 50
<212> DNA
<213> Artificial Sequence

<220>
<223> Primer, synthesized in lab

<400> 2
tagtcactta ctccatatattt gtcaaggttct ctgttagcta agacttttagc

50

<210> 3
<211> 50
<212> DNA
<213> Artificial Sequence

<220>
<223> Primer, synthesized in lab

<400> 3
gaaccttgaca aatatggagt aagtgactat tacaagaacc taatcaacaa

50

<210> 4
<211> 50
<212> DNA
<213> Artificial Sequence

<220>
 <223> Primer, synthesized in lab

<400> 4
 tacacccatca acagtttgg cattgttgat tagttcttg taatagtcac 50

<210> 5
 <211> 50
 <212> DNA
 <213> Artificial Sequence

<220>
 <223> Primer, synthesized in lab

<400> 5
 gccaactg ttgaagggtgt aaaaggactg atagatgaaa ttttagctgc 50

<210> 6
 <211> 48
 <212> DNA
 <213> Artificial Sequence

<220>
 <223> Primer, synthesized in lab

<400> 6
 agctacgata agcttaaggt aatgcagcta aaatttcatc tatcagtgc 48

<210> 7
 <211> 50
 <212> DNA
 <213> Artificial Sequence

<220>
 <223> Primer, synthesized in lab

<400> 7
 catgatgcga attccttagc tgaagctaaa gtcttagcta acagagaact 50

<210> 8
 <211> 48
 <212> DNA
 <213> Artificial Sequence

<220>
 <223> Primer, synthesized in lab

<400> 8
 agctacgata agcttaaggt aatgcagcta aaatttcatc tatcagtgc 48

<210> 9
 <211> 37
 <212> DNA
 <213> Artificial Sequence

<220>
 <223> Primer, synthesized in lab

<400> 9

atcgatcgat gtctgtattt gacagtaaat ttcaaagg 37

<210> 10
<211> 51
<212> DNA
<213> Artificial Sequence

<220>
<223> Primer, synthesized in lab

<400> 10
agctaaggaa ttccgcattat gatgggtatg gtgggtggcta ccccaactaa c 51

<210> 11
<211> 37
<212> DNA
<213> Artificial Sequence

<220>
<223> Primer, synthesized in lab

<400> 11
atcgatcgat gtctgtattt gacagtaaat ttcaaagg 37

<210> 12
<211> 48
<212> DNA
<213> Artificial Sequence

<220>
<223> Primer, synthesized in lab

<400> 12
agctacgata agcttaaggt aatgcagcta aaatttcatc tatcagtg 48

<210> 13
<211> 49
<212> DNA
<213> Artificial Sequence

<220>
<223> Primer, synthesized in lab

<400> 13
ggagatatac atatgcata tcaccatcac catgatgaag ccgtggatg 49

<210> 14
<211> 50
<212> DNA
<213> Artificial Sequence

<220>
<223> Primer, synthesized in lab

<400> 14
tttgttattat tgttgttact acccgaaggt aatgcagcta aaatttcatc 50

<210> 15

<211> 42
<212> DNA
<213> Artificial Sequence

<220>
<223> Primer, synthesized in lab

<400> 15
agaaccgccc ctaccattgt tattattgtt gttactaccc ga 42

<210> 16
<211> 50
<212> DNA
<213> Artificial Sequence

<220>
<223> Primer, synthesized in lab

<400> 16
aataataaca atggtagcgg cggttctgta tttgacagta aatttaaagg 50

<210> 17
<211> 44
<212> DNA
<213> Artificial Sequence

<220>
<223> Primer, synthesized in lab

<400> 17
tagatcaatg gatccttacc acttaacatc tttacgtgat aaag 44

<210> 18
<211> 49
<212> DNA
<213> Artificial Sequence

<220>
<223> Primer, synthesized in lab

<400> 18
ggagatatac atatgcatca tcaccatcac catgatgaag ccgtggatg 49

<210> 19
<211> 50
<212> DNA
<213> Artificial Sequence

<220>
<223> Primer, synthesized in lab

<400> 19
ttgttattat tgttgttact acccgaaggt aatgcagcta aaatttcatc 50

<210> 20
<211> 42
<212> DNA
<213> Artificial Sequence

<220>
 <223> Primer, synthesized in lab

<400> 20
 tttaccggccg ctaccatgtt tattattgtt gttactaccc ga 42

<210> 21
 <211> 50
 <212> DNA
 <213> Artificial Sequence

<220>
 <223> Primer, synthesized in lab

<400> 21
 aataataaca atggtagcgg cggttaaacat ccgatacatg ttacttcaga 50

<210> 22
 <211> 44
 <212> DNA
 <213> Artificial Sequence

<220>
 <223> Primer, synthesized in lab

<400> 22
 tagatcaatg gatccctaaa tatcttacg aacaattggc atac 44

<210> 23
 <211> 410
 <212> PRT
 <213> Mycoplasma arginini

<400> 23

Met	Ser	Val	Phe	Asp	Ser	Lys	Phe	Lys	Gly	Ile	His	Val	Tyr	Ser	Glu
1															
														15	

Ile Gly Glu Leu Glu Ser Val Leu Val His Glu Pro Gly Arg Glu Ile
 20 25 30

Asp Tyr Ile Thr Pro Ala Arg Leu Asp Glu Leu Leu Phe Ser Ala Ile
 35 40 45

Leu Glu Ser His Asp Ala Arg Lys Glu His Lys Gln Phe Val Ala Glu
 50 55 60

Leu Lys Ala Asn Asp Ile Asn Val Val Glu Leu Ile Asp Leu Val Ala
 65 70 75 80

Glu Thr Tyr Asp Leu Ala Ser Gln Glu Ala Lys Asp Lys Leu Ile Glu
 85 90 95

Glu Phe Leu Glu Asp Ser Glu Pro Val Leu Ser Glu Glu His Lys Val
 100 105 110

Val Val Arg Asn Phe Leu Lys Ala Lys Lys Thr Ser Arg Glu Leu Val
115 120 125

Glu Ile Met Met Ala Gly Ile Thr Lys Tyr Asp Leu Gly Ile Glu Ala
130 135 140

Asp His Glu Leu Ile Val Asp Pro Met Pro Asn Leu Tyr Phe Thr Arg
145 150 155 160

Asp Pro Phe Ala Ser Val Gly Asn Gly Val Thr Ile His Tyr Met Arg
165 170 175

Tyr Lys Val Arg Gln Arg Glu Thr Leu Phe Ser Arg Phe Val Phe Ser
180 185 190

Asn His Pro Lys Leu Ile Asn Thr Pro Trp Tyr Tyr Asp Pro Ser Leu
195 200 205

Lys Leu Ser Ile Glu Gly Asp Val Phe Ile Tyr Asn Asn Asp Thr
210 215 220

Leu Val Val Gly Val Ser Glu Arg Thr Asp Leu Gln Thr Val Thr Leu
225 230 235 240

Leu Ala Lys Asn Ile Val Ala Asn Lys Glu Cys Glu Phe Lys Arg Ile
245 250 255

Val Ala Ile Asn Val Pro Lys Trp Thr Asn Leu Met His Leu Asp Thr
260 265 270

Trp Leu Thr Met Leu Asp Lys Asp Lys Phe Leu Tyr Ser Pro Ile Ala
275 280 285

Asn Asp Val Phe Lys Phe Trp Asp Tyr Asp Leu Val Asn Gly Gly Ala
290 295 300

Glu Pro Gln Pro Val Glu Asn Gly Leu Pro Leu Glu Gly Leu Leu Gln
305 310 315 320

Ser Ile Ile Asn Lys Lys Pro Val Leu Ile Pro Ile Ala Gly Glu Gly
325 330 335

Ala Ser Gln Met Glu Ile Glu Arg Glu Thr His Phe Asp Gly Thr Asn
340 345 350

Tyr Leu Ala Ile Arg Pro Gly Val Val Ile Gly Tyr Ser Arg Asn Glu
355 360 365

Lys Thr Asn Ala Ala Leu Glu Ala Ala Gly Ile Lys Val Leu Pro Phe
370 375 380

His Gly Asn Gln Leu Ser Leu Gly Met Gly Asn Ala Arg Cys Met Ser
385 390 395 400

Met Pro Leu Ser Arg Lys Asp Val Lys Trp
405 410

<210> 24
<211> 410
<212> PRT
<213> Lactococcus lactis

<400> 24

Met Asn Asn Gly Ile Asn Val Asn Ser Glu Ile Gly Lys Leu Lys Ser
1 5 10 15

Val Leu Leu His Arg Pro Gly Ala Glu Val Glu Asn Ile Thr Pro Asp
20 25 30

Thr Met Lys Gln Leu Leu Phe Asp Asp Ile Pro Tyr Leu Lys Ile Ala
35 40 45

Gln Lys Glu His Asp Phe Phe Ala Gln Thr Leu Arg Asp Asn Gly Ala
50 55 60

Glu Thr Val Tyr Ile Glu Asn Leu Ala Thr Glu Val Phe Glu Lys Ser
65 70 75 80

Ser Glu Thr Lys Glu Glu Phe Leu Ser His Leu Leu His Glu Ala Gly
85 90 95

Tyr Arg Pro Gly Arg Thr Tyr Asp Gly Leu Thr Glu Tyr Leu Thr Ser
100 105 110

Met Pro Thr Lys Asp Met Val Glu Lys Val Tyr Ala Gly Val Arg Lys
115 120 125

Asn Glu Leu Asp Ile Lys Arg Thr Ala Leu Ser Asp Met Ala Gly Ser
130 135 140

Asp Ala Glu Asn Tyr Phe Tyr Leu Asn Pro Leu Pro Asn Ala Tyr Phe
145 150 155 160

Thr Arg Asp Pro Gln Ala Ser Met Gly Val Gly Met Thr Ile Asn Lys
165 170 175

Met Thr Phe Pro Ala Arg Gln Pro Glu Ser Leu Ile Thr Glu Tyr Val
180 185 190

Met Ala Asn His Pro Arg Phe Lys Asp Thr Pro Ile Trp Arg Asp Arg
195 200 205

Asn His Thr Thr Arg Ile Glu Gly Gly Asp Glu Leu Ile Leu Asn Lys
210 215 220

Thr Thr Val Ala Ile Gly Val Ser Glu Arg Thr Ser Ser Lys Thr Ile
225 230 235 240

Gln Asn Leu Ala Lys Glu Leu Phe Ala Asn Pro Leu Ser Thr Phe Asp
245 250 255

Thr Val Leu Ala Val Glu Ile Pro His Asn His Ala Met Met His Leu
260 265 270

Asp Thr Val Phe Thr Met Ile Asn His Asp Gln Phe Thr Val Phe Pro
275 280 285

Gly Ile Met Asp Gly Ala Gly Asn Ile Asn Val Phe Ile Leu Arg Pro
290 295 300

Gly Gln Asp Gly Glu Val Glu Ile Glu His Leu Thr Asp Leu Lys Ala
305 310 315 320

Ala Leu Lys Lys Val Leu Asn Leu Ser Glu Leu Asp Leu Ile Glu Cys
325 330 335

Gly Ala Gly Asp Pro Ile Ala Ala Pro Arg Glu Gln Trp Asn Asp Gly
340 345 350

Ser Asn Thr Leu Ala Ile Ala Pro Gly Glu Ile Val Thr Tyr Asp Arg
355 360 365

Asn Tyr Val Thr Val Glu Leu Leu Lys Glu His Gly Ile Lys Val His
370 375 380

Glu Ile Leu Ser Ser Glu Leu Gly Arg Gly Arg Gly Ala Arg Cys
385 390 395 400

Met Ser Gln Pro Leu Trp Arg Glu Asp Leu
405 410

<210> 25

<211> 410

<212> PRT

<213> Bacillus cereus

<400> 25

Met Lys His Pro Ile His Val Thr Ser Glu Ile Gly Glu Leu Gln Thr
1 5 10 15

Val Leu Leu Lys Arg Pro Gly Lys Glu Val Glu Asn Leu Thr Pro Asp
20 25 30

Tyr Leu Gln Gln Leu Leu Phe Asp Asp Ile Pro Tyr Leu Pro Ile Ile
35 40 45

Gln Lys Glu His Asp Tyr Phe Ala Gln Thr Leu Arg Asn Arg Gly Val
50 55 60

Glu Val Leu Tyr Leu Glu Lys Leu Ala Ala Glu Ala Leu Val Asp Lys
65 70 75 80

Lys Leu Arg Glu Glu Phe Val Asp Arg Ile Leu Lys Glu Gly Gln Ala
85 90 95

Asp Val Asn Val Ala His Gln Thr Leu Lys Glu Tyr Leu Leu Ser Phe
100 105 110

Ser Asn Glu Glu Leu Ile Gln Lys Ile Met Gly Gly Val Arg Lys Asn
115 120 125

Glu Ile Glu Thr Ser Lys Lys Thr His Leu Tyr Glu Leu Met Glu Asp
130 135 140

His Tyr Pro Phe Tyr Leu Asp Pro Met Pro Asn Leu Tyr Phe Thr Arg
145 150 155 160

Asp Pro Ala Ala Ser Val Gly Asp Gly Leu Thr Ile Asn Lys Met Arg
165 170 175

Glu Pro Ala Arg Arg Arg Glu Ser Leu Phe Met Glu Tyr Ile Ile Lys
180 185 190

Tyr His Pro Arg Phe Ala Lys His Asn Val Pro Ile Trp Leu Asp Arg
195 200 205

Asp Tyr Lys Phe Pro Ile Glu Gly Asp Glu Leu Ile Leu Asn Glu
210 215 220

Glu Thr Ile Ala Ile Gly Val Ser Ala Arg Thr Ser Ala Lys Ala Ile
225 230 235 240

Glu Arg Leu Ala Lys Asn Leu Phe Ser Arg Gln Asn Lys Ile Lys Lys
245 250 255

Val Leu Ala Ile Glu Ile Pro Lys Cys Arg Ala Phe Met His Leu Asp
260 265 270

Thr Val Phe Thr Met Val Asp Tyr Asp Lys Phe Thr Ile His Pro Ala
275 280 285

Ile Gln Gly Pro Lys Gly Asn Met Asn Ile Tyr Ile Leu Glu Lys Gly
290 295 300

Ala Asp Glu Glu Thr Leu Lys Ile Thr His Arg Thr Ser Leu Met Glu
305 310 315 320

Ala Leu Lys Glu Val Leu Asp Leu Ser Glu Leu Val Leu Ile Pro Cys
325 330 335

Gly Gly Gly Asp Val Ile Ala Ser Ala Arg Glu Gln Trp Asn Asp Gly
340 345 350

Ser Asn Thr Leu Ala Ile Ala Pro Gly Val Val Val Thr Tyr Asp Arg
355 360 365

Asn Tyr Val Ser Asn Thr Leu Leu Arg Glu His Gly Ile Glu Val Ile
370 375 380

Glu Val Leu Ser Ser Glu Leu Ser Arg Gly Arg Gly Gly Pro Arg Cys
385 390 395 400

Met Ser Met Pro Ile Val Arg Lys Asp Ile
405 410

<210> 26
<211> 413
<212> PRT
<213> Bacillus licheniformis

<400> 26

Met Ile Met Thr Thr Pro Ile His Val Tyr Ser Glu Ile Gly Pro Leu
1 5 10 15

Lys Thr Val Met Leu Lys Arg Pro Gly Arg Glu Leu Glu Asn Leu Thr
20 25 30

Pro Glu Tyr Leu Glu Arg Leu Leu Phe Asp Asp Ile Pro Phe Leu Pro
35 40 45

Ala Val Gln Lys Glu His Asp Gln Phe Ala Glu Thr Leu Lys Gln Gln

50

55

60

Gly Ala Glu Val Leu Tyr Leu Glu Lys Leu Thr Ala Glu Ala Leu Asp
65 70 75 80

Asp Ala Leu Val Arg Glu Gln Phe Ile Asp Glu Leu Leu Thr Glu Ser
85 90 95

Lys Ala Asp Ile Asn Gly Ala Tyr Asp Arg Leu Lys Glu Phe Leu Leu
100 105 110

Thr Phe Asp Ala Asp Ser Met Val Glu Gln Val Met Ser Gly Ile Arg
115 120 125

Lys Asn Glu Leu Glu Arg Glu Lys Lys Ser His Leu His Glu Leu Met
130 135 140

Glu Asp His Tyr Pro Phe Tyr Leu Asp Pro Met Pro Asn Leu Tyr Phe
145 150 155 160

Thr Arg Asp Pro Ala Ala Ala Ile Gly Ser Gly Leu Thr Ile Asn Lys
165 170 175

Met Lys Glu Pro Ala Arg Arg Glu Ser Leu Phe Met Arg Tyr Ile
180 185 190

Ile Asn His His Pro Arg Phe Lys Gly His Glu Ile Pro Val Trp Leu
195 200 205

Asp Arg Asp Phe Lys Phe Asn Ile Glu Gly Gly Asp Glu Leu Val Leu
210 215 220

Asn Glu Glu Thr Val Ala Ile Gly Val Ser Glu Arg Thr Thr Ala Gln
225 230 235 240

Ala Ile Glu Arg Leu Val Arg Asn Leu Phe Gln Arg Gln Ser Arg Ile
245 250 255

Arg Arg Val Leu Ala Val Glu Ile Pro Lys Ser Arg Ala Phe Met His
260 265 270

Leu Asp Thr Val Phe Thr Met Val Asp Arg Asp Gln Phe Thr Ile His
275 280 285

Pro Ala Ile Gln Gly Pro Glu Gly Asp Met Arg Ile Phe Val Leu Glu
290 295 300

Arg Gly Lys Thr Ala Asp Glu Ile His Thr Thr Glu Glu His Asn Leu

305 310 315 320

Pro Glu Val Leu Lys Arg Thr Leu Gly Leu Ser Asp Val Asn Leu Ile
325 330 335

Phe Cys Gly Gly Asp Glu Ile Ala Ser Ala Arg Glu Gln Trp Asn
340 345 350

Asp Gly Ser Asn Thr Leu Ala Ile Ala Pro Gly Val Val Val Thr Tyr
355 360 365

Asp Arg Asn Tyr Ile Ser Asn Glu Cys Leu Arg Glu Gln Gly Ile Lys
370 375 380

Val Ile Glu Ile Pro Ser Gly Glu Leu Ser Arg Gly Arg Gly Gly Pro
385 390 395 400

Arg Cys Met Ser Met Pro Leu Tyr Arg Glu Asp Val Lys
405 410

<210> 27

<211> 409

<212> PRT

<213> Mycoplasma arthritidis

<400> 27

Met Ser Val Phe Asp Ser Lys Phe Lys Gly Ile His Val Tyr Ser Glu
1 5 10 15

Ile Gly Glu Leu Glu Thr Val Leu Val His Glu Pro Gly Lys Glu Ile
20 25 30

Asp Tyr Ile Thr Pro Ala Arg Leu Asp Glu Leu Leu Phe Ser Ala Ile
35 40 45

Leu Glu Ser His Asp Ala Arg Lys Glu His Lys Glu Phe Val Ala Glu
50 55 60

Leu Lys Lys Arg Gly Ile Asn Val Val Glu Leu Val Asp Leu Ile Val
65 70 75 80

Glu Thr Tyr Asp Leu Ala Ser Lys Glu Ala Lys Glu Lys Leu Leu Glu
85 90 95

Glu Phe Leu Asp Asp Ser Val Pro Val Leu Ser Asp Glu His Arg Ala
100 105 110

Ala Val Lys Lys Phe Leu Gln Ser Gln Lys Ser Thr Arg Ser Leu Val
115 120 125

Glu Tyr Met Ile Ala Gly Ile Thr Lys His Asp Leu Lys Ile Glu Ser
130 135 140

Asp Leu Glu Leu Ile Val Asp Pro Met Pro Asn Leu Tyr Phe Thr Arg
145 150 155 160

Asp Pro Phe Ala Ser Val Gly Asn Gly Val Thr Ile His Tyr Met Arg
165 170 175

Tyr Lys Val Arg Gln Arg Glu Thr Leu Phe Ser Arg Phe Val Phe Ser
180 185 190

Asn His Pro Lys Leu Val Asn Thr Pro Trp Tyr Tyr Asp Pro Ala Glu
195 200 205

Gly Leu Ser Ile Glu Gly Asp Val Phe Ile Tyr Asn Asn Asp Thr
210 215 220

Leu Val Val Gly Val Ser Glu Arg Thr Asp Leu Gln Thr Ile Thr Leu
225 230 235 240

Leu Ala Lys Asn Ile Lys Ala Asn Lys Glu Cys Glu Phe Lys Arg Ile
245 250 255

Val Ala Ile Asn Val Pro Lys Trp Thr Asn Leu Met His Leu Asp Thr
260 265 270

Trp Leu Thr Met Leu Asp Lys Asp Lys Phe Leu Tyr Ser Pro Ile Ala
275 280 285

Asn Asp Val Phe Lys Phe Trp Asp Tyr Asp Leu Val Asn Gly Gly Asp
290 295 300

Ala Pro Gln Pro Val Asp Asn Gly Leu Pro Leu Glu Asp Leu Leu Lys
305 310 315 320

Ser Ile Ile Gly Lys Lys Pro Thr Leu Ile Pro Ile Ala Gly Ala Gly
325 330 335

Ala Ser Gln Ile Asp Ile Glu Arg Glu Thr His Phe Asp Gly Thr Asn
340 345 350

Tyr Leu Ala Val Ala Pro Gly Ile Val Ile Gly Tyr Ala Arg Asn Glu
355 360 365

Lys Thr Asn Ala Ala Leu Glu Ala Ala Gly Ile Thr Val Leu Pro Phe
370 375 380

Arg Gly Asn Gln Leu Ser Leu Gly Met Gly Asn Ala Arg Cys Met Ser
385 390 395 400

Met Pro Leu Ser Arg Lys Asp Val Lys
405

<210> 28
<211> 409
<212> PRT
<213> Mycoplasma hominis

<400> 28

Met Ser Val Phe Asp Ser Lys Phe Asn Gly Ile His Val Tyr Ser Glu
1 5 10 15

Ile Gly Glu Leu Glu Thr Val Leu Val His Glu Pro Gly Arg Glu Ile
20 25 30

Asp Tyr Ile Thr Pro Ala Arg Leu Asp Glu Leu Leu Phe Ser Ala Ile
35 40 45

Leu Glu Ser His Asp Ala Arg Lys Glu His Gln Ser Phe Val Lys Ile
50 55 60

Met Lys Asp Arg Gly Ile Asn Val Val Glu Leu Thr Asp Leu Val Ala
65 70 75 80

Glu Thr Tyr Asp Leu Ala Ser Lys Ala Ala Lys Glu Glu Phe Ile Glu
85 90 95

Thr Phe Leu Glu Glu Thr Val Pro Val Leu Thr Glu Ala Asn Lys Lys
100 105 110

Ala Val Arg Ala Phe Leu Leu Ser Lys Pro Thr His Glu Met Val Glu
115 120 125

Phe Met Met Ser Gly Ile Thr Lys Tyr Glu Leu Gly Val Glu Ser Glu
130 135 140

Asn Glu Leu Ile Val Asp Pro Met Pro Asn Leu Tyr Phe Thr Arg Asp
145 150 155 160

Pro Phe Ala Ser Val Gly Asn Gly Val Thr Ile His Phe Met Arg Tyr
165 170 175

Ile Val Arg Arg Arg Glu Thr Leu Phe Ala Arg Phe Val Phe Arg Asn
180 185 190

His Pro Lys Leu Val Lys Thr Pro Trp Tyr Tyr Asp Pro Ala Met Lys
195 200 205

Met Ser Ile Glu Gly Gly Asp Val Phe Ile Tyr Asn Asn Glu Thr Leu
210 215 220

Val Val Gly Val Ser Glu Arg Thr Asp Leu Asp Thr Ile Thr Leu Leu
225 230 235 240

Ala Lys Asn Ile Lys Ala Asn Lys Glu Val Glu Phe Lys Arg Ile Val
245 250 255

Ala Ile Asn Val Pro Lys Trp Thr Asn Leu Met His Leu Asp Thr Trp
260 265 270

Leu Thr Met Leu Asp Lys Asn Lys Phe Leu Tyr Ser Pro Ile Ala Asn
275 280 285

Asp Val Phe Lys Phe Trp Asp Tyr Asp Leu Val Asn Gly Gly Ala Glu
290 295 300

Pro Gln Pro Gln Leu Asn Gly Leu Pro Leu Asp Lys Leu Leu Ala Ser
305 310 315 320

Ile Ile Asn Lys Glu Pro Val Leu Ile Pro Ile Gly Gly Ala Gly Ala
325 330 335

Thr Glu Met Glu Ile Ala Arg Glu Thr Asn Phe Asp Gly Thr Asn Tyr
340 345 350

Leu Ala Ile Lys Pro Gly Leu Val Ile Gly Tyr Asp Arg Asn Glu Lys
355 360 365

Thr Asn Ala Ala Leu Lys Ala Ala Gly Ile Thr Val Leu Pro Phe His
370 375 380

Gly Asn Gln Leu Ser Leu Gly Met Gly Asn Ala Arg Cys Met Ser Met
385 390 395 400

Pro Leu Ser Arg Lys Asp Val Lys Trp
405

<210> 29
<211> 411
<212> PRT
<213> Streptococcus pyogenes

<400> 29

Met Thr Ala Gln Thr Pro Ile His Val Tyr Ser Glu Ile Gly Lys Leu
1 5 10 15

Lys Lys Val Leu Leu His Arg Pro Gly Lys Glu Ile Glu Asn Leu Met
20 25 30

Pro Asp Tyr Leu Glu Arg Leu Leu Phe Asp Asp Ile Pro Phe Leu Glu
35 40 45

Asp Ala Gln Lys Glu His Asp Ala Phe Ala Gln Ala Leu Arg Asp Glu
50 55 60

Gly Ile Glu Val Leu Tyr Leu Glu Thr Leu Ala Ala Glu Ser Leu Val
65 70 75 80

Thr Pro Glu Ile Arg Glu Ala Phe Ile Asp Glu Tyr Leu Ser Glu Ala
85 90 95

Asn Ile Arg Gly Arg Ala Thr Lys Lys Ala Ile Arg Glu Leu Leu Met
100 105 110

Ala Ile Glu Asp Asn Gln Glu Leu Ile Glu Lys Thr Met Ala Gly Val
115 120 125

Gln Lys Ser Glu Leu Pro Glu Ile Pro Ala Ser Glu Lys Gly Leu Thr
130 135 140

Asp Leu Val Glu Ser Ser Tyr Pro Phe Ala Ile Asp Pro Met Pro Asn
145 150 155 160

Leu Tyr Phe Thr Arg Asp Pro Phe Ala Thr Ile Gly Thr Gly Val Ser
165 170 175

Leu Asn His Met Phe Ser Glu Thr Arg Asn Arg Glu Thr Leu Tyr Gly
180 185 190

Lys Tyr Ile Phe Thr His His Pro Ile Tyr Gly Gly Lys Val Pro
195 200 205

Met Val Tyr Asp Arg Asn Glu Thr Thr Arg Ile Glu Gly Gly Asp Glu
210 215 220

Leu Val Leu Ser Lys Asp Val Leu Ala Val Gly Ile Ser Gln Arg Thr
225 230 235 240

Asp Ala Ala Ser Ile Glu Lys Leu Leu Val Asn Ile Phe Lys Gln Asn
245 250 255

Leu Gly Phe Lys Lys Val Leu Ala Phe Glu Phe Ala Asn Asn Arg Lys
260 265 270

Phe Met His Leu Asp Thr Val Phe Thr Met Val Asp Tyr Asp Lys Phe
275 280 285

Thr Ile His Pro Glu Ile Glu Gly Asp Leu Arg Val Tyr Ser Val Thr
290 295 300

Tyr Asp Asn Glu Glu Leu His Ile Val Glu Glu Lys Gly Asp Leu Ala
305 310 315 320

Asp Leu Leu Ala Ala Asn Leu Gly Val Glu Lys Val Asp Leu Ile Arg
325 330 335

Cys Gly Gly Asp Asn Leu Val Ala Ala Gly Arg Glu Gln Trp Asn Asp
340 345 350

Gly Ser Asn Thr Leu Thr Ile Ala Pro Gly Val Val Val Val Tyr Asn
355 360 365

Arg Asn Thr Ile Thr Asn Ala Ile Leu Glu Ser Lys Gly Leu Lys Leu
370 375 380

Ile Lys Ile His Gly Ser Glu Leu Val Arg Gly Arg Gly Gly Pro Arg
385 390 395 400

Cys Met Ser Met Pro Phe Glu Arg Glu Asp Ile
405 410

<210> 30
<211> 409
<212> PRT
<213> Streptococcus pneumonia

<400> 30

Met Ser Ser His Pro Ile Gln Val Phe Ser Glu Ile Gly Lys Leu Lys
1 5 10 15

Lys Val Met Leu His Arg Pro Gly Lys Glu Leu Glu Asn Leu Leu Pro
20 25 30

Asp Tyr Leu Glu Arg Leu Leu Phe Asp Asp Ile Pro Phe Leu Glu Asp
35 40 45

Ala Gln Lys Glu His Asp Ala Phe Ala Gln Ala Leu Arg Asp Glu Gly
50 55 60

Ile Glu Val Leu Tyr Leu Glu Gln Leu Ala Ala Glu Ser Leu Thr Ser

65	70	75	80
Pro Glu Ile Arg Asp Gln Phe Ile Glu Glu Tyr Leu Asp Glu Ala Asn			
85		90	95
Ile Arg Asp Arg Gln Thr Lys Val Ala Ile Arg Glu Leu Leu His Gly			
100		105	110
Ile Lys Asp Asn Gln Glu Leu Val Glu Lys Thr Met Ala Gly Ile Gln			
115		120	125
Lys Val Glu Leu Pro Glu Ile Pro Asp Glu Ala Lys Asp Leu Thr Asp			
130		135	140
Leu Val Glu Ser Asp Tyr Pro Phe Ala Ile Asp Pro Met Pro Asn Leu			
145		150	155
Tyr Phe Thr Arg Asp Pro Phe Ala Thr Ile Gly Asn Ala Val Ser Leu			
165		170	175
Asn His Met Phe Ala Asp Thr Arg Asn Arg Glu Thr Leu Tyr Gly Lys			
180		185	190
Tyr Ile Phe Lys Tyr His Pro Ile Tyr Gly Lys Val Asp Leu Val			
195		200	205
Tyr Asn Arg Glu Glu Asp Thr Arg Ile Glu Gly Gly Asp Glu Leu Val			
210		215	220
Leu Ser Lys Asp Val Leu Ala Val Gly Ile Ser Gln Arg Thr Asp Ala			
225		230	235
240			
Ala Ser Ile Glu Lys Leu Leu Val Asn Ile Phe Lys Lys Asn Val Gly			
245		250	255
Phe Lys Lys Val Leu Ala Phe Glu Phe Ala Asn Asn Arg Lys Phe Met			
260		265	270
His Leu Asp Thr Val Phe Thr Met Val Asp Tyr Asp Lys Phe Thr Ile			
275		280	285
His Pro Glu Ile Glu Gly Asp Leu His Val Tyr Ser Val Thr Tyr Glu			
290		295	300
Asn Glu Lys Leu Lys Ile Val Glu Glu Lys Gly Asp Leu Ala Glu Leu			
305		310	315
320			
Leu Ala Gln Asn Leu Gly Val Glu Lys Val His Leu Ile Arg Cys Gly			

325

330

335

Gly Gly Asn Ile Val Ala Ala Arg Glu Gln Trp Asn Asp Gly Ser
340 345 350

Asn Thr Leu Thr Ile Ala Pro Gly Val Val Val Val Tyr Asp Arg Asn
355 360 365

Thr Val Thr Asn Lys Ile Leu Glu Glu Tyr Gly Leu Arg Leu Ile Lys
370 375 380

Ile Arg Gly Ser Glu Leu Val Arg Gly Arg Gly Gly Pro Arg Cys Met
385 390 395 400

Ser Met Pro Phe Glu Arg Glu Glu Val
405

<210> 31
<211> 402
<212> PRT
<213> Mycobacterium tuberculosis

<400> 31

Met Gly Val Glu Leu Gly Ser Asn Ser Glu Val Gly Ala Leu Arg Val
1 5 10 15

Val Ile Leu His Arg Pro Gly Ala Glu Leu Arg Arg Leu Thr Pro Arg
20 25 30

Asn Thr Asp Gln Leu Leu Phe Asp Gly Leu Pro Trp Val Ser Arg Ala
35 40 45

Gln Asp Glu His Asp Glu Phe Ala Glu Leu Leu Ala Ser Arg Gly Ala
50 55 60

Glu Val Leu Leu Leu Ser Asp Leu Leu Thr Glu Ala Leu His His Ser
65 70 75 80

Gly Ala Ala Arg Met Gln Gly Ile Ala Ala Ala Val Asp Ala Pro Arg
85 90 95

Leu Gly Leu Pro Leu Ala Gln Glu Leu Ser Ala Tyr Leu Arg Ser Leu
100 105 110

Asp Pro Gly Arg Leu Ala His Val Leu Thr Ala Gly Met Thr Phe Asn
115 120 125

Glu Leu Pro Ser Asp Thr Arg Thr Asp Val Ser Leu Val Leu Arg Met
130 135 140

His His Gly Gly Asp Phe Val Ile Glu Pro Leu Pro Asn Leu Val Phe
145 150 155 160

Thr Arg Asp Ser Ser Ile Trp Ile Gly Pro Arg Val Val Ile Pro Ser
165 170 175

Leu Ala Leu Arg Ala Arg Val Arg Glu Ala Ser Leu Thr Asp Leu Ile
180 185 190

Tyr Ala His His Pro Arg Phe Thr Gly Val Arg Arg Ala Tyr Glu Ser
195 200 205

Arg Thr Ala Pro Val Glu Gly Gly Asp Val Leu Leu Leu Ala Pro Gly
210 215 220

Val Val Ala Val Gly Val Gly Glu Arg Thr Thr Pro Ala Gly Ala Glu
225 230 235 240

Ala Leu Ala Arg Ser Leu Phe Asp Asp Asp Leu Ala His Thr Val Leu
245 250 255

Ala Val Pro Ile Ala Gln Gln Arg Ala Gln Met His Leu Asp Thr Val
260 265 270

Cys Thr Met Val Asp Thr Asp Thr Met Val Met Tyr Ala Asn Val Val
275 280 285

Asp Thr Leu Glu Ala Phe Thr Ile Gln Arg Thr Pro Asp Gly Val Thr
290 295 300

Ile Gly Asp Ala Ala Pro Phe Ala Glu Ala Ala Ala Lys Ala Met Gly
305 310 315 320

Ile Asp Lys Leu Arg Val Ile His Thr Gly Met Asp Pro Val Val Ala
325 330 335

Glu Arg Glu Gln Trp Asp Asp Gly Asn Asn Thr Leu Ala Leu Ala Pro
340 345 350

Gly Val Val Val Ala Tyr Glu Arg Asn Val Gln Thr Asn Ala Arg Leu
355 360 365

Gln Asp Ala Gly Ile Glu Val Leu Thr Ile Ala Gly Ser Glu Leu Gly
370 375 380

Thr Gly Arg Gly Gly Pro Arg Cys Met Ser Cys Pro Ala Ala Arg Asp
385 390 395 400

Pro Leu

<210> 32
<211> 417
<212> PRT
<213> *Pseudomonas plecoglossicida*

<400> 32

Met Ser Thr Glu Lys Gln Lys Tyr Gly Val His Ser Glu Ala Gly Lys
1 5 10 15

Leu Arg Lys Val Met Val Cys Ser Pro Gly Leu Ala His Lys Arg Leu
20 25 30

Thr Pro Ser Asn Cys Asp Glu Leu Leu Phe Asp Asp Val Ile Trp Val
35 40 45

Asp Gln Ala Lys Arg Asp His Phe Asp Phe Val Thr Lys Met Arg Glu
50 55 60

Arg Gly Val Asp Val Leu Glu Met His Asn Leu Leu Thr Asp Ile Val
65 70 75 80

Gln Asp Lys Asn Ala Leu Lys Trp Ile Leu Asp Arg Lys Leu Thr Asp
85 90 95

Asp Thr Val Gly Val Gly Leu Lys Asn Glu Val Arg Ser Trp Leu Glu
100 105 110

Gly Gln Asp Pro Arg His Leu Ala Glu Phe Leu Ile Gly Gly Val Ala
115 120 125

Gly Gln Asp Leu Pro Gln Ser Glu Gly Ala Asp Val Val Lys Met Tyr
130 135 140

Asn Asp Tyr Leu Gly His Ser Ser Phe Ile Leu Pro Pro Leu Pro Asn
145 150 155 160

Thr Gln Phe Thr Arg Asp Thr Thr Cys Trp Ile Tyr Gly Gly Val Thr
165 170 175

Leu Asn Pro Met Tyr Trp Pro Ala Arg Arg Gln Glu Thr Leu Leu Thr
180 185 190

Thr Ala Ile Tyr Lys Phe His Lys Glu Phe Thr Asn Ala Glu Phe Glu
195 200 205

Val Trp Tyr Gly Asp Pro Asp Lys Glu His Gly Ser Ser Thr Leu Glu
210 215 220

Gly Gly Asp Val Met Pro Ile Gly Lys Gly Ile Val Leu Ile Gly Met
225 230 235 240

Gly Glu Arg Thr Ser Arg Gln Ala Ile Gly Gln Leu Ala Arg Asn Leu
245 250 255

Phe Glu Lys Gly Ala Ala Thr Glu Val Ile Val Ala Gly Leu Pro Lys
260 265 270

Ser Arg Ala Ala Met His Leu Asp Thr Val Phe Ser Phe Cys Asp Arg
275 280 285

Asp Leu Val Thr Val Phe Pro Glu Val Val Asn Glu Ile Val Pro Phe
290 295 300

Ile Ile Arg Pro Asp Glu Lys Lys Pro Tyr Gly Met Asp Val Arg Arg
305 310 315 320

Ile Asn Lys Ser Phe Ile Glu Val Val Gly Glu Gln Leu Gly Val Lys
325 330 335

Leu Arg Val Val Glu Thr Gly Gly Asn Ser Phe Ala Ala Glu Arg Glu
340 345 350

Gln Trp Asp Asp Gly Asn Asn Val Val Ala Ile Glu Pro Gly Val Val
355 360 365

Ile Gly Tyr Asp Arg Asn Thr Tyr Thr Asn Thr Leu Leu Arg Lys Ala
370 375 380

Gly Ile Glu Val Ile Thr Ile Ser Ala Gly Glu Leu Gly Arg Gly Arg
385 390 395 400

Gly Gly Gly His Cys Met Thr Cys Pro Ile Val Arg Asp Pro Ile Asp
405 410 415

Tyr

<210> 33
<211> 420
<212> PRT
<213> Pseudomonas putida

<400> 33

Met Ser Ala Glu Lys Gln Lys Tyr Gly Val His Ser Glu Ala Gly Lys
1 5 10 15

Leu Arg Lys Val Met Val Cys Ser Pro Gly Leu Ala His Lys Arg Leu
20 25 30

Thr Pro Ser Asn Cys Asp Glu Leu Leu Phe Asp Asp Val Ile Trp Val
35 40 45

Asp Gln Ala Lys Arg Asp His Phe Asp Phe Val Thr Lys Met Arg Glu
50 55 60

Arg Gly Val Asp Val Leu Glu Met His Asn Leu Leu Thr Asp Ile Val
65 70 75 80

Gln Gln Pro Glu Ala Leu Lys Trp Ile Leu Asp Arg Lys Ile Thr Ser
85 90 95

Asp Thr Val Gly Val Gly Leu Thr Asn Glu Val Arg Ser Trp Leu Glu
100 105 110

Gly Leu Glu Pro Arg His Leu Ala Glu Phe Leu Ile Gly Gly Val Ala
115 120 125

Gly Gln Asp Leu Pro Val Ser Glu Gly Ala Glu Val Ile Lys Met Tyr
130 135 140

Asn Lys Tyr Leu Gly His Ser Ser Phe Ile Leu Pro Pro Leu Pro Asn
145 150 155 160

Thr Gln Phe Thr Arg Asp Thr Thr Cys Trp Ile Tyr Gly Gly Val Thr
165 170 175

Leu Asn Pro Met Tyr Trp Pro Ala Arg Arg Gln Glu Thr Leu Leu Thr
180 185 190

Thr Ala Ile Tyr Lys Phe His Lys Glu Phe Thr Gly Ala Asp Phe Gln
195 200 205

Val Trp Tyr Gly Asp Pro Asp Lys Asp His Gly Asn Ala Thr Leu Glu
210 215 220

Gly Gly Asp Val Met Pro Val Gly Lys Gly Ile Val Leu Ile Gly Met
225 230 235 240

Gly Glu Arg Thr Ser Arg His Ala Ile Gly Gln Leu Ala Gln Asn Leu
245 250 255

Phe Glu Lys Gly Ala Ala Glu Lys Ile Ile Val Ala Gly Leu Pro Lys
260 265 270

Ser Arg Ala Ala Met His Leu Asp Thr Val Phe Ser Phe Cys Asp Arg
275 280 285

Asp Leu Val Thr Val Phe Pro Glu Val Val Lys Glu Ile Lys Pro Phe
290 295 300

Ile Ile Thr Pro Asp Ser Ser Lys Pro Tyr Gly Met Asn Ile Ala Pro
305 310 315 320

Gln Asp Ala Ser Phe Leu Glu Val Val Ser Glu Gln Leu Leu Gly Lys
325 330 335

Lys Asp Lys Leu Arg Val Val Glu Thr Gly Gly Asn Ser Phe Ala Ala
340 345 350

Glu Arg Glu Gln Trp Asp Asp Gly Asn Asn Val Val Ala Leu Glu Pro
355 360 365

Gly Val Val Ile Gly Tyr Asp Arg Asn Thr Tyr Thr Asn Thr Leu Leu
370 375 380

Arg Lys Ala Gly Ile Glu Val Ile Thr Ile Ser Ala Gly Glu Leu Gly
385 390 395 400

Arg Gly Arg Gly Gly Gly His Cys Met Thr Cys Pro Ile Val Arg Asp
405 410 415

Pro Ile Asp Tyr
420

<210> 34
<211> 418
<212> PRT
<213> Pseudomonas aeruginosa

<400> 34

Met Ser Thr Glu Lys Thr Lys Leu Gly Val His Ser Glu Ala Gly Lys
1 5 10 15

Leu Arg Lys Val Met Val Cys Ser Pro Gly Leu Ala His Gln Arg Leu
20 25 30

Thr Pro Ser Asn Cys Asp Glu Leu Leu Phe Asp Asp Val Ile Trp Val
35 40 45

Asn Gln Ala Lys Arg Asp His Phe Asp Phe Val Thr Lys Met Arg Glu

50

55

60

Arg Gly Ile Asp Val Leu Glu Met His Asn Leu Leu Thr Glu Thr Ile
65 70 75 80

Gln Asn Pro Glu Ala Leu Lys Trp Ile Leu Asp Arg Lys Ile Thr Ala
85 90 95

Asp Ser Val Gly Leu Gly Leu Thr Ser Glu Leu Arg Ser Trp Leu Glu
100 105 110

Ser Leu Glu Pro Arg Lys Leu Ala Glu Tyr Leu Ile Gly Gly Val Ala
115 120 125

Ala Asp Asp Leu Pro Ala Ser Glu Gly Ala Asn Ile Leu Lys Met Tyr
130 135 140

Arg Glu Tyr Leu Gly His Ser Ser Phe Leu Leu Pro Pro Leu Pro Asn
145 150 155 160

Thr Gln Phe Thr Arg Asp Thr Thr Cys Trp Ile Tyr Gly Val Thr
165 170 175

Leu Asn Pro Met Tyr Trp Pro Ala Arg Arg Gln Glu Thr Leu Leu Thr
180 185 190

Thr Ala Ile Tyr Lys Phe His Pro Glu Phe Ala Asn Ala Glu Phe Glu
195 200 205

Ile Trp Tyr Gly Asp Pro Asp Lys Asp His Gly Ser Ser Thr Leu Glu
210 215 220

Gly Gly Asp Val Met Pro Ile Gly Asn Gly Val Val Leu Ile Gly Met
225 230 235 240

Gly Glu Arg Ser Ser Arg Gln Ala Ile Gly Gln Val Ala Gln Ser Leu
245 250 255

Phe Ala Lys Gly Ala Ala Glu Arg Val Ile Val Ala Gly Leu Pro Lys
260 265 270

Ser Arg Ala Ala Met His Leu Asp Thr Val Phe Ser Phe Cys Asp Arg
275 280 285

Asp Leu Val Thr Val Phe Pro Glu Val Val Lys Glu Ile Val Pro Phe
290 295 300

Ser Leu Arg Pro Asp Pro Ser Ser Pro Tyr Gly Met Asn Ile Arg Arg

305 310 315 320

Glu Glu Lys Thr Phe Leu Glu Val Val Ala Glu Ser Leu Gly Leu Lys
325 330 335

Lys Leu Arg Val Val Glu Thr Gly Gly Asn Ser Phe Ala Ala Glu Arg
340 345 350

Glu Gln Trp Asp Asp Gly Asn Asn Val Val Cys Leu Glu Pro Gly Val
355 360 365

Val Val Gly Tyr Asp Arg Asn Thr Tyr Thr Asn Thr Leu Leu Arg Lys
370 375 380

Ala Gly Val Glu Val Ile Thr Ile Ser Ala Ser Glu Leu Gly Arg Gly
385 390 395 400

Arg Gly Gly His Cys Met Thr Cys Pro Ile Val Arg Asp Pro Ile
405 410 415

Asp Tyr

<210> 35
<211> 409
<212> PRT
<213> Streptococcus pneumoniae

<400> 35

Met Ser Ser His Pro Ile Gln Val Phe Ser Glu Ile Gly Lys Leu Lys
1 5 10 15

Lys Val Met Leu His Arg Pro Gly Lys Glu Leu Glu Asn Leu Leu Pro
20 25 30

Asp Tyr Leu Glu Arg Leu Leu Phe Asp Asp Ile Pro Phe Leu Glu Asp
35 40 45

Ala Gln Lys Glu His Asp Ala Phe Ala Gln Ala Leu Arg Asp Glu Gly
50 55 60

Ile Glu Val Leu Tyr Leu Glu Gln Leu Ala Ala Glu Ser Leu Thr Ser
65 70 75 80

Pro Glu Ile Arg Asp Gln Phe Ile Glu Glu Tyr Leu Asp Glu Ala Asn
85 90 95

Ile Arg Asp Arg Gln Thr Lys Val Ala Ile Arg Glu Leu Leu His Gly
100 105 110

Ile Lys Asp Asn Gln Glu Leu Val Glu Lys Thr Met Ala Gly Ile Gln
115 120 125

Lys Val Glu Leu Pro Glu Ile Pro Asp Glu Ala Lys Asp Leu Thr Asp
130 135 140

Leu Val Glu Ser Asp Tyr Pro Phe Ala Ile Asp Pro Met Pro Asn Leu
145 150 155 160

Tyr Phe Thr Arg Asp Pro Phe Ala Thr Ile Gly Asn Ala Val Ser Leu
165 170 175

Asn His Met Phe Ala Asp Thr Arg Asn Arg Glu Thr Leu Tyr Gly Lys
180 185 190

Tyr Ile Phe Lys Tyr His Pro Ile Tyr Gly Gly Lys Val Asp Leu Val
195 200 205

Tyr Asn Arg Glu Glu Asp Thr Arg Ile Glu Gly Gly Asp Glu Leu Val
210 215 220

Leu Ser Lys Asp Val Leu Ala Val Gly Ile Ser Gln Arg Thr Asp Ala
225 230 235 240

Ala Ser Ile Glu Lys Leu Leu Val Asn Ile Phe Lys Lys Asn Val Gly
245 250 255

Phe Lys Lys Val Leu Ala Phe Glu Phe Ala Asn Asn Arg Lys Phe Met
260 265 270

His Leu Asp Thr Val Phe Thr Met Val Asp Tyr Asp Lys Phe Thr Ile
275 280 285

His Pro Glu Ile Glu Gly Asp Leu His Val Tyr Ser Val Thr Tyr Glu
290 295 300

Asn Glu Lys Leu Lys Ile Val Glu Glu Lys Gly Asp Leu Ala Glu Leu
305 310 315 320

Leu Ala Gln Asn Leu Gly Val Glu Lys Val His Leu Ile Arg Cys Gly
325 330 335

Gly Gly Asn Ile Val Ala Ala Arg Glu Gln Trp Asn Asp Gly Ser
340 345 350

Asn Thr Leu Thr Ile Ala Pro Gly Val Val Val Val Tyr Asp Arg Asn
355 360 365

Thr Val Thr Asn Lys Ile Leu Glu Glu Tyr Gly Leu Arg Leu Ile Lys
370 375 380

Ile Arg Gly Ser Glu Leu Val Arg Gly Arg Gly Pro Arg Cys Met
385 390 395 400

Ser Met Pro Phe Glu Arg Glu Glu Val
405

<210> 36
<211> 467
<212> PRT
<213> Artificial Sequence

<220>
<223> ABD1, synthesized in lab

<400> 36

Met Ser Val Phe Asp Ser Lys Phe Lys Gly Ile His Val Tyr Ser Glu
1 5 10 15

Ile Gly Glu Leu Glu Ser Val Leu Val His Glu Pro Gly Arg Glu Ile
20 25 30

Asp Tyr Ile Thr Pro Ala Arg Leu Asp Glu Leu Leu Phe Ser Ala Ile
35 40 45

Leu Glu Ser His Asp Ala Arg Lys Glu His Lys Gln Phe Val Ala Glu
50 55 60

Leu Lys Ala Asn Asp Ile Asn Val Val Glu Leu Ile Asp Leu Val Ala
65 70 75 80

Glu Thr Tyr Asp Leu Ala Ser Gln Glu Ala Lys Asp Lys Leu Ile Glu
85 90 95

Glu Phe Leu Glu Asp Ser Glu Pro Val Leu Ser Glu Glu His Lys Val
100 105 110

Val Val Arg Asn Phe Leu Lys Ala Lys Lys Thr Ser Arg Glu Leu Val
115 120 125

Glu Ile Met Met Ala Gly Ile Thr Lys Tyr Asp Leu Gly Ile Glu Ala
130 135 140

Asp His Glu Leu Ile Val Asp Pro Met Pro Asn Leu Tyr Phe Thr Arg
145 150 155 160

Asp Pro Phe Ala Ser Val Gly Asn Gly Val Thr Ile His Tyr Met Arg
165 170 175

Tyr Lys Val Arg Gln Arg Glu Thr Leu Phe Ser Arg Phe Val Phe Ser
180 185 190

Asn His Pro Lys Leu Ile Asn Thr Pro Trp Tyr Tyr Asp Pro Ser Leu
195 200 205

Lys Leu Ser Ile Glu Gly Gly Asp Val Phe Ile Tyr Asn Asn Asp Thr
210 215 220

Leu Val Val Gly Val Ser Glu Arg Thr Asp Leu Gln Thr Val Thr Leu
225 230 235 240

Leu Ala Lys Asn Ile Val Ala Asn Lys Glu Cys Glu Phe Lys Arg Ile
245 250 255

Val Ala Ile Asn Val Pro Lys Trp Thr Asn Leu Met His Leu Asp Thr
260 265 270

Trp Leu Thr Met Leu Asp Lys Asp Lys Phe Leu Tyr Ser Pro Ile Ala
275 280 285

Asn Asp Val Phe Lys Phe Trp Asp Tyr Asp Leu Val Asn Gly Gly Ala
290 295 300

Glu Pro Gln Pro Val Glu Asn Gly Leu Pro Leu Glu Gly Leu Leu Gln
305 310 315 320

Ser Ile Ile Asn Lys Lys Pro Val Leu Ile Pro Ile Ala Gly Glu Gly
325 330 335

Ala Ser Gln Met Glu Ile Glu Arg Glu Thr His Phe Asp Gly Thr Asn
340 345 350

Tyr Leu Ala Ile Arg Pro Gly Val Val Ile Gly Tyr Ser Arg Asn Glu
355 360 365

Lys Thr Asn Ala Ala Leu Glu Ala Ala Gly Ile Lys Val Leu Pro Phe
370 375 380

His Gly Asn Gln Leu Ser Leu Gly Met Gly Asn Ala Arg Cys Met Ser
385 390 395 400

Met Pro Leu Ser Arg Lys Asp Val Lys Trp Gly Ser His His His His
405 410 415

His His Ala Asn Ser Leu Ala Glu Ala Lys Val Leu Ala Asn Arg Glu
420 425 430

Leu Asp Lys Tyr Gly Val Ser Asp Phe Tyr Lys Arg Leu Ile Asn Lys
435 440 445

Ala Lys Thr Val Glu Gly Val Glu Ala Leu Lys Leu His Ile Leu Ala
450 455 460

Ala Leu Pro
465

<210> 37
<211> 467
<212> PRT
<213> Artificial Sequence

<220>
<223> ABD, synthesized in lab

<400> 37

Met Ser Val Phe Asp Ser Lys Phe Lys Gly Ile His Val Tyr Ser Glu
1 5 10 15

Ile Gly Glu Leu Glu Ser Val Leu Val His Glu Pro Gly Arg Glu Ile
20 25 30

Asp Tyr Ile Thr Pro Ala Arg Leu Asp Glu Leu Leu Phe Ser Ala Ile
35 40 45

Leu Glu Ser His Asp Ala Arg Lys Glu His Lys Gln Phe Val Ala Glu
50 55 60

Leu Lys Ala Asn Asp Ile Asn Val Val Glu Leu Ile Asp Leu Val Ala
65 70 75 80

Glu Thr Tyr Asp Leu Ala Ser Gln Glu Ala Lys Asp Lys Leu Ile Glu
85 90 95

Glu Phe Leu Glu Asp Ser Glu Pro Val Leu Ser Glu Glu His Lys Val
100 105 110

Val Val Arg Asn Phe Leu Lys Ala Lys Lys Thr Ser Arg Glu Leu Val
115 120 125

Glu Ile Met Met Ala Gly Ile Thr Lys Tyr Asp Leu Gly Ile Glu Ala
130 135 140

Asp His Glu Leu Ile Val Asp Pro Met Pro Asn Leu Tyr Phe Thr Arg
145 150 155 160

Asp Pro Phe Ala Ser Val Gly Asn Gly Val Thr Ile His Tyr Met Arg
165 170 175

Tyr Lys Val Arg Gln Arg Glu Thr Leu Phe Ser Arg Phe Val Phe Ser
180 185 190

Asn His Pro Lys Leu Ile Asn Thr Pro Trp Tyr Tyr Asp Pro Ser Leu
195 200 205

Lys Leu Ser Ile Glu Gly Gly Asp Val Phe Ile Tyr Asn Asn Asp Thr
210 215 220

Leu Val Val Gly Val Ser Glu Arg Thr Asp Leu Gln Thr Val Thr Leu
225 230 235 240

Leu Ala Lys Asn Ile Val Ala Asn Lys Glu Cys Glu Phe Lys Arg Ile
245 250 255

Val Ala Ile Asn Val Pro Lys Trp Thr Asn Leu Met His Leu Asp Thr
260 265 270

Trp Leu Thr Met Leu Asp Lys Asp Lys Phe Leu Tyr Ser Pro Ile Ala
275 280 285

Asn Asp Val Phe Lys Phe Trp Asp Tyr Asp Leu Val Asn Gly Gly Ala
290 295 300

Glu Pro Gln Pro Val Glu Asn Gly Leu Pro Leu Glu Gly Leu Leu Gln
305 310 315 320

Ser Ile Ile Asn Lys Lys Pro Val Leu Ile Pro Ile Ala Gly Glu Gly
325 330 335

Ala Ser Gln Met Glu Ile Glu Arg Glu Thr His Phe Asp Gly Thr Asn
340 345 350

Tyr Leu Ala Ile Arg Pro Gly Val Val Ile Gly Tyr Ser Arg Asn Glu
355 360 365

Lys Thr Asn Ala Ala Leu Glu Ala Ala Gly Ile Lys Val Leu Pro Phe
370 375 380

His Gly Asn Gln Leu Ser Leu Gly Met Gly Asn Ala Arg Cys Met Ser
385 390 395 400

Met Pro Leu Ser Arg Lys Asp Val Lys Trp Ala Gln His Asp Glu Ala
405 410 415

Val Asp Ala Asn Ser Leu Ala Glu Ala Lys Val Leu Ala Asn Arg Glu
420 425 430

Leu Asp Lys Tyr Gly Val Ser Asp Tyr Tyr Lys Asn Leu Ile Asn Asn
435 440 445

Ala Lys Thr Val Glu Gly Val Lys Ala Leu Ile Asp Glu Ile Leu Ala
450 455 460

Ala Leu Pro
465

<210> 38
<211> 473
<212> PRT
<213> Artificial Sequence

<220>
<223> ABD, synthesized in lab

<400> 38

Met Ser Val Phe Asp Ser Lys Phe Lys Gly Ile His Val Tyr Ser Glu
1 5 10 15

Ile Gly Glu Leu Glu Ser Val Leu Val His Glu Pro Gly Arg Glu Ile
20 25 30

Asp Tyr Ile Thr Pro Ala Arg Leu Asp Glu Leu Leu Phe Ser Ala Ile
35 40 45

Leu Glu Ser His Asp Ala Arg Lys Glu His Lys Gln Phe Val Ala Glu
50 55 60

Leu Lys Ala Asn Asp Ile Asn Val Val Glu Leu Ile Asp Leu Val Ala
65 70 75 80

Glu Thr Tyr Asp Leu Ala Ser Gln Glu Ala Lys Asp Lys Leu Ile Glu
85 90 95

Glu Phe Leu Glu Asp Ser Glu Pro Val Leu Ser Glu Glu His Lys Val
100 105 110

Val Val Arg Asn Phe Leu Lys Ala Lys Lys Thr Ser Arg Glu Leu Val
115 120 125

Glu Ile Met Met Ala Gly Ile Thr Lys Tyr Asp Leu Gly Ile Glu Ala
130 135 140

Asp His Glu Leu Ile Val Asp Pro Met Pro Asn Leu Tyr Phe Thr Arg
145 150 155 160

Asp Pro Phe Ala Ser Val Gly Asn Gly Val Thr Ile His Tyr Met Arg
165 170 175

Tyr Lys Val Arg Gln Arg Glu Thr Leu Phe Ser Arg Phe Val Phe Ser
180 185 190

Asn His Pro Lys Leu Ile Asn Thr Pro Trp Tyr Tyr Asp Pro Ser Leu
195 200 205

Lys Leu Ser Ile Glu Gly Gly Asp Val Phe Ile Tyr Asn Asn Asp Thr
210 215 220

Leu Val Val Gly Val Ser Glu Arg Thr Asp Leu Gln Thr Val Thr Leu
225 230 235 240

Leu Ala Lys Asn Ile Val Ala Asn Lys Glu Cys Glu Phe Lys Arg Ile
245 250 255

Val Ala Ile Asn Val Pro Lys Trp Thr Asn Leu Met His Leu Asp Thr
260 265 270

Trp Leu Thr Met Leu Asp Lys Asp Lys Phe Leu Tyr Ser Pro Ile Ala
275 280 285

Asn Asp Val Phe Lys Phe Trp Asp Tyr Asp Leu Val Asn Gly Gly Ala
290 295 300

Glu Pro Gln Pro Val Glu Asn Gly Leu Pro Leu Glu Gly Leu Leu Gln
305 310 315 320

Ser Ile Ile Asn Lys Lys Pro Val Leu Ile Pro Ile Ala Gly Glu Gly
325 330 335

Ala Ser Gln Met Glu Ile Glu Arg Glu Thr His Phe Asp Gly Thr Asn
340 345 350

Tyr Leu Ala Ile Arg Pro Gly Val Val Ile Gly Tyr Ser Arg Asn Glu
355 360 365

Lys Thr Asn Ala Ala Leu Glu Ala Ala Gly Ile Lys Val Leu Pro Phe
370 375 380

His Gly Asn Gln Leu Ser Leu Gly Met Gly Asn Ala Arg Cys Met Ser
385 390 395 400

Met Pro Leu Ser Arg Lys Asp Val Lys Trp His His His His His
405 410 415

Ala Gln His Asp Glu Ala Val Asp Ala Asn Ser Leu Ala Glu Ala Lys
420 425 430

Val Leu Ala Asn Arg Glu Leu Asp Lys Tyr Gly Val Ser Asp Tyr Tyr
435 440 445

Lys Asn Leu Ile Asn Asn Ala Lys Thr Val Glu Gly Val Lys Ala Leu
450 455 460

Ile Asp Glu Ile Leu Ala Ala Leu Pro
465 470

<210> 39

<211> 473

<212> PRT

<213> Artificial Sequence

<220>

<223> ABD, synthesized in lab

<400> 39

Met Ser Val Phe Asp Ser Lys Phe Lys Gly Ile His Val Tyr Ser Glu
1 5 10 15

Ile Gly Glu Leu Glu Ser Val Leu Val His Glu Pro Gly Arg Glu Ile
20 25 30

Asp Tyr Ile Thr Pro Ala Arg Leu Asp Glu Leu Leu Phe Ser Ala Ile
35 40 45

Leu Glu Ser His Asp Ala Arg Lys Glu His Lys Gln Phe Val Ala Glu
50 55 60

Leu Lys Ala Asn Asp Ile Asn Val Val Glu Leu Ile Asp Leu Val Ala
65 70 75 80

Glu Thr Tyr Asp Leu Ala Ser Gln Glu Ala Lys Asp Lys Leu Ile Glu
85 90 95

Glu Phe Leu Glu Asp Ser Glu Pro Val Leu Ser Glu Glu His Lys Val
100 105 110

Val Val Arg Asn Phe Leu Lys Ala Lys Lys Thr Ser Arg Glu Leu Val
115 120 125

Glu Ile Met Met Ala Gly Ile Thr Lys Tyr Asp Leu Gly Ile Glu Ala
130 135 140

Asp His Glu Leu Ile Val Asp Pro Met Pro Asn Leu Tyr Phe Thr Arg
145 150 155 160

Asp Pro Phe Ala Ser Val Gly Asn Gly Val Thr Ile His Tyr Met Arg
165 170 175

Tyr Lys Val Arg Gln Arg Glu Thr Leu Phe Ser Arg Phe Val Phe Ser
180 185 190

Asn His Pro Lys Leu Ile Asn Thr Pro Trp Tyr Tyr Asp Pro Ser Leu
195 200 205

Lys Leu Ser Ile Glu Gly Gly Asp Val Phe Ile Tyr Asn Asn Asp Thr
210 215 220

Leu Val Val Gly Val Ser Glu Arg Thr Asp Leu Gln Thr Val Thr Leu
225 230 235 240

Leu Ala Lys Asn Ile Val Ala Asn Lys Glu Cys Glu Phe Lys Arg Ile
245 250 255

Val Ala Ile Asn Val Pro Lys Trp Thr Asn Leu Met His Leu Asp Thr
260 265 270

Trp Leu Thr Met Leu Asp Lys Asp Lys Phe Leu Tyr Ser Pro Ile Ala
275 280 285

Asn Asp Val Phe Lys Phe Trp Asp Tyr Asp Leu Val Asn Gly Gly Ala
290 295 300

Glu Pro Gln Pro Val Glu Asn Gly Leu Pro Leu Glu Gly Leu Leu Gln
305 310 315 320

Ser Ile Ile Asn Lys Lys Pro Val Leu Ile Pro Ile Ala Gly Glu Gly
325 330 335

Ala Ser Gln Met Glu Ile Glu Arg Glu Thr His Phe Asp Gly Thr Asn
340 345 350

Tyr Leu Ala Ile Arg Pro Gly Val Val Ile Gly Tyr Ser Arg Asn Glu
355 360 365

Lys Thr Asn Ala Ala Leu Glu Ala Ala Gly Ile Lys Val Leu Pro Phe
370 375 380

His Gly Asn Gln Leu Ser Leu Gly Met Gly Asn Ala Arg Cys Met Ser
385 390 395 400

Met Pro Leu Ser Arg Lys Asp Val Lys Trp Ala Gln His Asp Glu Ala
405 410 415

Val Asp Ala Asn Ser Leu Ala Glu Ala Lys Val Leu Ala Asn Arg Glu
420 425 430

Leu Asp Lys Tyr Gly Val Ser Asp Tyr Tyr Lys Asn Leu Ile Asn Asn
435 440 445

Ala Lys Thr Val Glu Gly Val Lys Ala Leu Ile Asp Glu Ile Leu Ala
450 455 460

Ala Leu Pro His His His His His
465 470

<210> 40
<211> 483
<212> PRT
<213> Artificial Sequence

<220>
<223> ABD, synthesized in lab

<400> 40

Met His His His His His Asp Glu Ala Val Asp Ala Asn Ser Leu
1 5 10 15

Ala Glu Ala Lys Val Leu Ala Asn Arg Glu Leu Asp Lys Tyr Gly Val
20 25 30

Ser Asp Tyr Tyr Lys Asn Leu Ile Asn Asn Ala Lys Thr Val Glu Gly
35 40 45

Val Lys Ala Leu Ile Asp Glu Ile Leu Ala Ala Leu Pro Ser Gly Ser
50 55 60

Asn Asn Asn Asn Asn Asn Gly Ser Gly Gly Ser Val Phe Asp Ser Lys
65 70 75 80

Phe Lys Gly Ile His Val Tyr Ser Glu Ile Gly Glu Leu Glu Ser Val
85 90 95

Leu Val His Glu Pro Gly Arg Glu Ile Asp Tyr Ile Thr Pro Ala Arg
100 105 110

Leu Asp Glu Leu Leu Phe Ser Ala Ile Leu Glu Ser His Asp Ala Arg
115 120 125

Lys Glu His Lys Gln Phe Val Ala Glu Leu Lys Ala Asn Asp Ile Asn
130 135 140

Val Val Glu Leu Ile Asp Leu Val Ala Glu Thr Tyr Asp Leu Ala Ser
145 150 155 160

Gln Glu Ala Lys Asp Lys Leu Ile Glu Glu Phe Leu Glu Asp Ser Glu
165 170 175

Pro Val Leu Ser Glu Glu His Lys Val Val Val Arg Asn Phe Leu Lys
180 185 190

Ala Lys Lys Thr Ser Arg Glu Leu Val Glu Ile Met Met Ala Gly Ile
195 200 205

Thr Lys Tyr Asp Leu Gly Ile Glu Ala Asp His Glu Leu Ile Val Asp
210 215 220

Pro Met Pro Asn Leu Tyr Phe Thr Arg Asp Pro Phe Ala Ser Val Gly
225 230 235 240

Asn Gly Val Thr Ile His Tyr Met Arg Tyr Lys Val Arg Gln Arg Glu
245 250 255

Thr Leu Phe Ser Arg Phe Val Phe Ser Asn His Pro Lys Leu Ile Asn
260 265 270

Thr Pro Trp Tyr Tyr Asp Pro Ser Leu Lys Leu Ser Ile Glu Gly Gly
275 280 285

Asp Val Phe Ile Tyr Asn Asn Asp Thr Leu Val Val Gly Val Ser Glu
290 295 300

Arg Thr Asp Leu Gln Thr Val Thr Leu Leu Ala Lys Asn Ile Val Ala
305 310 315 320

Asn Lys Glu Cys Glu Phe Lys Arg Ile Val Ala Ile Asn Val Pro Lys
325 330 335

Trp Thr Asn Leu Met His Leu Asp Thr Trp Leu Thr Met Leu Asp Lys
340 345 350

Asp Lys Phe Leu Tyr Ser Pro Ile Ala Asn Asp Val Phe Lys Phe Trp
355 360 365

Asp Tyr Asp Leu Val Asn Gly Gly Ala Glu Pro Gln Pro Val Glu Asn
370 375 380

Gly Leu Pro Leu Glu Gly Leu Leu Gln Ser Ile Ile Asn Lys Lys Pro
385 390 395 400

Val Leu Ile Pro Ile Ala Gly Glu Gly Ala Ser Gln Met Glu Ile Glu
405 410 415

Arg Glu Thr His Phe Asp Gly Thr Asn Tyr Leu Ala Ile Arg Pro Gly
420 425 430

Val Val Ile Gly Tyr Ser Arg Asn Glu Lys Thr Asn Ala Ala Leu Glu
435 440 445

Ala Ala Gly Ile Lys Val Leu Pro Phe His Gly Asn Gln Leu Ser Leu
450 455 460

Gly Met Gly Asn Ala Arg Cys Met Ser Met Pro Leu Ser Arg Lys Asp
465 470 475 480

Val Lys Trp

<210> 41
<211> 506
<212> PRT
<213> Artificial Sequence

<220>
<223> His-ABD-PolyN-bcADI, synthesized in lab

<400> 41

Met Gly His His His His His Asp Glu Ala Val Asp Ala Asn Ser
1 5 10 15

Leu Ala Glu Ala Lys Val Leu Ala Asn Arg Glu Leu Asp Lys Tyr Gly
20 25 30

Val Ser Asp Tyr Tyr Lys Asn Leu Ile Asn Asn Ala Lys Thr Val Glu
35 40 45

Gly Val Lys Ala Leu Ile Asp Glu Ile Leu Ala Ala Leu Pro Ser Gly
50 55 60

Ser Asn Asn Asn Asn Asn Gly Ser Gly Lys His Pro Ile His
65 70 75 80

Val Thr Ser Glu Ile Gly Glu Leu Gln Thr Val Leu Leu Lys Arg Pro
85 90 95

Gly Lys Glu Val Glu Asn Leu Thr Pro Asp Tyr Leu Gln Gln Leu Leu
100 105 110

Phe Asp Asp Ile Pro Tyr Leu Pro Ile Ile Gln Lys Glu His Asp Tyr
115 120 125

Phe Ala Gln Thr Leu Arg Asn Arg Gly Val Glu Val Leu Tyr Leu Glu
130 135 140

Lys Leu Ala Ala Glu Ala Leu Val Asp Lys Lys Leu Arg Glu Glu Phe
145 150 155 160

Val Asp Arg Ile Leu Lys Glu Gly Gln Ala Asp Val Asn Val Ala His
165 170 175

Gln Thr Leu Lys Glu Tyr Leu Leu Ser Phe Ser Asn Glu Glu Leu Ile
180 185 190

Gln Lys Ile Met Glu Thr Gly Gly Val Arg Lys Asn Glu Ile Glu Thr
195 200 205

Ser Lys Lys Thr His Leu Tyr Glu Leu Met Glu Thr Glu Asp His Tyr
210 215 220

Pro Phe Tyr Leu Asp Pro Met Glu Thr Pro Asn Leu Tyr Phe Thr Arg
225 230 235 240

Asp Pro Ala Ala Ser Val Gly Asp Gly Leu Thr Ile Asn Lys Met Glu
245 250 255

Thr Arg Glu Pro Ala Arg Arg Glu Ser Leu Phe Met Glu Thr Glu
260 265 270

Tyr Ile Ile Lys Tyr His Pro Arg Phe Glu Lys His Asn Val Pro Ile
275 280 285

Trp Leu Asp Arg Asp Tyr Lys Phe Pro Ile Glu Gly Asp Glu Leu
290 295 300

Ile Leu Asn Glu Glu Thr Ile Ala Ile Gly Val Ser Ala Arg Thr Ser
305 310 315 320

Ala Lys Ala Ile Glu Arg Leu Ala Lys Asn Leu Phe Ser Arg Gln Asn
325 330 335

Lys Ile Lys Lys Val Leu Ala Ile Glu Ile Pro Lys Cys Arg Ala Phe
340 345 350

Met Glu Thr His Leu Asp Thr Val Phe Thr Met Glu Thr Val Asp Tyr
355 360 365

Asp Lys Phe Thr Ile His Pro Ala Ile Gln Gly Pro Lys Gly Asn Met
370 375 380

Glu Thr Asn Ile Tyr Ile Leu Glu Lys Gly Ser Asp Glu Glu Thr Leu
385 390 395 400

Lys Ile Thr His Arg Thr Ser Leu Met Glu Thr Glu Ala Leu Lys Glu
405 410 415

Val Leu Gly Leu Ser Glu Leu Val Leu Ile Pro Cys Gly Gly Asp
420 425 430

Val Ile Ala Ser Ala Arg Glu Gln Trp Asn Asp Gly Ser Asn Thr Leu
435 440 445

Ala Ile Ala Pro Gly Val Val Val Thr Tyr Asp Arg Asn Tyr Val Ser
450 455 460

Asn Thr Leu Leu Arg Glu His Gly Ile Glu Val Ile Glu Val Leu Ser
465 470 475 480

Ser Glu Leu Ser Arg Gly Arg Gly Pro Arg Cys Met Glu Thr Ser
485 490 495

Met Glu Thr Pro Ile Val Arg Lys Asp Ile
500 505

<210> 42
<211> 335
<212> PRT
<213> Artificial Sequence

<220>
<223> ABD-Intein-CBD, synthesized in lab

<400> 42

Met Ala Gln His Asp Glu Ala Val Asp Ala Asn Ser Leu Ala Glu Ala
1 5 10 15

Lys Val Leu Ala Asn Arg Glu Leu Asp Lys Tyr Gly Val Ser Asp Tyr
20 25 30

Tyr Lys Asn Leu Ile Asn Asn Ala Lys Thr Val Glu Gly Val Lys Ala
35 40 45

Leu Ile Asp Glu Ile Leu Ala Ala Leu Pro Glu Phe Leu Glu Gly Ser
50 55 60

Ser Cys Ile Thr Gly Asp Ala Leu Val Ala Leu Pro Glu Gly Glu Ser
65 70 75 80

Val Arg Ile Ala Asp Ile Val Pro Gly Ala Arg Pro Asn Ser Asp Asn
85 90 95

Ala Ile Asp Leu Lys Val Leu Asp Arg His Gly Asn Pro Val Leu Ala
100 105 110

Asp Arg Leu Phe His Ser Gly Glu His Pro Val Tyr Thr Val Arg Thr
115 120 125

Val Glu Gly Leu Arg Val Thr Gly Thr Ala Asn His Pro Leu Leu Cys
130 135 140

Leu Val Asp Val Ala Gly Val Pro Thr Leu Leu Trp Lys Leu Ile Asp
145 150 155 160

Glu Ile Lys Pro Gly Asp Tyr Ala Val Ile Gln Arg Ser Ala Phe Ser
165 170 175

Val Asp Cys Ala Gly Phe Ala Arg Gly Lys Pro Glu Phe Ala Pro Thr
180 185 190

Thr Tyr Thr Val Gly Val Pro Gly Leu Val Arg Phe Leu Glu Ala His
195 200 205

His Arg Asp Pro Asp Ala Gln Ala Ile Ala Asp Glu Leu Thr Asp Gly
210 215 220

Arg Phe Tyr Tyr Ala Lys Val Ala Ser Val Thr Asp Ala Gly Val Gln
225 230 235 240

Pro Val Tyr Ser Leu Arg Val Asp Thr Ala Asp His Ala Phe Ile Thr
245 250 255

Asn Gly Phe Val Ser His Ala Thr Gly Leu Thr Gly Leu Asn Ser Gly
260 265 270

Leu Thr Thr Asn Pro Gly Val Ser Ala Trp Gln Val Asn Thr Ala Tyr
275 280 285

Thr Ala Gly Gln Leu Val Thr Tyr Asn Gly Lys Thr Tyr Lys Cys Leu
290 295 300

Gln Pro His Thr Ser Leu Ala Gly Trp Glu Pro Ser Asn Val Pro Ala
305 310 315 320

Leu Trp Gln Leu Gln Gly Asp Pro Ile Thr Ile Thr Ile Thr Lys
325 330 335

<210> 43
<211> 636
<212> PRT
<213> Artificial Sequence

<220>
<223> CBD-Intein-ADI, synthesized in lab

<400> 43

Met Lys Ile Glu Glu Gly Lys Leu Thr Asn Pro Gly Val Ser Ala Trp
1 5 10 15

Gln Val Asn Thr Ala Tyr Thr Ala Gly Gln Leu Val Thr Tyr Asn Gly
20 25 30

Lys Thr Tyr Lys Cys Leu Gln Pro His Thr Ser Leu Ala Gly Trp Glu
35 40 45

Pro Ser Asn Val Pro Ala Leu Trp Gln Leu Gln Asn Asn Gly Asn Asn
50 55 60

Gly Leu Glu Leu Arg Glu Ser Gly Ala Ile Ser Gly Asp Ser Leu Ile
65 70 75 80

Ser Leu Ala Ser Thr Gly Lys Arg Val Ser Ile Lys Asp Leu Leu Asp
85 90 95

Glu Lys Asp Phe Glu Ile Trp Ala Ile Asn Glu Gln Thr Met Lys Leu
100 105 110

Glu Ser Ala Lys Val Ser Arg Val Phe Cys Thr Gly Lys Lys Leu Val
115 120 125

Tyr Ile Leu Lys Thr Arg Leu Gly Arg Thr Ile Lys Ala Thr Ala Asn
130 135 140

His Arg Phe Leu Thr Ile Asp Gly Trp Lys Arg Leu Asp Glu Leu Ser
145 150 155 160

Leu Lys Glu His Ile Ala Leu Pro Arg Lys Leu Glu Ser Ser Ser Leu
165 170 175

Gln Leu Ser Pro Glu Ile Glu Lys Leu Ser Gln Ser Asp Ile Tyr Trp
180 185 190

Asp Ser Ile Val Ser Ile Thr Glu Thr Gly Val Glu Glu Val Phe Asp
195 200 205

Leu Thr Val Pro Gly Pro His Asn Phe Val Ala Asn Asp Ile Ile Val
210 215 220

His Asn Cys Ser Val Phe Asp Ser Lys Phe Lys Gly Ile His Val Tyr
225 230 235 240

Ser Glu Ile Gly Glu Leu Glu Ser Val Leu Val His Glu Pro Gly Arg
245 250 255

Glu Ile Asp Tyr Ile Thr Pro Ala Arg Leu Asp Glu Leu Cys Phe Ser
260 265 270

Ala Ile Leu Glu Ser His Asp Ala Arg Lys Glu His Lys Gln Phe Val
275 280 285

Ala Glu Leu Lys Ala Asn Asp Ile Asn Val Val Glu Leu Ile Asp Leu
290 295 300

Val Ala Glu Thr Tyr Asp Leu Ala Ser Gln Glu Ala Lys Asp Lys Leu
305 310 315 320

Ile Glu Glu Phe Leu Glu Asp Ser Glu Pro Val Leu Ser Glu Glu His
325 330 335

Lys Val Val Val Arg Asn Phe Leu Lys Ala Lys Lys Thr Ser Arg Glu
340 345 350

Leu Val Glu Ile Met Met Ala Gly Ile Thr Lys Tyr Asp Leu Gly Ile
355 360 365

Glu Ala Asp His Glu Leu Ile Val Asp Pro Met Pro Asn Leu Tyr Phe
370 375 380

Thr Arg Asp Pro Phe Ala Ser Val Gly Asn Gly Val Thr Ile His Tyr
385 390 395 400

Met Arg Tyr Lys Val Arg Gln Arg Glu Thr Leu Phe Ser Arg Phe Val
405 410 415

Phe Ser Asn His Pro Lys Leu Ile Asn Thr Pro Trp Tyr Tyr Asp Pro
420 425 430

Ser Leu Lys Leu Ser Ile Ala Gly Gly Asp Val Phe Ile Tyr Asn Asn
435 440 445

Asp Thr Leu Val Val Gly Val Ser Glu Arg Thr Asp Leu Gln Thr Val
450 455 460

Thr Leu Leu Ala Lys Asn Ile Val Ala Asn Lys Glu Ser Glu Phe Lys
465 470 475 480

Arg Ile Val Ala Ile Asn Val Pro Lys Trp Thr Asn Leu Met His Leu
485 490 495

Asp Thr Trp Leu Thr Met Leu Asp Lys Asp Lys Phe Leu Tyr Ser Pro
500 505 510

Ile Ala Asn Asp Val Phe Lys Phe Trp Asp Tyr Asp Leu Val Asn Gly
515 520 525

Gly Ala Glu Pro Gln Pro Val Glu Asn Gly Leu Pro Leu Glu Gly Leu
530 535 540

Leu Gln Ser Ile Ile Asn Lys Lys Pro Val Leu Ile Pro Ile Ala Gly
545 550 555 560

Glu Gly Ala Ser Gln Met Glu Ile Glu Arg Glu Thr His Phe Asp Gly
 565 570 575

Thr Asn Tyr Leu Ala Ile Arg Pro Gly Val Val Ile Gly Tyr Ser Arg
580 585 590

Asn Glu Lys Thr Asn Ala Ala Leu Glu Ala Ala Gly Ile Lys Val Leu
 595 600 605

Pro Phe His Gly Asn Gln Leu Ser Leu Gly Met Gly Asn Ala Arg Cys
610 615 620

Met Ser Met Pro Leu Ser Arg Lys Asp Val Lys Trp
625 630 635

```
<210> 44
<211> 1452
<212> DNA
<213> Artificial Sequence
```

<220>
<223> His-ABD-PolyN-ADI-DNA, synthesized in lab

ccaggacgcg aaattgacta tattacacca gctagactag atgaattatg cttctcagct	360
atcttagaaa gccacgatgc tagaaaagaa cacaaacaat tcgttagcaga attaaaagca	420
aacgacatca atgttgtga attaattgtat tttagtgctg aaacatatga ttttagcatca	480
caagaagcta aagacaaatt aatcgaagaa tttttagaag actcagaacc agttctatca	540
gaagaacaca aagtagtgtt aagaaacttc ttaaaagcta aaaaaacatc aagagaatta	600
gtagaaatca ttagggcagg gatcacaaaa tacgatttag gtatcgaagc agatcacgaa	660
ttaatcggtt acccaatgcc aaacctatac ttcacacgtg acccatttgc atcagtaggt	720
aatgggttaa caatccacta catgcgttac aaagtttagac aacgtgaaac attattctca	780
agatttgtat tctcaaatac ccctaaacta attaacactc catggacta cgacccttca	840
ctaaaattat caatcgcagg tggggacgta tttatctaca acaatgacac attagtagtt	900
ggtgtttctg aaagaactga cttacaaaca gttactttat tagctaaaaa cattgttgct	960
aataaaagaat ctgaattcaa acgtattgtt gcaattaacg ttccaaaatg gacaaactta	1020
atgcacttag acacatggct aacaatgtta gacaaggaca aattcctata ctcaccaatc	1080
gctaatgacg tatttaatt ctgggattat gacttagtaa acgggtggagc agaaccacaa	1140
ccagttgaaa acggattacc tctagaagga ttattacaat caatcattaa caaaaaacca	1200
gttttaattc ctatcgcagg tgaaggtgct tcacaaatgg aaatcgaaag agaaacacac	1260
ttcgatggta caaactactt agcaattaga ccaggtgttgc taattggtaa ctcacgtaac	1320
gaaaaaacaa acgctgctct agaagctgca ggcattaaag ttcttccatt ccacggtaac	1380
caattatcat taggtatggg taacgctcggttgtatgtcaatgccttatac acgtaaagat	1440
gttaagtggta aa	1452

<210> 45
 <211> 1455
 <212> DNA
 <213> Artificial Sequence

<220>
 <223> His-ABD-PolyN-bcADI-DNA, synthesized in lab

<400> 45	
atgggtcatc atcaccatca ccatgatgaa gccgtggatg cgaacagctt agctgaagct	60
aaagtcttag ctaacagaga acttgacaaa tatggagtaa gtgactatta caagaaccta	120
atcaacaatg ccaaaactgt tgaaggtgta aaagcactga tagatgaaat tttagctgca	180
ttaccttcgg gtagtaacaa caataataac aatggtagcg gcggtaaaca tccgatacat	240
gttacttcag aaattgggaa attacaaacg gttttattaa aacgaccggg taaagaagt	300
gaaaacttga cgccagatta tttgcagcaa ttattatttg acgatattcc atacctacca	360
attattcaaa aagagcatga ttatggca caaacgttac gcaatcgcccc tggtgaagtt	420

cgtttttagaaaaacttagc cgctgaggcg ttagtagata aaaaacttcg agaagaattt	480
gttgatcgta tttaaaaga aggacaggcc gacgtaaatg ttgcacatca aactttaaaa	540
gaatatttac ttccctttc aaatgaagaa ttaattcaaa aaattatggg cggtgtacgg	600
aaaaacgaaa ttgaaacaag taagaagaca catttatatg aattaatgga agatcattat	660
ccgttttact tagatccaat gcctaattta tattttactc gtgatccagc agctagcgtg	720
ggcgatggct taacgataaa taagatgaga gaaccagcgc gtagacgtga atcattattc	780
atggagtaca tcattaaata tcattccaaga tttgaaaaac ataatgtacc aatctggta	840
gatcggttatttcc aattgaaggt ggcgacgagc taattttaaa tgaagaaaca	900
attgcgatttgc gagtatctgc tcgtacttca gctaaagcaa ttgaacgttt agcaaaaaat	960
ctcttagcc gacaaaataa aattaagaaa gtgttagcaa tagaaattcc aaaatgccga	1020
gcatttatgc atttagatac agtatttaca atggttgatt atgataagtt tacaattcac	1080
ccagctattc aaggggccaaa agggaatatg aatatttata ttttagaaaa aggatcagat	1140
gaggaaactc ttaaaattac acatcgact tcttaatgg aagcattaaa agaggtatta	1200
ggcttaagtgc aatttagttct tattccatgt ggaggaggag atgtaattgc ttctgctcgt	1260
gaacaatggaa atgatggctc gaacacatta gcaatcgccg caggtgtagt tgttacatat	1320
gatcgcaact atgtatccaa tacgttatta cgggaacacg gtatagaagt gattgaggtg	1380
ctaagttcag aattatctcg tggtcgtggg ggtccacgtt gcatgagttat gccaaattgtt	1440
cgtttttagaaaaacttagc cgctgaggcg ttagtagata aaaaacttcg agaagaattt	1455

```
<210> 46
<211> 46
<212> PRT
<213> Artificial Sequence
```

<220>
<223> ABD without Linker, synthesized in lab

<400> 46

Leu Ala Glu Ala Lys Val Leu Ala Asn Arg Glu Leu Asp Lys Tyr Gly
1 5 10 15

Val Ser Asp Tyr Tyr Lys Asn Leu Ile Asn Asn Ala Lys Thr Val Glu
20 25 30

Gly Val Lys Ala Leu Ile Asp Glu Ile Leu Ala Ala Leu Pro
 35 40 45

<210> 47
<211> 57
<212> PRT
<213> Artificial Sequence

<220>

<223> ABD with Linker, synthesized in lab

<400> 47

Ala Gln His Asp Glu Ala Val Asp Ala Asn Ser Leu Ala Glu Ala Lys
1 5 10 15

Val Leu Ala Asn Arg Glu Leu Asp Lys Tyr Gly Val Ser Asp Tyr Tyr
20 25 30

Lys Asn Leu Ile Asn Asn Ala Lys Thr Val Glu Gly Val Lys Ala Leu
35 40 45

Ile Asp Glu Ile Leu Ala Ala Leu Pro
50 55

<210> 48

<211> 46

<212> PRT

<213> Artificial Sequence

<220>

<223> ABD1 without Linker, synthesized in lab

<400> 48

Leu Ala Glu Ala Lys Val Leu Ala Asn Arg Glu Leu Asp Lys Tyr Gly
1 5 10 15

Val Ser Asp Phe Tyr Lys Arg Leu Ile Asn Lys Ala Lys Thr Val Glu
20 25 30

Gly Val Glu Ala Leu Lys Leu His Ile Leu Ala Ala Leu Pro
35 40 45

<210> 49

<211> 57

<212> PRT

<213> Artificial Sequence

<220>

<223> ABD1 with Linker, synthesized in lab

<400> 49

Gly Ser His His His His His Ala Asn Ser Leu Ala Glu Ala Lys
1 5 10 15

Val Leu Ala Asn Arg Glu Leu Asp Lys Tyr Gly Val Ser Asp Phe Tyr
20 25 30

Lys Arg Leu Ile Asn Lys Ala Lys Thr Val Glu Gly Val Glu Ala Leu
35 40 45

Lys Leu His Ile Leu Ala Ala Leu Pro
50 55

<210> 50
<211> 11
<212> PRT
<213> Artificial Sequence

<220>
<223> Linker 1, synthesized in lab

<400> 50

Gly Ser His His His His His Ala Asn Ser
1 5 10

<210> 51
<211> 11
<212> PRT
<213> Artificial Sequence

<220>
<223> Linker 2, synthesized in lab

<400> 51

Ala Gln His Asp Glu Ala Val Asp Ala Asn Ser
1 5 10

<210> 52
<211> 8
<212> PRT
<213> Artificial Sequence

<220>
<223> Linker 3, synthesized in lab

<400> 52

Asp Glu Ala Val Asp Ala Asn Ser
1 5

<210> 53
<211> 4
<212> PRT
<213> Artificial Sequence

<220>
<223> Linker 5, synthesized in lab

<400> 53

Gly Ser Gly Gly
1

Формула изобретения

1. Гибридный белок альбумин-связывающей аргининдезиминазы, имеющий первый участок, содержащий один или два компонента, выбранных из альбумин-связывающей области, альбумин-связывающего пептида или альбумин-связывающего белка(-ов), гибридизированный со вторым участком, содержащим аргининдезиминазу, в результате чего образуется гибридный белок альбумин-связывающей аргининдезиминазы, и одну или несколько линкерных молекул; первый участок отделен от активного участка второго участка линкерной молекулой, гибридный белок альбумин-связывающей аргининдезиминазы сохраняет активность аргининдезиминазы и связывает сывороточный альбумин, и ни одной из функций одной части гибридного белка не препятствует другая часть гибридного белка, при этом гибридный белок альбумин-связывающей аргининдезиминазы содержит аминокислотную последовательность, выбранную из SEQ ID NO: 36, 37, 38, 39, 40 или 41.
2. Гибридный белок альбумин-связывающей аргининдезиминазы по п. 1, в котором два компонента являются одинаковыми.
3. Гибридный белок альбумин-связывающей аргининдезиминазы по п. 1, в котором два компонента являются различными.
4. Гибридный белок альбумин-связывающей аргининдезиминазы по п. 1, в котором альбумин-связывающей областью являются последовательности SEQ ID NO. 46, 47, 48, 49 или их активный участок.
5. Гибридный белок альбумин-связывающей аргининдезиминазы по п. 1, в котором альбумин-связывающим пептидом являются последовательности SEQ ID NO. 46, 47, 48, 49 или их активный участок.
6. Гибридный белок альбумин-связывающей аргининдезиминазы по п. 1, в котором альбумин-связывающим белком являются последовательности SEQ ID NO. 46, 47, 48, 49 или их активный участок.
7. Гибридный белок альбумин-связывающей аргининдезиминазы по п. 1, в котором линкерная молекула содержит последовательность, выбранную из SEQ ID NO. 50, 51, 52, 53, или аминокислотную последовательность серин-глицин-серин (SGS).

8. Гибридный белок альбумин-связывающей аргининдезиминазы по п. 1, дополнительно содержащий по меньшей мере Poly-N или гистидиновую метку.

9. Гибридный белок альбумин-связывающей аргининдезиминазы по п. 1, в котором гибридизация включает использование оставшегося участка опосредованного интейном лигирования белков между первым участком и вторым участком.

10. Гибридный белок альбумин-связывающей аргининдезиминазы по п. 9, в котором опосредованный интейном белок, содержит связывающую хитин область.

11. Гибридный белок альбумин-связывающей аргининдезиминазы по п. 1, в котором аргининдезиминаза выбрана из аргининдезиминазы, полученной из микроорганизмов *Mycoplasma*, *Lactococcus*, *Pseudomonas*, *Streptococcus*, *Escherichia*, *Mycobacterium* или *Bacillus*.

12. Гибридный белок альбумин-связывающей аргининдезиминазы по п. 11, в котором аргининдезиминаза получена из *Mycoplasma arginini*, *Lactococcus lactis*, *Bacillus licheniformis*, *Bacillus cereus*, *Mycoplasma arthritidis*, *Mycoplasma hominis*, *Streptococcus pyogenes*, *Streptococcus pneumonia*, *Streptococcus pneumoniae*, *Mycobacterium tuberculosis*, *Pseudomonas plecoglossicida*, *Pseudomonas putida*, *Pseudomonas aeruginosa* или их сочетания.

13. Гибридный белок альбумин-связывающей аргининдезиминазы по п. 1, который сформирован путем введения в реакцию аргининдезиминазы, имеющей N-концевой цистeinовый остаток, с химически активным сложным тиоэфиром на С-конце альбумин-связывающей области, в результате чего аргининдезиминаза и альбумин-связывающая область связаны ковалентной связью.

14. Гибридный белок альбумин-связывающей аргининдезиминазы по п. 1, который сформирован путем введения в реакцию альбумин-связывающей области, имеющей N-концевой цистeinовый остаток, с химически активным сложным тиоэфиром на С-конце аргининдезиминазы, в результате чего аргининдезиминаза и альбумин-связывающая область связаны ковалентной связью.

15. Гибридный белок альбумин-связывающей аргининдезиминазы по п. 1, который сформирован путем использования последовательностей SEQ ID NOS. 42 и 43 и введения в реакцию аргининдезиминазы, имеющей N-концевой цистeinовый остаток, с химически

активным сложным тиоэфиром на С-конце альбумин-связывающей области, в результате чего аргининдезиминаза и альбумин-связывающая область связаны ковалентной связью.

16. Применение гибридного белка альбумин-связывающей аргининдезиминазы по любому из п.п. 1-15 с целью получения лекарственного средства для лечения рака у пациента, включающее введение пациенту клинически эффективного количества гибридного белка с целью снижения доступности циркулирующего аргинина.

17. Применение по п. 16, в котором раком является рак поджелудочной железы, лейкоз, рак головы и шеи, колоректальный рак, рак легкого, молочной железы, печени, носоглотки, пищевода, предстательной железы, желудка или мозга.

18. Применение гибридного белка альбумин-связывающей аргининдезиминазы по любому из п.п. 1-15 с целью получения лекарственного средства для лечения аргинин-зависимых болезней у пациента, включающее введение пациенту клинически эффективного количества гибридного белка с целью снижения доступности циркулирующего аргинина.

19. Способ получения гибридного белка альбумин-связывающей аргининдезиминазы по п. 1 включающий конструирование гибридного гена, кодирующего гибридный белок альбумин-связывающей аргининдезиминазы, вставку гибридного гена в вектор, вставку вектора в организм-хозяин и синтез белка, содержащего гибридный белок альбумин-связывающей аргининдезиминазы по п. 1.

20. Способ получения гибридного белка альбумин-связывающей аргининдезиминазы по п. 19, дополнительно включающий очистку гибридного белка.

21. Способ получения гибридного белка альбумин-связывающей аргининдезиминазы по п. 20, в котором очистку осуществляют путем хроматографии.

22. Способ получения гибридного белка альбумин-связывающей аргининдезиминазы по п. 20, в котором осуществляют очистку растворимых фракций общих белков.

23. Способ получения гибридного белка альбумин-связывающей аргининдезиминазы по п. 20, в котором осуществляют очистку нерастворимых фракций общих белков.

24. Способ получения гибридного белка альбумин-связывающей аргининдезиминазы по п. 1 путем опосредованного интегрирования белков между альбумин-связывающей областью, альбумин-связывающим пептидом или альбумин-связывающим белком(-ами) и вторым участком, содержащим аргининдезиминазу.

25. Фармацевтическая композиция, содержащая гибридный белок альбумин-связывающей аргининдезиминазы по п. 1 в фармацевтически приемлемом носителе.
26. Фармацевтическая композиция по п. 25, которая имеет pH от 5,5 до 9,5.
27. Фармацевтическая композиция по п. 25, которая имеет pH 7,4.
28. Фармацевтическая композиция по п. 25, которая имеет pH 6,5.

Формула изобретения (публикация WO 2014/138319 от 12.09.2014)

1. Гибридный белок альбумин-связывающей аргининдезиминазы, имеющий первый участок, содержащий один или два компонента, выбранных из альбумин-связывающей области, альбумин-связывающего пептида или альбумин-связывающего белка(-ов), гибридизированный со вторым участком, содержащим аргининдезиминазу, в результате чего образуется гибридный белок альбумин-связывающей аргининдезиминазы, который сохраняет активность аргининдезиминазы и способен связывать сывороточный альбумин.
2. Гибридный белок альбумин-связывающей аргининдезиминазы по п. 1, в котором два компонента являются одинаковыми.
3. Гибридный белок альбумин-связывающей аргининдезиминазы по п. 1, в котором два компонента являются различными.
4. Гибридный белок альбумин-связывающей аргининдезиминазы по п. 1, в котором альбумин-связывающей областью являются последовательности SEQ ID NO. 46, 47, 48, 49 или их активный участок.
5. Гибридный белок альбумин-связывающей аргининдезиминазы по п. 1, в котором альбумин-связывающим пептидом являются последовательности SEQ ID NO. 46, 47, 48, 49 или их активный участок.
6. Гибридный белок альбумин-связывающей аргининдезиминазы по п. 1, в котором альбумин-связывающим белком являются последовательности SEQ ID NO. 46, 47, 48, 49 или их активный участок.
7. Гибридный белок альбумин-связывающей аргининдезиминазы по п. 1, в котором гибридизация включает использование одной или нескольких линкерных молекул.
8. Гибридный белок альбумин-связывающей аргининдезиминазы по п. 7, в котором линкерная молекула содержит последовательность, выбранную из SEQ ID NO. 50, 51, 52, 53, или аминокислотную последовательность серин-глицин-серин (SGS).
9. Гибридный белок альбумин-связывающей аргининдезиминазы по п. 1, дополнительно содержащий по меньшей мере Poly-N или гистидиновую метку.

10. Гибридный белок альбумин-связывающей аргининдезиминазы по п. 1, в котором гибридизация включает использование остающегося участка опосредованного интейном лигирования белков между первым участком и вторым участком.

11. Гибридный белок альбумин-связывающей аргининдезиминазы по п. 10, в котором опосредованный интейном белок содержит связывающую хитин область.

12. Гибридный белок альбумин-связывающей аргининдезиминазы по п. 1, в котором аргининдезиминаза выбрана из аргининдезиминазы, полученной из микроорганизмов *Mycoplasma*, *Lactococcus*, *Pseudomonas*, *Streptococcus*, *Escherichia*, *Mycobacterium* или *Bacillus*.

13. Гибридный белок альбумин-связывающей аргининдезиминазы по п. 12, в котором аргининдезиминаза получена из *Mycoplasma arginini*, *Lactococcus lactis*, *Bacillus licheniformis*, *Bacillus cereus*, *Mycoplasma arthritidis*, *Mycoplasma hominis*, *Streptococcus pyogenes*, *Streptococcus pneumonia*, *Streptococcus pneumoniae*, *Mycobacterium tuberculosis*, *Pseudomonas plecoglossicida*, *Pseudomonas putida*, *Pseudomonas aeruginosa* или их сочетания.

14. Гибридный белок альбумин-связывающей аргининдезиминазы по п. 1, в котором аргининдезиминаза содержит последовательность, выбранную из SEQ ID NO. 36, 37, 38, 39, 40, 41 или 43.

15. Гибридный белок альбумин-связывающей аргининдезиминазы по п. 1, который сформирован путем введения в реакцию аргининдезиминазы, имеющей N-концевой цистeinовый остаток, с химически активным сложным тиоэфиром на С-конце альбумин-связывающей области, в результате чего аргининдезиминаза и альбумин-связывающая область связаны ковалентной связью.

16. Гибридный белок альбумин-связывающей аргининдезиминазы по п. 1, который сформирован путем введения в реакцию альбумин-связывающей области, имеющей N-концевой цистeinовый остаток, с химически активным сложным тиоэфиром на С-конце аргининдезиминазы, в результате чего аргининдезиминаза и альбумин-связывающая область связаны ковалентной связью.

17. Гибридный белок альбумин-связывающей аргининдезиминазы по п. 1, который сформирован путем использования последовательностей SEQ ID NOS. 42 и 43 и введения в реакцию аргининдезиминазы, имеющей N-концевой цистeinовый остаток, с химически

активным сложным тиоэфиром на С-конце альбумин-связывающей области, в результате чего аргининдезиминаза и альбумин-связывающая область связаны ковалентной связью.

18. Применение гибридного белка альбумин-связывающей аргининдезиминазы по любому из п.п. 1-17 с целью получения лекарственного средства для лечения рака у пациента, включающее введение пациенту клинически эффективного количества гибридного белка с целью снижения доступности циркулирующего аргинина.

19. Применение по п. 18, в котором раком является рак поджелудочной железы, лейкоз, рак головы и шеи, колоректальный рак, рак легкого, молочной железы, печени, носоглотки, пищевода, предстательной железы, желудка или мозга.

20. Применение гибридного белка альбумин-связывающей аргининдезиминазы по любому из п.п. 1-17 с целью получения лекарственного средства для лечения аргинин-зависимых болезней у пациента, включающее введение пациенту клинически эффективного количества гибридного белка с целью снижения доступности циркулирующего аргинина.

21. Способ получения гибридного белка альбумин-связывающей аргининдезиминазы по п. 1, включающий конструирование гибридного гена, кодирующего гибридный белок альбумин-связывающей аргининдезиминазы, вставку гибридного гена в вектор, вставку вектора в организм-хозяин и синтез белка, содержащего гибридный белок альбумин-связывающей аргининдезиминазы по п. 1.

22. Способ получения гибридного белка альбумин-связывающей аргининдезиминазы по п. 21, дополнительно включающий очистку гибридного белка.

23. Способ получения гибридного белка альбумин-связывающей аргининдезиминазы по п. 22, в котором очистку осуществляют путем хроматографии.

24. Способ получения гибридного белка альбумин-связывающей аргининдезиминазы по п. 22, в котором осуществляют очистку растворимых фракций общих белков.

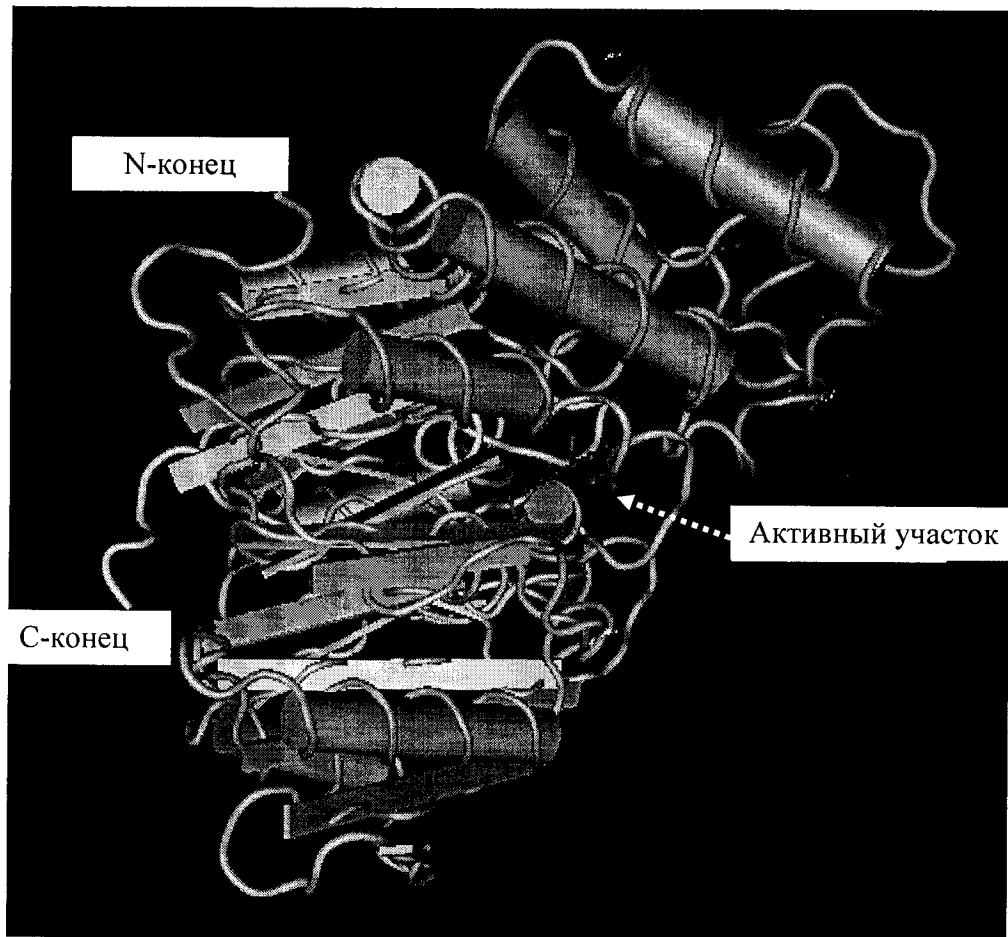
25. Способ получения гибридного белка альбумин-связывающей аргининдезиминазы по п. 22, в котором осуществляют очистку нерастворимых фракций общих белков.

26. Способ получения гибридного белка альбумин-связывающей аргининдезиминазы по п. 1 путем опосредованного интегрирования белков между альбумин-связывающей областью, альбумин-связывающим пептидом или альбумин-связывающим белком(-ами) и вторым участком, содержащим аргининдезиминазу.

27. Фармацевтическая композиция, содержащая гибридный белок альбумин-связывающей аргининдезиминазы по п. 1 в фармацевтически приемлемом носителе.
28. Фармацевтическая композиция по п. 27, которая имеет pH от 5,5 до 9,5.
29. Фармацевтическая композиция по п. 27, которая имеет pH 7,4.
30. Фармацевтическая композиция по п. 27, которая имеет pH 6,5.

(A)

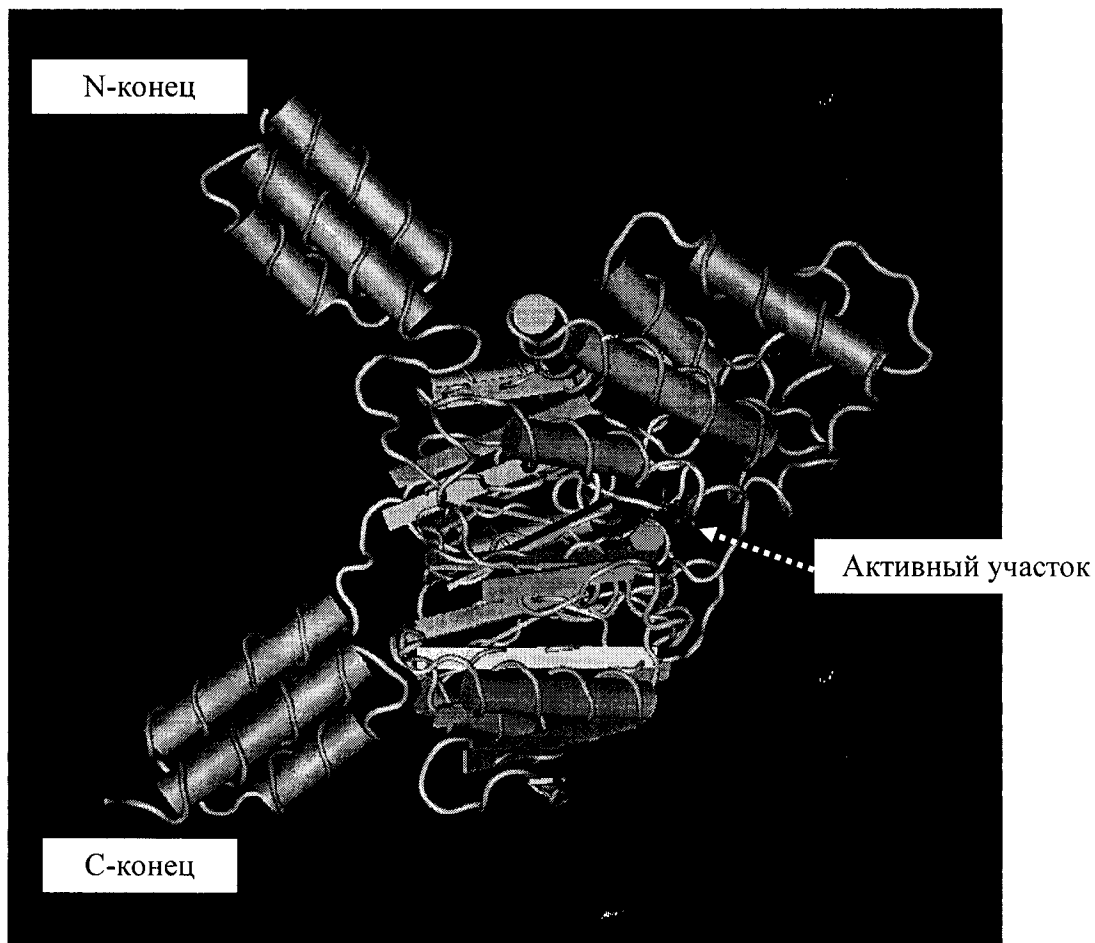
Нативная ADI



Фиг. 1A

(B)

Гибридный белок AAD с двумя ABD/ABD1



SEQ ID NO: 46

ABD без линкера:

LAEAKVLANRELDKYGVSDYYKNLINNAKTVEGVVKALIDEILAALP

SEQ ID NO: 47

ABD с линкером:

AQHDEAVDANS LAEAKVLANRELDKYGVSDYYKNLINNAKTVEGVVKALIDEILAALP

SEQ ID NO: 48

ABD1 без линкера:

LAEAKVLANRELDKYGVSDFYKRLINKAKTVEGVEALKLHILAALP

SEQ ID NO: 49

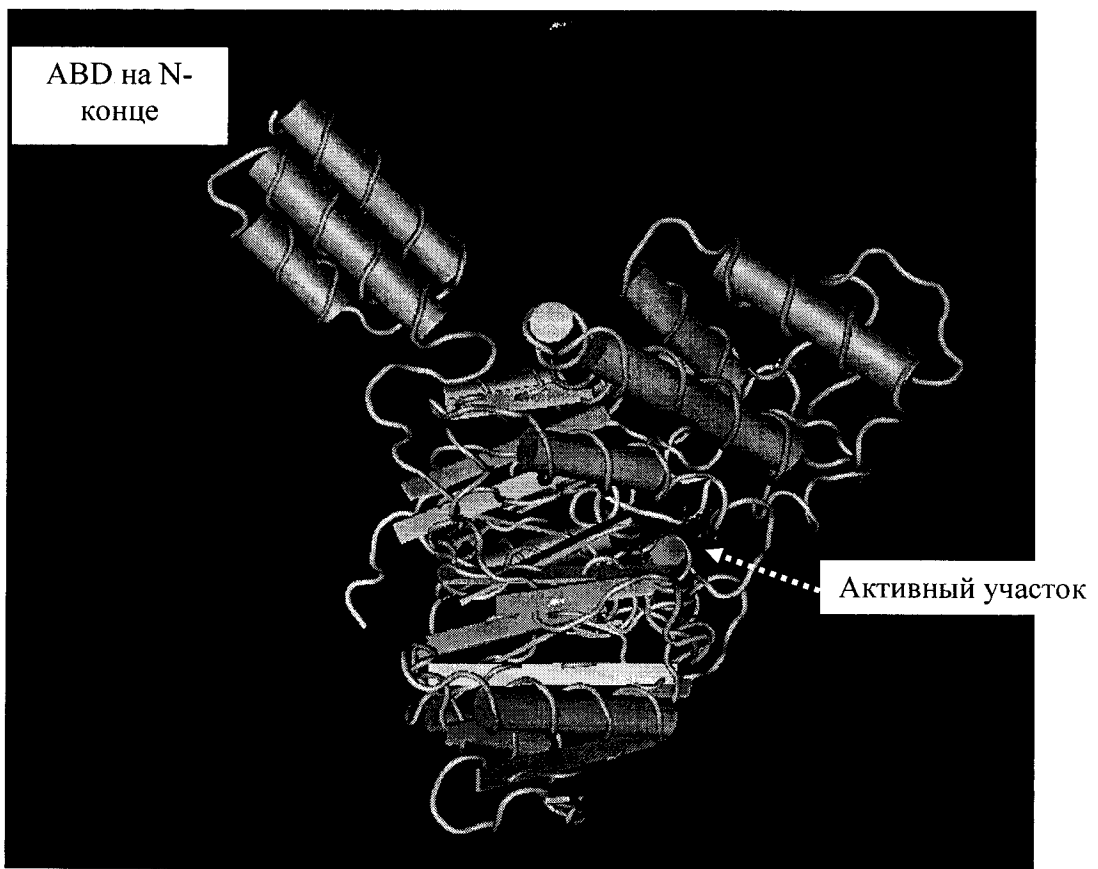
ABD1 с линкером:

GSHHHHHANS LAEAKVLANRELDKYGVSDFYKRLINKAKTVEGVEALKLHILAALP

Фиг. 1Б (продолжение)

(C)

Гибридный белок AAD с одной ABD/ABD1 на N-конце



SEQ ID NO: 46

ABD без линкера:

LAEAKVLANRELDKYGVSDYYKNLINNAKTVEGVKALIDEILAALP

SEQ ID NO: 47

ABD с линкером :

AQHDEAVDANSLAEAKVLANRELDKYGVSDYYKNLINNAKTVEGVKALIDEILAALP

SEQ ID NO: 48

ABD1 без линкера:

LAEAKVLANRELDKYGVSDFYKRLINKAKTVEGVEALKLHILAALP

SEQ ID NO: 49

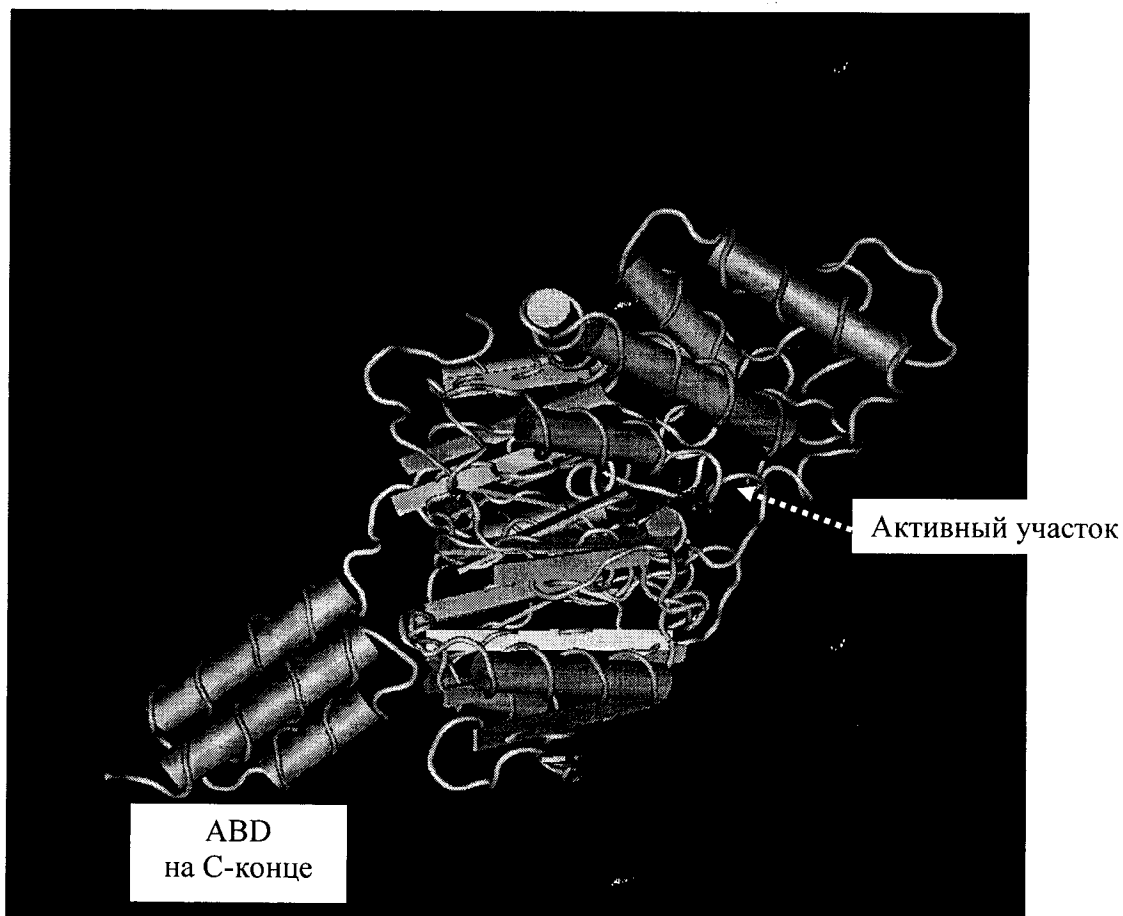
ABD1 с линкером:

GSHHHHHHANSLAEAKVLANRELDKYGVSDFYKRLINKAKTVEGVEALKLHILAALP

Фиг. 1В (продолжение)

(D)

Гибридный белок AAD с одной ABD/ABD1
на С-конце



SEQ ID NO: 46

ABD без линкера:

AEAKVLANRELDKYGVSDYYKNLINNAKTVEGVVKALIDEILAALP

SEQ ID NO: 47

ABD с линкером:

AQHDEAVDANSLAEAKVLANRELDKYGVSDYYKNLINNAKTVEGVVKALIDEILAALP

SEQ ID NO: 48

ABD1 без линкера:

LAEAKVLANRELDKYGVSDFYKRLINKAKTVEGVEALKLHILAALP

SEQ ID NO: 49

ABD1 с линкером:

GSHHHHHHANSLAEAKVLANRELDKYGVSDFYKRLINKAKTVEGVEALKLHILAALP

Фиг. 1Г (продолжение)

<i>Mycoplasma arginini</i>	1	MSVFDSKFKGIHVYSEIGELESVLVHEPGREIDYITPARLDELLFSAILESHARKEHKQ	60
<i>Lactococcus lactis</i>	1	-----MNNGINVNSEIGKLKVLLHRRGAEVENITPDTMKQQLFDDIPYLKIAQKEHDY	54
<i>Bacillus licheniformis</i>	1	-----MKHPIHVTSSEIGELQTULLKRPGEVENLTPDYLQQLLFDDIPYLPIIQKEHDY	54
<i>Bacillus cereus</i>	1	----MIMTTPIHVYSEIGPLKTVMLKRPGRLELENLTPEYLERLLFDDIPFLPAVQKEHDQ	56
		*. * * * * : * : * : * : * : * : * : * : * : * : * : * : * : * :	
61		FVAELKANDINVVELIDLVAETYDLASQEAKDKLIEEFLEDSEPVLSSEEHKVVVRNFLKA	120
55		FAQTLRDNGAETVYIENLATEVFEKSSE-TKEEFLSHLHEAGYRPGRTYDGL-TEYLT-	111
55		FAQTLRNRGVEVLYLEKLAALVDK-K-LREEFVDRILKEGQADVNVAHQTL-KEYLL-	110
57		FAETLKQQGAEVLYLEKLTAAELDDA-L-VREQFIDELLTESKADINGAYDRL-KEFLL-	112
		*. * : . : . : . * : * . : : : : : * : . : . : : * :	
121		KKTSRELVEIMMAGITKYDL-----GIEADHELIVDPMPNLYFTRDPFASVGNG	169
112		SMPTKDMVEKVKYAGVRKNELDIKRTALSMDAGSDAENYFYLNPLPNAYFTRDPQASMVG	171
111		SFSNEELIQKIMGGVRKNEIETSKKTHLYE-LMEDHYPFYLDPMPPNLYFTRDPAAASVGDG	169
113		TFDADSMVEQVMSGIRKNELEREKKSHLHE-LMEDHYPFYLDPMPPNLYFTRDPAAAIGSG	171
		*. : : : : . : * : : * : : : : : : : : : * : * : * : * : * :	
170		VTIHYMRYKVRQRETIFSDFVFSNHPKLIN--TPWYYDPSLKLISIEGGDVFIYNNDTLVV	227
172		MTINKMTFPARQPESLITEYVMANHPRFKD--TPIWRDRNHTRIEGGDELILNKTTVAI	229
170		LTINKMREPARRRESLFMEYIIKYHPRFAKHNVPIWLDRDYKFPPIEGGDELILNEETIAI	229
172		LTINKMKEPARRRESLFMRYIINHHPRFKGHEIPVWLDRDFKFNIEGGDELVLNEETVAI	231
		: * . * : * : * : . : * : * : * : * : * : * : * : * : * : * : * :	
228		GVSERTDLQTVTLAKNIVANKECEFKRIVAINVPKWTNLMHLDTWLMLDKDKFLYSP	287
230		GVSERTSSKTIQNLAKELFANPLSTFDTVLAVEIPHNHAMMHLDTVFTMINHDQFTVFG	289
230		GVSARTSAKAIERLAKNLFSRQ-NKIKKVLIAIEIPKCRAFMHLDTVFTMVYDKFTIHPA	288
232		GVSERTTAQAIERLVRNLFQRQ-SRIRRVLAVEIPKSRAFMHLDTVFTMVDRDQFTIHPA	290
		* * : * : * : * : * : * : * : * : * : * : * : * : * : * : * : * :	
288		ANDVFKFWDYDLVINGGAEPOF--VENGLPLEGLIQLQSIINKKPVLIPPIAGEGASQMEIER	345
290		IMDGAGNNINVFLRPGQDG-EVEIEHLDLKAALKKVNLSEL--IECGAGDPIAAPRE	347
289		IQGPKGNNMNIYILEKGADEETLKITHRTSLMEALKEVLDLSELVL-IPCGGGDVIASARE	347
291		IQGPEGDMRIFVLERGKTADEIHTTEHHNLPEVLIKRTLGLSDVNL-IFCGGGDEIASARE	349
		*. * . * : * : * : * : * : * : * : * : * : * : * : * : * : * :	
346		THFDGTNYLAIRPGVVIGYSRNEKTNAALEAAGIKVLPFHGNQLSLGMGNARCMSPMSL	405
348		QWNDSNTLAIAPGEIVTYDRNYVTVELLKEHGIKVHEILSSELGRGRGGARCMSQPLWR	407
348		QWNDSNTLAIAPGVVVTYDRNYVSNTLREHGIIEVIEVLSSELSRGRRGPRCMSPMSPIVR	407
350		QWNDSNTLAIAPGVVVTYDRNYISNECIREQGIKVIEIPSGELSRRGGPRCMSPMSPLYR	409
		* : * : * : * : * : * : * : * : * : * : * : * : * : * : * : * :	
406		KDVKW 410	
408		EDL-- 410	
408		KDI-- 410	
410		EDVK- 413	
		: * :	

Фиг. 2

(A) SEQ ID NO: 36

ADI-linker-ABD

MSVFDSKFKGIHVYSEIGELESVLVHEPGREIDYITPARLDELLSAILESHDARKEHKQ
FVAELKANDINVVELIDLVAETYDLASQEAKDKLIEEFLEDSEPVLSSEHKVVVRNFLKA
KKTSRELVEIMMAGITKYDLGIEADHELIVDPMPNLYFTRDPFASVGNGVTIHYMRYKVR
QRETLFSRFVFSNHPKLINTPWYDPSLKLSIEGGDVFYNNNTLVGVSERTDLQTVTL
LAKNIVANKECEFKRIVAINVPKWTNLMHLDTWLTMLDKDFLYSPIANDVFKFWDYDLV
NGGAEPQPVENGLPLEGLLQSIINKPVLIPPIAGEGASQMEIERETHFDGTNYLAIRPGV
VIGYSRNEKTNAALEAAGIKVLPFHGNQLSLGMGNARCMSPSRKDVKWGSHHHHHHANS
SLAEAKVLANRELDKYGVSDFYKRLINKAKTVEGVEALKLHILAALP

(*ABD 1: высокооаффинная альбумин-связывающая область; линкер подчеркнут*)

Линкер 1 (SEQ ID NO: 50): GSHHHHHHANS

(B) SEQ ID NO: 37

ADI-linker-ABD

MSVFDSKFKGIHVYSEIGELESVLVHEPGREIDYITPARLDELLSAILESHDARKEHKQ
FVAELKANDINVVELIDLVAETYDLASQEAKDKLIEEFLEDSEPVLSSEHKVVVRNFLKA
KKTSRELVEIMMAGITKYDLGIEADHELIVDPMPNLYFTRDPFASVGNGVTIHYMRYKVR
QRETLFSRFVFSNHPKLINTPWYDPSLKLSIEGGDVFYNNNTLVGVSERTDLQTVTL
LAKNIVANKECEFKRIVAINVPKWTNLMHLDTWLTMLDKDFLYSPIANDVFKFWDYDLV
NGGAEPQPVENGLPLEGLLQSIINKPVLIPPIAGEGASQMEIERETHFDGTNYLAIRPGV
VIGYSRNEKTNAALEAAGIKVLPFHGNQLSLGMGNARCMSPSRKDVKWAQHDEAVDAN
SLAEAKVLANRELDKYGVSDYYKNLINNAKTVEGVVKALIDEILAALP

(*ABD: альбумин-связывающая область; линкер подчеркнут*)

Линкер 2 (SEQ ID NO: 51): AQHDEAVDANS

Фиг. 3

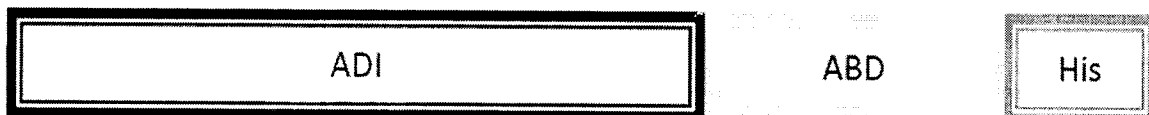
(C) SEQ ID NO: 38



MSVFDSKFKGIHVYSEIGELESVLVHEPGREIDYITPARLDELLFSAILSHDARKEHKQ
FVAELKANDINVVELIDLVAETYDLASQEAKDKLIEEFLEDSEPVLSSEEHKVVRNFLKA
KKTSRELVEIMMAGITKYDLGIEADHELIVDPMPNLYFTRDPFASVGNGVTIHYMRYKVR
QRETLFSRFVFSNHPKLINTPWYDPSLKLSIEGGDVFIYNNDTLVVGVSERTDLQTVTL
LAKNIVANKECEFKRIVAINVPKWTNLMHLDTWLTMLDKDFLYSPIANDVFKFDYDLV
NGGAEPQPVENGLPLEGLLQSIINKPVLIPPIAGEGASQMEIERETHFDGTNYLAIRPGV
VIGYSRNEKTNAALEAAGIKVLPFHGNQLSLGMGNARCMSPSRKDVKWHHHHHHHAQHD
EAVDANSLAEAKVLANRELDKYGVSDYYKNLINNAKTVEGVKALIDEILAALP

(*ABD: альбумин-связывающая область; линкер подчеркнут*)

(D) SEQ ID NO: 39

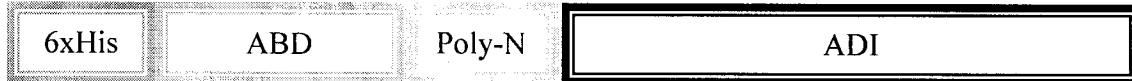


MSVFDSKFKGIHVYSEIGELESVLVHEPGREIDYITPARLDELLFSAILSHDARKEHKQ
FVAELKANDINVVELIDLVAETYDLASQEAKDKLIEEFLEDSEPVLSSEEHKVVRNFLKA
KKTSRELVEIMMAGITKYDLGIEADHELIVDPMPNLYFTRDPFASVGNGVTIHYMRYKVR
QRETLFSRFVFSNHPKLINTPWYDPSLKLSIEGGDVFIYNNDTLVVGVSERTDLQTVTL
LAKNIVANKECEFKRIVAINVPKWTNLMHLDTWLTMLDKDFLYSPIANDVFKFDYDLV
NGGAEPQPVENGLPLEGLLQSIINKPVLIPPIAGEGASQMEIERETHFDGTNYLAIRPGV
VIGYSRNEKTNAALEAAGIKVLPFHGNQLSLGMGNARCMSPSRKDVKWAQHDEAVDAN
SLAEAKVLANRELDKYGVSDYYKNLINNAKTVEGVKALIDEILAALPHHHHH

(*ABD: альбумин-связывающая область; линкер подчеркнут*)

Фиг. 3 (продолжение)

(E) SEQ ID NO: 40



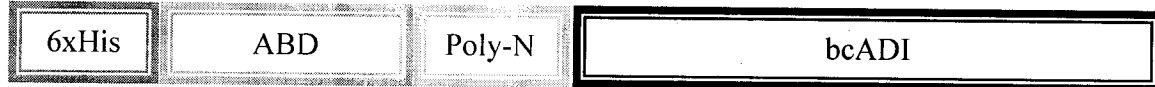
MHHHHHHDEAVDANSLAEAKVLANRELDKYGVSDYYKNLINNAKTVEGVKALIDEILAAL
PSGSNNNNNGSGGSVFD**S**KFGIHVYSEIGELESVLVHEPGREIDYITPARLDELCFSA
I**E**LESHDARKEHKQFVAELKANDINVVELIDLVAETYDLASQEAKDKLIEEFLEDSEPVLS
EEHKVVVRNFLKAKKTSRELVEIMMAGITKYDLGIEADHELIVDPMPNLYFTRDPFASVG
NGVTIHYMRYKVRQRET**L**FSRFVFSNHPKLINTPWYDPSLKLSIAGGDVFIYNNDTLVV
GV**S**ERTDLQTVTLLAKNIVANKESEFKRIVAINVPKWTNLMHLDTWLTMLDKDKFLYSPI
ANDVFKFWDYDLVNGGAEPQPVENGLPLEG**L**QSIINKKPVLIP^IAGEGEGASQMEIERETH
FDGTNYLAIRPGVVIGYSRNEKTNAALEAAGIKVLPFHGNQLSLGMGNARCMSPMSRKD
VKW

(*ABD: альбумин-связывающая область; линкер между His и ABD подчеркнут сплошной линией, а линкер между Poly-N и ADI подчеркнут пунктирной линией*)

Линкер 3 (SEQ ID NO: 52): DEAVDANSЛинкер4: SGS; Линкер 5 (SEQ ID NO: 53): GSGG

Фиг. 3 (продолжение)

(F) SEQ ID NO: 41



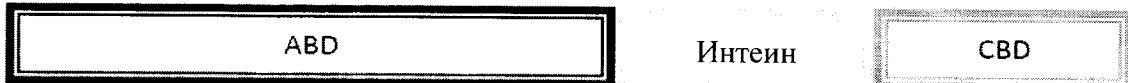
MGEHHHHHDEAVDANS~~LAEAKV~~LANRELDKYGVSDYYKNLINNAKTVEGVKALIDEILAALP
SGSNNNNNNNGSGGKHPIHVTSEIGELQTVLLKRPGEVENLTPDYLQQQLFDDIPYLPPIIQK
EHDYFAQTLRNRGVEVLYLEKLAEEALVDKKLREEFVDRILKEGQADVVAHQTLKEYLLSF
SNEELIQKIMETGGVRKNEIETSKKTHLYELMETEDHYPFYLDPMETPNLYFTRDPAASVGD
GLTINKMETREPARRRESLFMETEYIIKYHPRFEKHNVPIWLDRDYKFPIEGGDELILNEET
IAIGVSARTSAKAIERLAKNLFSRQNKKVLAIEIPKCRAFMETHLDTVFTMETVDYDKFT
IHPAIQGPKGNMETNIYILEKGSDEETLKITHRTSLMETEALKEVLGLSELVLI~~PCGGGDVI~~
ASAREQWNDGSNTLAIAPGVVVTYDRNYVSNTLLREHGIEVIEVLSSELSRGRRGGPRCMETS
METPIVRKDI

(*ABD: альбумин-связывающая область; линкер между His и ABD подчеркнут сплошной линией, а линкер между Poly-N и bcADI подчеркнут пунктирной линией*)

Линкер 3 (SEQ ID NO: 52): DEAVDANS; Линкер 4: SGS; Линкер 5 (SEQ ID NO: 53): GSGG

Фиг. 3 (продолжение)

(A) SEQ ID NO: 42



MAQHDEAVDANS LAEAKVLANRELDKYGVSDYYKNLINNAKTVEGVKALIDEILAALPEF
LEGSSCITGDALVALPEGE SVRIADIVPGARPNSDNAIDLKVLDRHGNPVLADRLFHSGE
HPVYTVRTVEGLRVGTANHPLLCLVDVAGVPTLWKLIDEIKPGDYAVIQRSAFSVDCA
GFARGKPEFAPTTYTVGVPGLVRFLEAHHRDPDAQIAADELTDGRFYAYAKVASVTAGVQ
PVYSLRVDTADHAFITNGFVSHATGLTGLNSGLTNPGVSAWQVN TAYTAGQLVTYNGKT
YKCLQPHTSLAGWEPSNVPALWQLQGDPI TITITK

(B) SEQ ID NO: 43

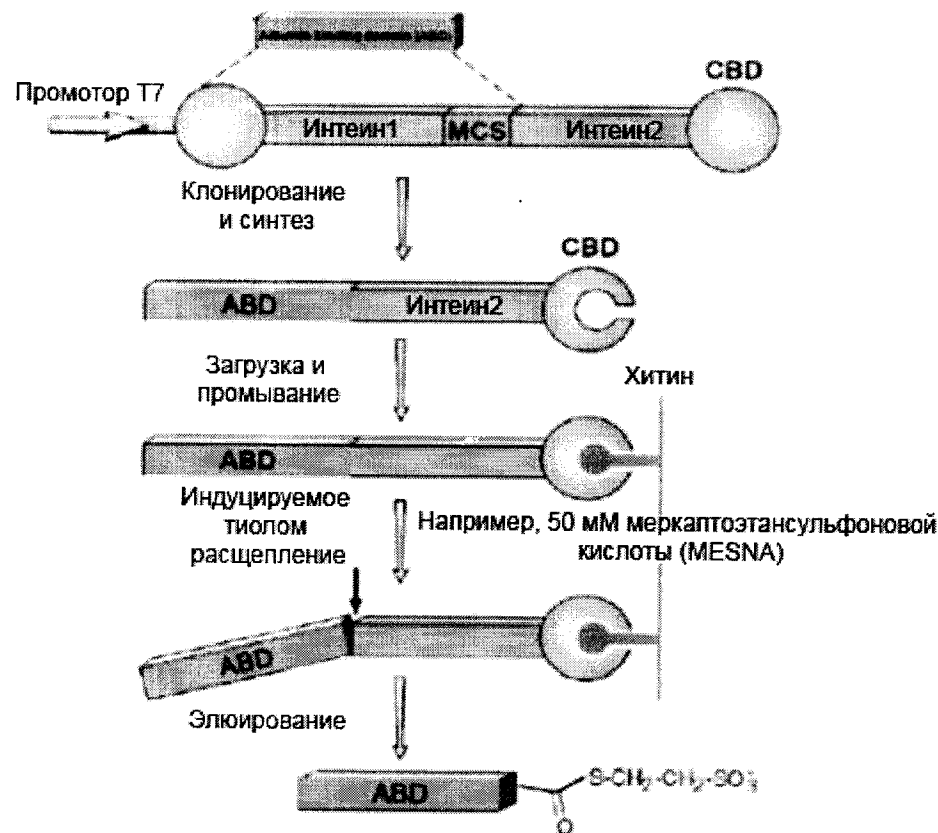


MKIEEGKL TNPGVSAWQVN TAYTAGQLVTYNGKTYKCLQPHTSLAGWEPSNVPALWQLQN
NGNNGLELRESGAISGDSLISLASTGKRVSIKDLDEKDFEIWAINEQTMKLESAKVSRV
FCTGKKLVYILKTRLGRTIKATANHRF LTIDGWKRLDELSIKEHALPRKLESSLQLSP
EIEKLSQSDIYWDSI SITETGVEEVFDLTVPGPHNFVANDIIVHNCSVFDSKFKGIHVY
SEIGELESVLVHEPGREIDYITPARLDELCSAILESHDARKEHKQFVAELKANDINVVE
LIDLVAETYDLASQEAKDKLIEEFLEDSEPVLSEEHKVVVRNFLKAKKTSRELVEIMMAG
ITKYDLGIEADHELIVDPMPLYFTRDPFASVGNGVTIH YMRYKVRQRET LFSRFVFSNH
PKLINTPWYYDPSLKLSIAGGDVFIYNNDTLVVGVSERTDLQTVTLLAKNIVANKESEFK
RIVAINVPKWTNLMHLD TWLMLDKDKFLYSPIANDVFKFWDYDLVNGGAEPQPVENGLP
LEGLLQSIINKKPVLIPPIAGEGASQMEIERETHFDGTNYLAIRPGVVIGYSRNEKTNAAL
EAAGIKVLPFHGNQLSLGMGNARCMSPMSRKDVKW

Фиг. 4

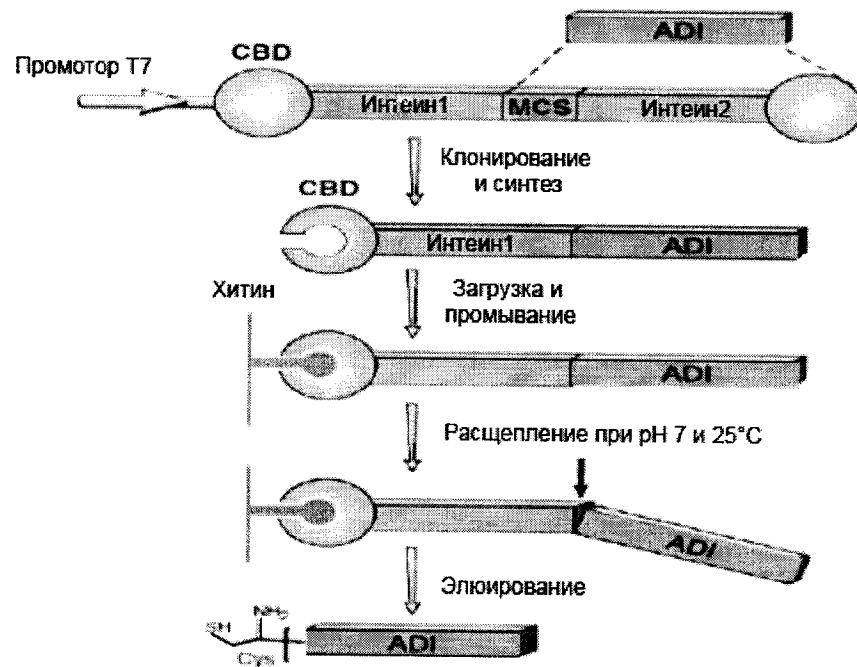
(C)

С-концевая гибридизация



(D)

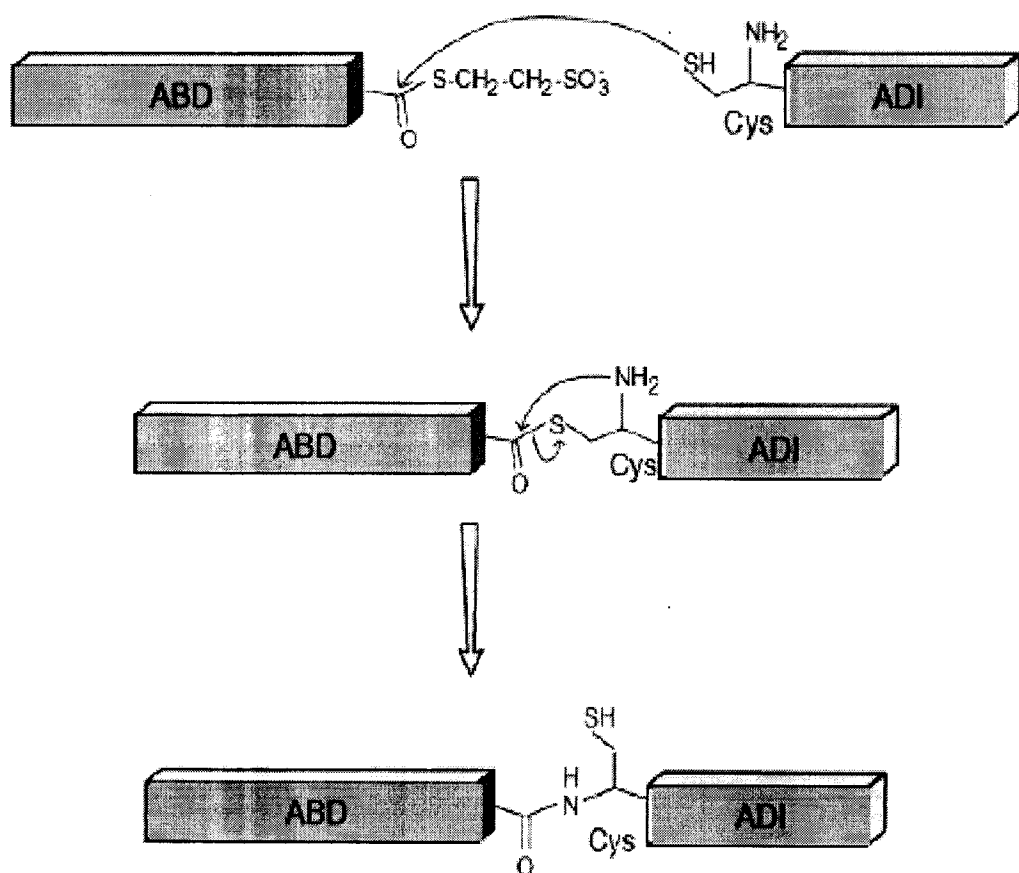
N-концевая гибридизация



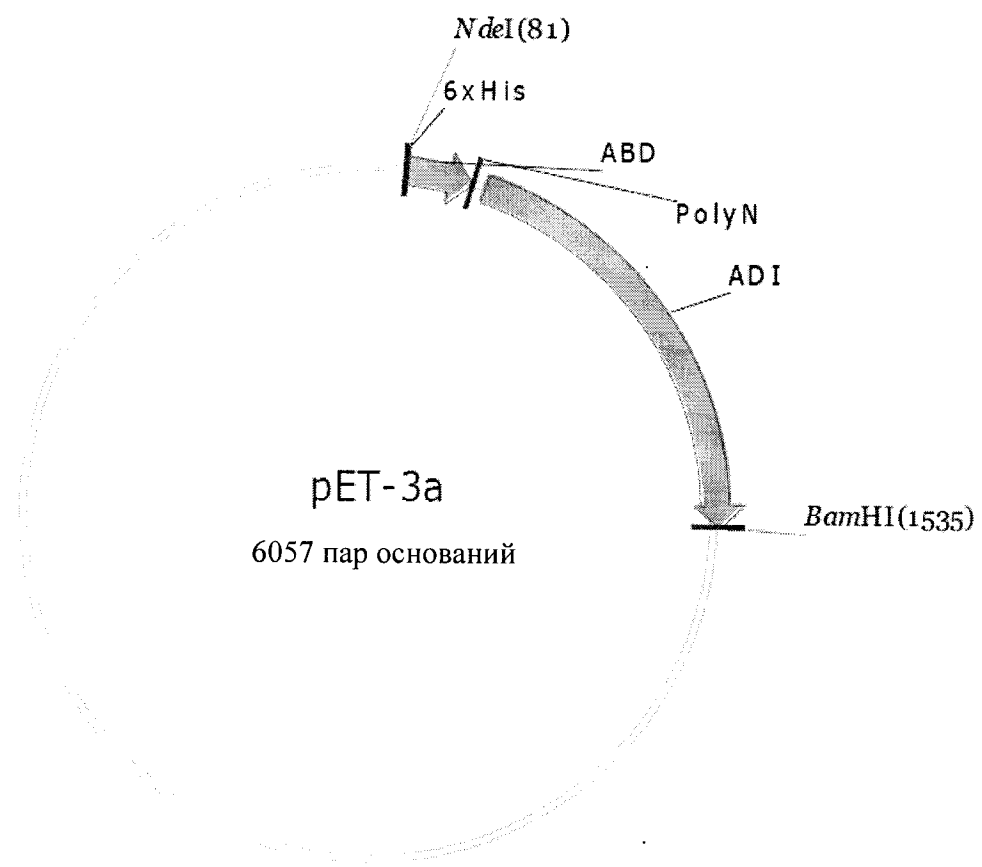
Фиг. 4 (продолжение)

(E)

Опосредованное интейном лигирование белков

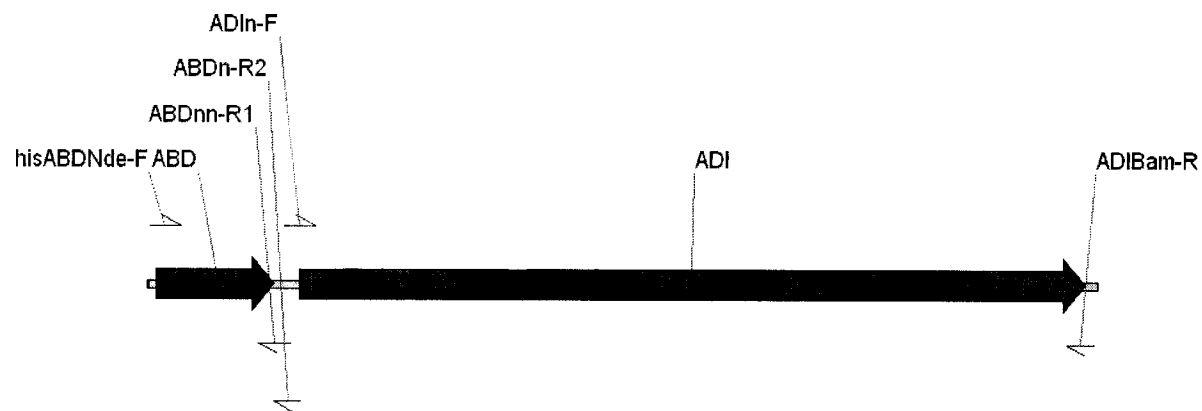


Фиг. 4 (продолжение)



Фиг. 5

(A) Генетическая карта



(B) Нуклеотидная последовательность His-ABD-PolyN-ADI (1484 пары оснований)

(SEQ ID NO: 44)

5' -

ATGCATCATCACCATCACCATGATGAAGCCGTGGATGCGAATTCTTAGCTGAAGCTAAAGTCTAGCTAACAGAGAACTTGACAAATATGGAGTAAGTGACTATTACAAGAACCTAACAACTACGCAAAACTGTTGAAGGTGTAAAAGCACTGATAGATGAAATTCTAGCTGCATTACCTCGGGTAGTACAAACAATAACAATGGTAGCGCGGTTCTGTATTGACAGTAAATTAAAGGAATTACGTTTATTACAGAAATTGGTGAATTAGAATCAGTCTAGTTACGAACCAGGACGCGAAATTGACTATTTACACCAGCTAGACTAGATGAATTATGCTTCTCAGCTATCTTAGAAAGCCACGATGCTAGAAAGAACACAAACAATTCTGAGCAGAAATTAAAGCAAACGACATCAATGTTGTTGAATTAAATTGATTTAGTTGCTGAAACATATGATTAGCATCACAAGAAGCTAAAGACAAATTATCGAAGAATTTTAGAAGACTCAGAACCGAGTTCTATCAGAAGAACACAAAGTAGTTGTAAGAAACTTCTTAAAGCTAAAAAAACATCAAGAGAAATTAGTAGAAATCATGATGGCAGGGATCACAAATACGATTAGGTATCGAACGATCACGAATTATCGTTGACCCAATGCCAACCTATACTTCACACGTGACCCATTGTCATCAGTAGGTAATGGTGAACAATCCACTACATGCGTTACAAAGTTAGACAAACGTGAAACATTATTCTCAAGATTGTATTCTCAAATCACCTAAACTAATTAAACACTCCATGGTACTACGACCCTTCACTAAAATTATCAATCGCAGGTGGGGACGTATTATCTACAACAAATGACACATTAGTAGTTGGTGTTCGAAAGAACTGACCTAACAAACAGTTACTTATTAGCTAAAAACATTGTTGCTAATAAAGAATCTGAATTCAAACGTATTGTTGCAATTACGTTCAAAATGGACAAACTTAATGCACTTAGACACATGGCTAACATGTTAGACAAGGACAAATTCCCTATACTCACCAATCGCTAATGACGTATTAAATTCTGGGATTATGACCTAGTAAACGGTGGAGCAGAACCCAGTAAATTCCATCGCAGGTGAAGGTGCTTCACAAATGGAAATCGAAAGAGAAACACACTTCGATGGTACAAACTACTTAGCAATTAGACCAGGTGTTGTAATTGGTTACTCACGTAACGAAAAACAAACGCTGCTCTAGAA GCTGCAGGCATTAAGTTCTCCATTCCACCGTAACCAATTATCATTAGGTATGGTAACGCTCGTTGTATGTCAATGCCTTATCACGTAAGATGTTAAGTGGTAA-3'

Фиг. 6

(C) Аминокислотная последовательность His-ABD-PolyN-ADI:

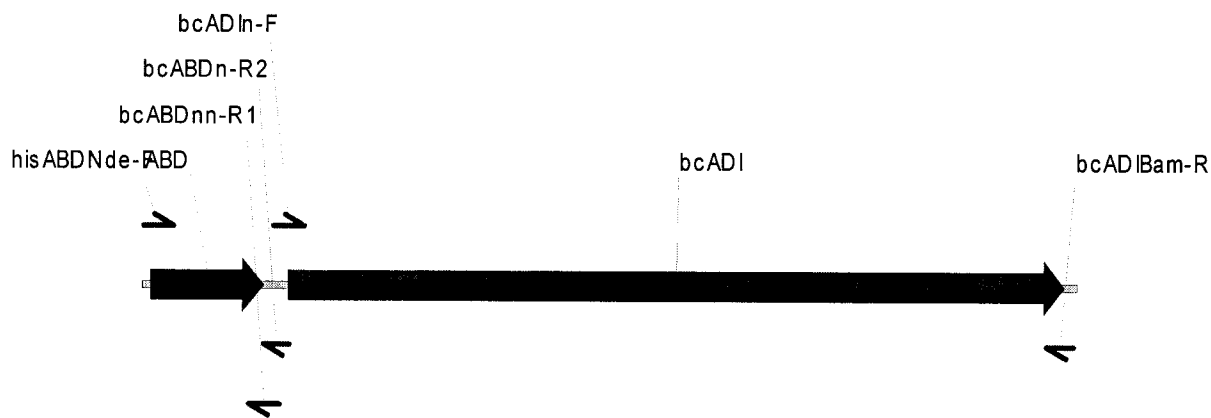
(SEQ ID NO: 40)

MHHHHHHDEAVDANS LAEAKV LANRELDKYGVSDYYKNL LINNAKTVEGVK ALIDEILAA
LPSGSNNNNNGGGVFDSKFKGIHVYSEIGELESVLVHEPGREIDYITPARLDELCF
SAILESHDARKEHKQFVAELKANDINVVELIDLVAETYDLASQEAKDKLIEEFLEDSEPVL
SEEHKVVVRNFLKAKKTSRELVEIMMAGITKYDLGIEADHELIVDPMPNLYFTRDPFASV
GNGVTIH YMRYKVRQ RETLFSRFVFSNHPKLINTPWYYDPSLKLSIAGGDVFIYNNDTL
VVGVSERTDLQTVTLLAKNIVANKESEFKRIVAINVPKWTNLMHLDTWLTMLDKDKFLY
SPIANDVFKFWDYDLVNGGAEPQPVENGLPLEGLLQSIINKPVLIPIA GEGASQMEIER
ETHFDGTNYLAIRPGV VIGYSRNEKTNAALEAAGIKVLPFHGNQLSLGMGNARCMSMP
LSRKDVKW

(PolyN с линкером: SGSNNNNNGGG)

Фиг. 6 (продолжение)

(A) Генетическая карта



(B) Нуклеотидная последовательность His-ABD-PolyN-bcADI (1512 пар оснований):
(SEQ ID NO: 45)

5' -

ATGGGTCACTCATCACCATCACCATGATGAAGCCGTGGATGCGAACAGCTTAGCTGAAGCTAAAG
TCTTAGCTAACAGAGAACTTGACAAATATGGAGTAAGTGACTATTACAAGAACCTAATCAACAA
TGCCAAAACGTGAGGTGAAAGCAGCTGATAGATGAAATTCTAGCTGCATTACCTTCGGGT
AGTAACAACAATAACAATGGTAGCGGCCGTAAACATCCGATACATGTTACTTCAGAAATTG
GGGAATTACAAACGGTTTATTAAAACGACCGGGTAAAGAAGTGGAAAACTTGACGCCAGATTA
TTTGCAGCAATTATTATTGACGATATTCCATACCTACCAATTATTCAAAAAGAGCATGATTAT
TTTGCACAAACGTTACGCAATCGGGGTGTTGAAGTTCTTATTAGAAAAACTAGCCGCTGAGG
CGTTAGTAGATAAAAAACTTCGAGAAGAATTGTTGATCGTATTAAAGAAGGACAGGCCGA
CGTAAATGTTGCACATCAAACTTAAAAGAATATTACTTCTTTCAAATGAAGAATTAAATT
CAAAAATTATGGCGGTGTACGGAAAACGAAATTGAAACAAGTAAGAAGACACATTATATG
AATTAATGGAAGATCATTATCCGTTTACTTAGATCCAATGCCAATTATTTACTCGTGA
TCCAGCAGCTAGCGTGGCGATGGCTTAACGATAAATAAGATGAGAGAACCGCGCGTAGACGT
GAATCATTATTGAGTACATCATTAAATATCATCCAAGATTTGAAAAACATAATGTACCAA
TCTGGTTAGATCGTGTGATTATAATTCCAATTGAAGGTGGCGACGAGCTAATTAAATGAAGA
AACATTGCGATTGGAGTATCTGCTCGTACTTCAGCTAAAGCAATTGAACGTTAGCAAAAAT
CTCTTAGCCGACAAAATAAAATTAGAAAGTGTAGCAATAGAAATTCCAAAATGCCGAGCAT
TTATGCATTTAGATACAGTATTACAATGGTTGATTATGATAAGTTACAATTACCCAGCTAT
TCAAGGGCAAAAGGGATATGAATATTATTTAGAAAAAGGGATCAGATGAGGAAACTCTT
AAAATTACACATCGTACTTCTTAATGGAAGCATAAAAGAGGTATTAGGCTTAAGTGAATTAG
TTCTTATTCCATGTGGAGGAGATGTAATTGCTTCTGCTCGTGAACAATGGAATGATGGCTC
GAACACATTAGCAATCGGCCAGGTGAGTTGTTACATATGATCGCAACTATGTATCCAATACG
TTATTACGGAACACGGTATAGAAGTGATTGAGGTGCTAAGTTCAGAATTATCTCGTGGTCGTG
GGGTCCACGTTGCATGAGTATGCCAATTGTTGTAAGATATTAA-3'

Фиг. 7

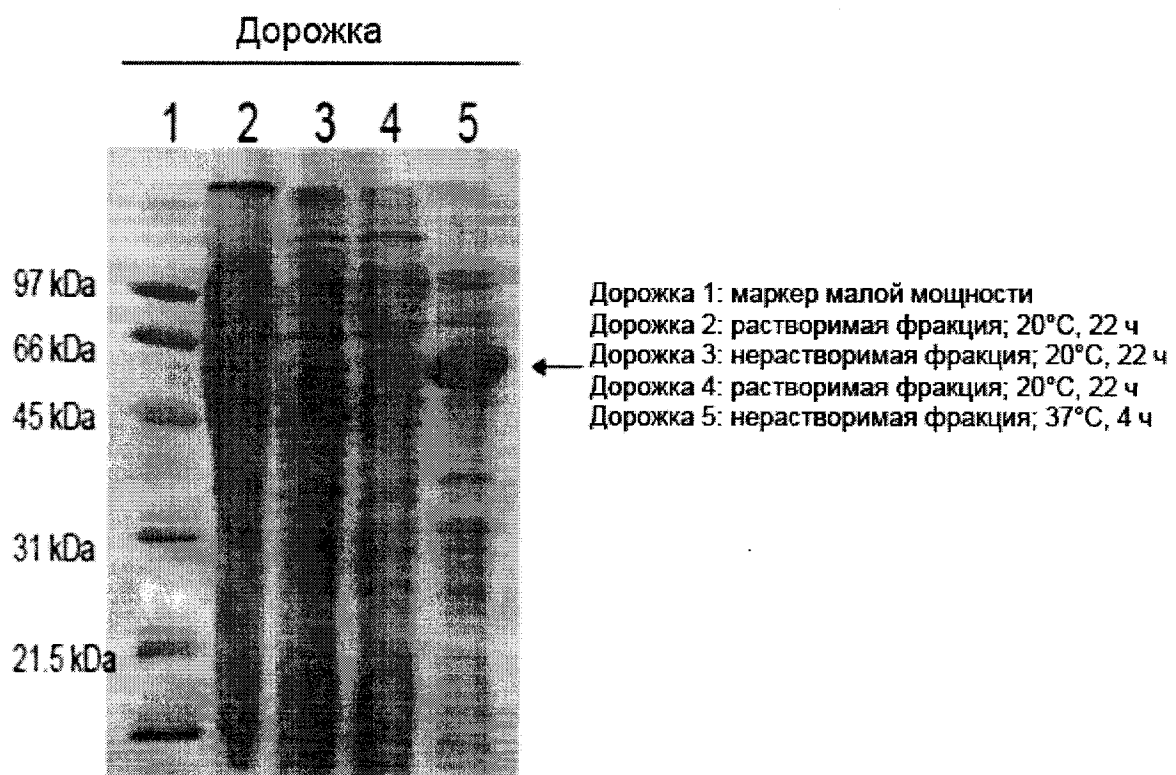
(C) Аминокислотная последовательность His-ABD-PolyN-bcADI:
(SEQ ID NO: 41)

MGHHHHHHDEAVDANS A EAKV LANRELD KYGV SDYY KNLINNA KTVEGV KALIDEILA
ALPSGSNNNNNGSGGKHPI HVTSEIGELQTVLLK RPGKEVENLTPDYLQQLLFDDIPY
LPIIQKEHDYFAQTLRN RGVEVLYLEKLA AEALVDKKLREEF VDRILKEGQADVNVAHQ
TLKEYLLSFSNEELIQKIMETGGVRKNEIETSKKTHLYELMETEDHYPFYLDPMETPNLY
FTRDPAASVG DGLTINKMETREPARRRESLFMETEYIIKYHPRFEKHNVP IWLDRDYKF
PIEGGDELILNEETIAIGVSARTSAKAIERLAKNLFSRQN KIKKV LAIEIPKCRAFMETHLD
TVFTMETVDYDKFTIH PAIQGP KGNMETNIYILEKGSDEETLKITHRTSLMETE ALKEVL
GLSELVLIPCGGGDVIASAREQWNDGSNTLAIAPGVVVTYDRNYVSNTLLREHGIEVIE
VLSSELSRG RGGPRCMETS METPIVRKD I

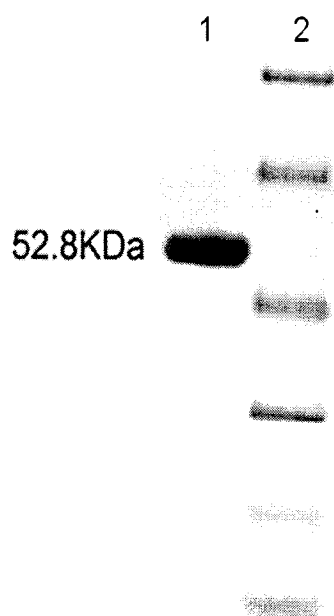
(PolyN с линкером: SGSNNNNNGSGG)

Фиг. 7 (продолжение)

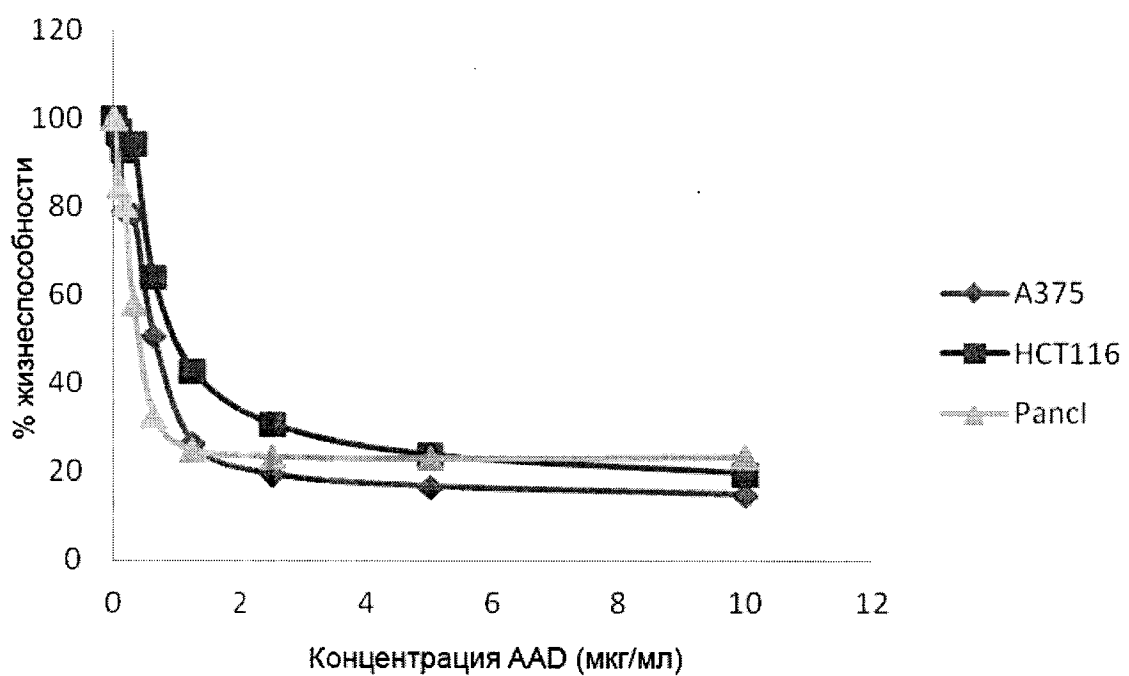
(A)



(B)

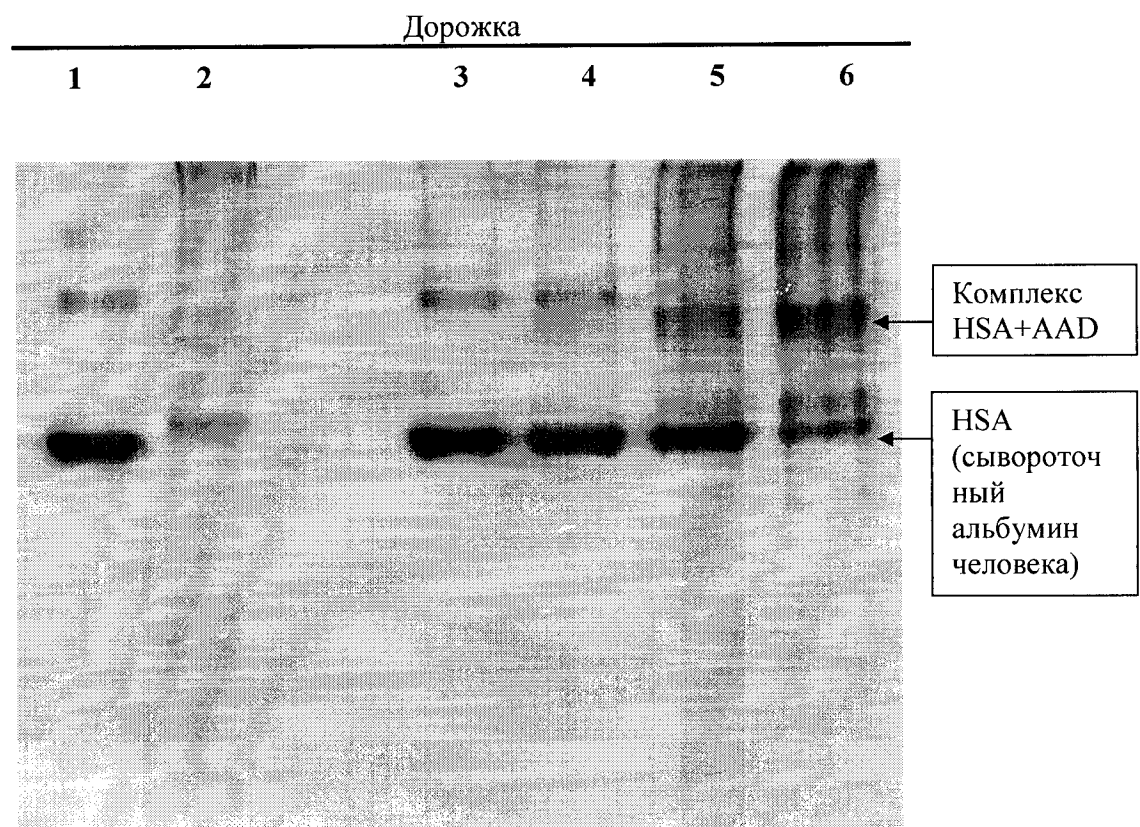


Фиг. 8



Фиг. 9

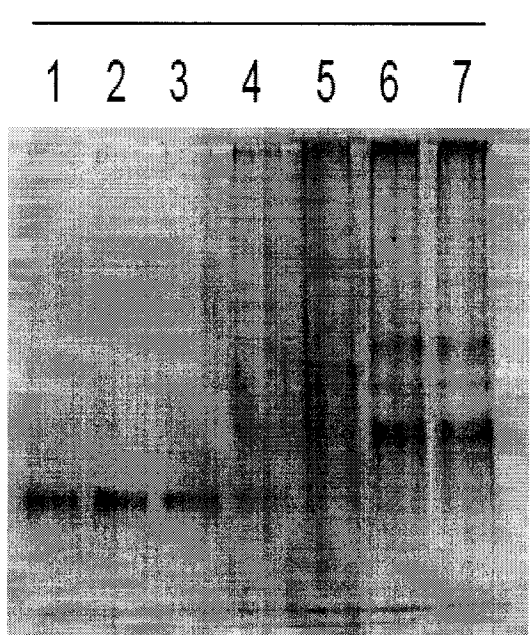
(A)



Фиг. 10

(B)

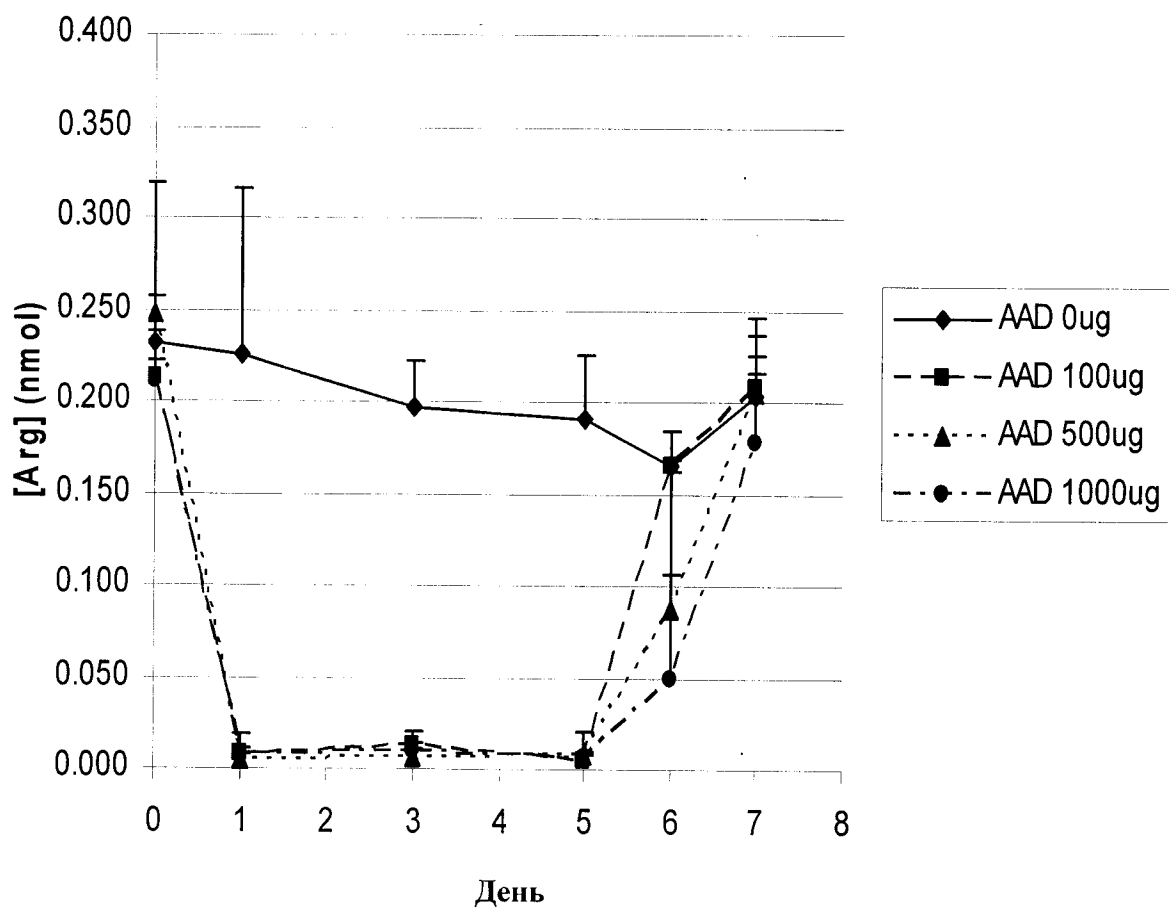
Дорожка



Дорожки	Моли альбумина (пикомоли)	Моли ААД (пикомоли)	Альбумин: ААД
1	7,5	-	-
2	7,5	7,5	1:1
3	7,5	15	1:2
4	7,5	30	1:4
5	7,5	60	1:8
6	7,5	120	1:16
7	-	120	-

Фиг. 10 (продолжение)

Влияние AAD на содержание аргинина в плазме мышей (n=3)



Фиг. 11